

ANÁLISIS DE RESULTADOS EILA 22

UNE-EN 12697-2:2015 y UNE-EN 12697-2:2015+A1:2022. Mezclas bituminosas. Métodos de ensayo. Parte 2: Determinación de la granulometría de las partículas.

GRÁFICOS GRANULOMÉTRICOS LABORATORIO 11

CONTENIDO LIGANTE POR IGNICION

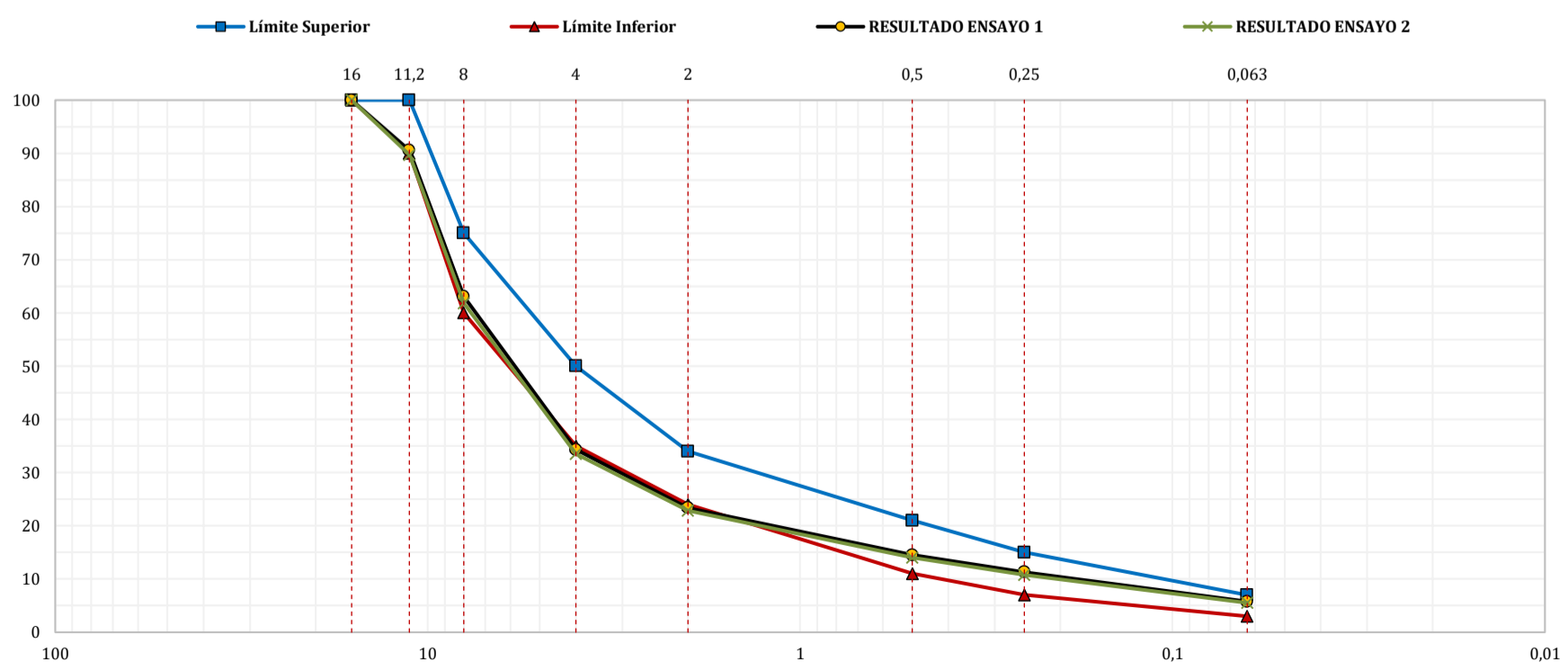
RESULTADOS ENSAYO 1

Abertura Tamiz (mm)	Masa Acumulada (g)	Masa Acumulada (%)	Masa Retenida (g)	Masa Que Pasa (%)	Límite Inferior (%)	Límite Superior (%)
16	0,00	0,0	0,00	100,0	100	100
11,2	100,66	9,4	101,00	90,6	90	100
8	393,67	36,9	293,00	63,1	60	75
4	700,53	65,7	307,00	34,3	35	50
2	817,20	76,6	116,00	23,4	24	34
0,5	911,56	85,5	95,00	14,5	11	21
0,25	945,79	88,7	34,00	11,3	7	15
0,063	1.004,65	94,2	59,00	5,8	3	7

RESULTADOS ENSAYO 2

Abertura Tamiz (mm)	Masa Acumulada (g)	Masa Acumulada (%)	Masa Retenida (g)	Masa Que Pasa (%)	Límite Inferior (%)	Límite Superior (%)
16	0,00	0,0	0,00	100,0	100	100
11,2	114,80	10,3	115,00	89,7	90	100
8	425,41	38,2	310,00	61,8	60	75
4	741,04	66,5	316,00	33,5	35	50
2	859,52	77,1	119,00	22,9	24	34
0,5	957,82	85,9	98,00	14,1	11	21
0,25	994,49	89,2	36,00	10,8	7	15
0,063	1.053,00	94,5	59,00	5,5	3	7

GRÁFICOS ENSAYOS 1 Y 2



Representación gráfica "Abertura del Tamiz (eje X ; representación semilogarítmica ; %) vs Masa Que Pasa (eje Y ; representación lineal ; %)".

ANÁLISIS DE RESULTADOS EILA 22

UNE-EN 12697-2:2015 y UNE-EN 12697-2:2015+A1:2022. Mezclas bituminosas. Métodos de ensayo. Parte 2: Determinación de la granulometría de las partículas.

GRÁFICOS GRANULOMÉTRICOS LABORATORIO 12

CONTENIDO LIGANTE POR IGNICION

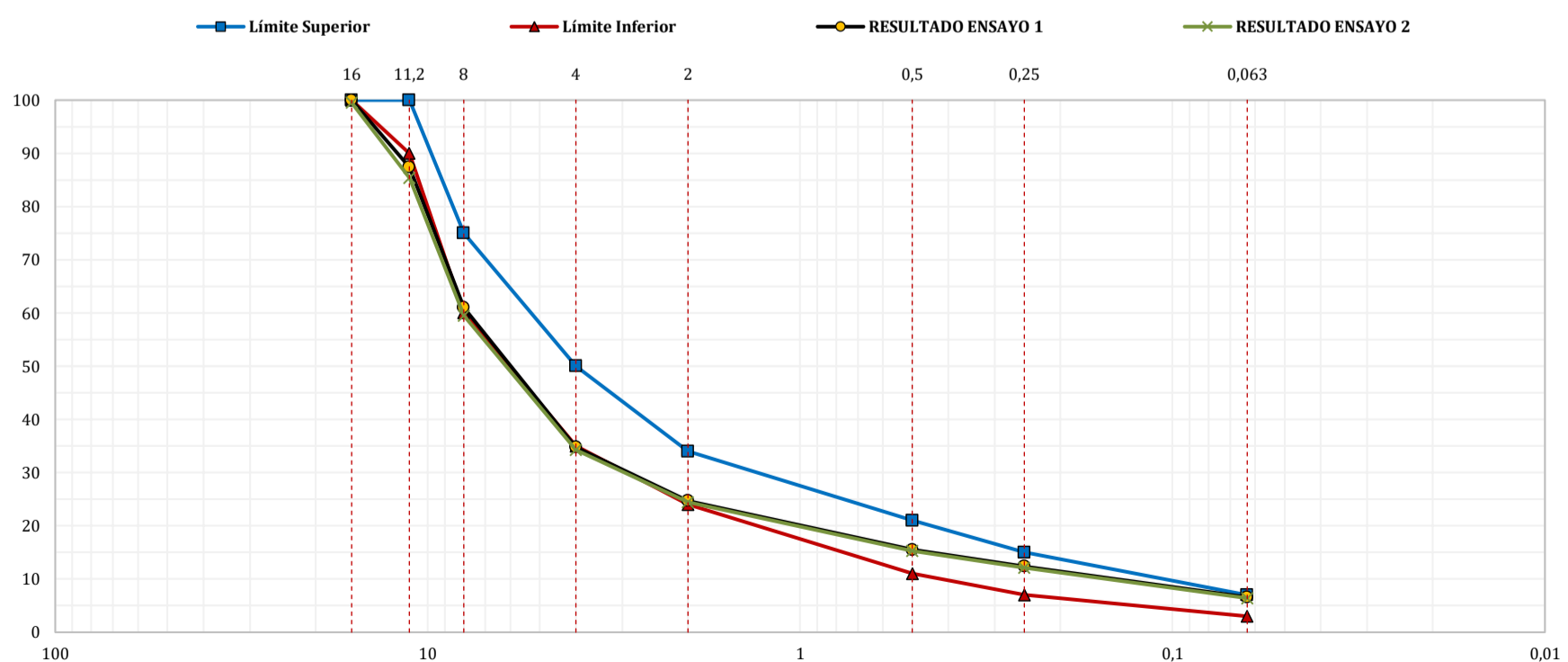
RESULTADOS ENSAYO 1

Abertura Tamiz (mm)	Masa Acumulada (g)	Masa Acumulada (%)	Masa Retenida (g)	Masa Que Pasa (%)	Límite Inferior (%)	Límite Superior (%)
16				100,0	100	100
11,2				87,4	90	100
8				61,0	60	75
4				34,8	35	50
2				24,7	24	34
0,5				15,5	11	21
0,25				12,4	7	15
0,063				6,6	3	7

RESULTADOS ENSAYO 2

Abertura Tamiz (mm)	Masa Acumulada (g)	Masa Acumulada (%)	Masa Retenida (g)	Masa Que Pasa (%)	Límite Inferior (%)	Límite Superior (%)
16				99,5	100	100
11,2				85,4	90	100
8				59,5	60	75
4				34,3	35	50
2				24,4	24	34
0,5				15,3	11	21
0,25				12,1	7	15
0,063				6,4	3	7

GRÁFICOS ENSAYOS 1 Y 2



Representación gráfica "Abertura del Tamiz (eje X ; representación semilogarítmica ; %) vs Masa Que Pasa (eje Y ; representación lineal ; %)".

ANÁLISIS DE RESULTADOS EILA 22

UNE-EN 12697-2:2015 y UNE-EN 12697-2:2015+A1:2022. Mezclas bituminosas. Métodos de ensayo. Parte 2: Determinación de la granulometría de las partículas.

GRÁFICOS GRANULOMÉTRICOS LABORATORIO 15

CONTENIDO LIGANTE POR IGNICION

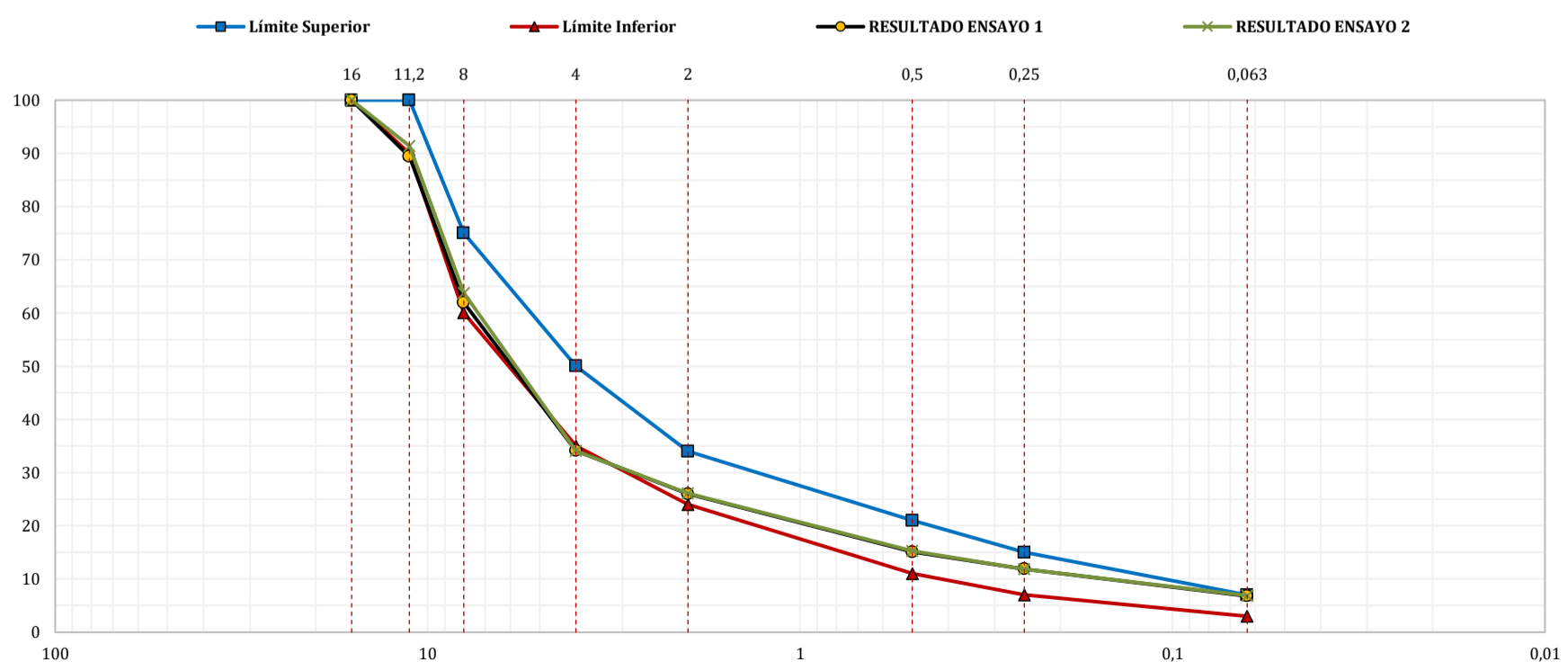
RESULTADOS ENSAYO 1

Abertura Tamiz (mm)	Masa Acumulada (g)	Masa Acumulada (%)	Masa Retenida (g)	Masa Que Pasa (%)	Límite Inferior (%)	Límite Superior (%)
16	0,00	0,0	0,00	100,0	100	100
11,2	146,97	10,6	146,97	89,4	90	100
8	528,16	38,1	381,19	61,9	60	75
4	913,40	65,9	385,24	34,1	35	50
2	1.026,60	74,0	113,20	26,0	24	34
0,5	1.176,90	84,9	150,30	15,1	11	21
0,25	122,30	88,1	45,40	11,9	7	15
0,063	1.292,20	93,2	69,90	6,8	3	7

RESULTADOS ENSAYO 2

Abertura Tamiz (mm)	Masa Acumulada (g)	Masa Acumulada (%)	Masa Retenida (g)	Masa Que Pasa (%)	Límite Inferior (%)	Límite Superior (%)
16	0,00	0,0	0,00	100,0	100	100
11,2	118,34	8,6	118,34	91,4	90	100
8	500,21	36,3	381,87	63,7	60	75
4	908,20	65,9	407,99	34,1	35	50
2	1.019,10	73,9	110,90	26,1	24	34
0,5	1.168,50	84,7	149,40	15,3	11	21
0,25	1.214,50	88,1	46,00	11,9	7	15
0,063	1.284,20	93,1	69,70	6,9	3	7

GRÁFICOS ENSAYOS 1 Y 2



Representación gráfica "Abertura del Tamiz (eje X ; representación semilogarítmica ; %) vs Masa Que Pasa (eje Y ; representación lineal ; %)".

ANÁLISIS DE RESULTADOS EILA 22

UNE-EN 12697-2:2015 y UNE-EN 12697-2:2015+A1:2022. Mezclas bituminosas. Métodos de ensayo. Parte 2: Determinación de la granulometría de las partículas.

GRÁFICOS GRANULOMÉTRICOS LABORATORIO 16

CONTENIDO LIGANTE POR IGNICION

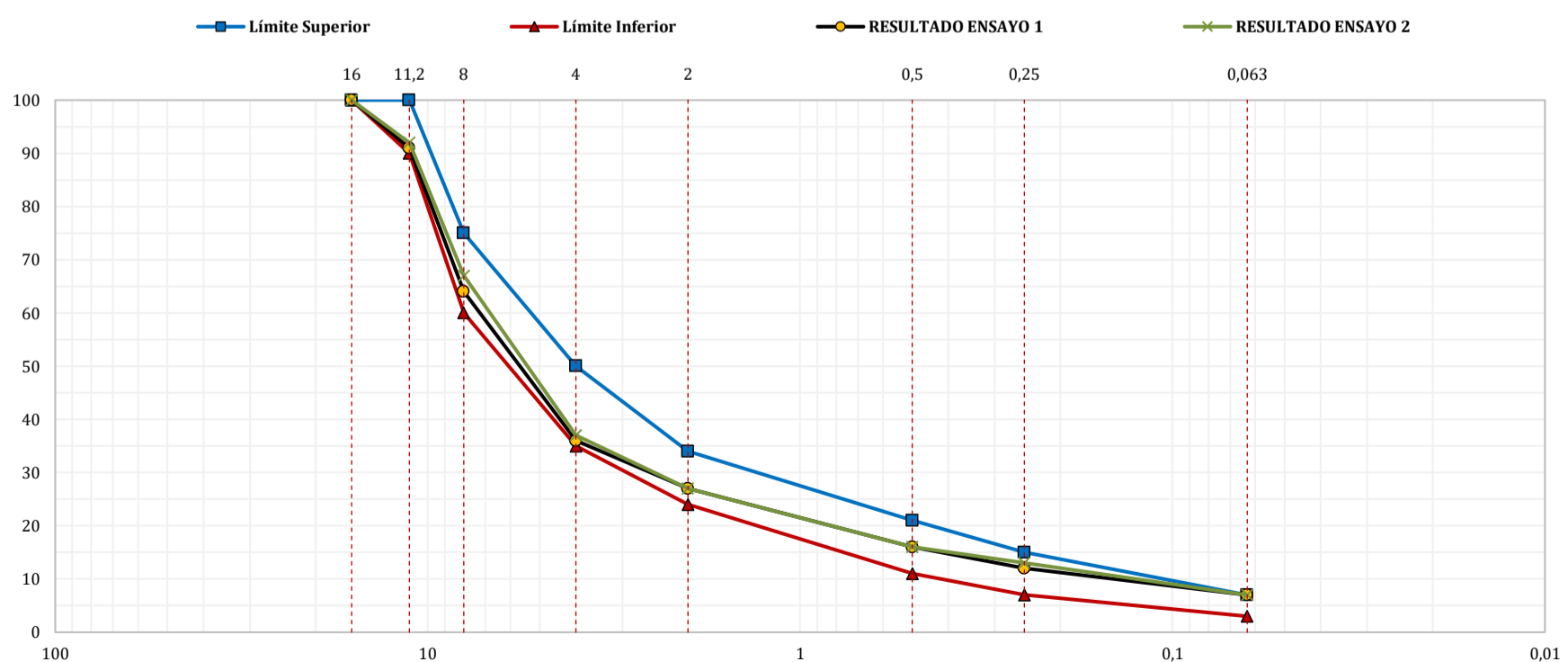
RESULTADOS ENSAYO 1

Abertura Tamiz (mm)	Masa Acumulada (g)	Masa Acumulada (%)	Masa Retenida (g)	Masa Que Pasa (%)	Límite Inferior (%)	Límite Superior (%)
16	0,00	0,0	0,00	100,0	100	100
11,2	105,80	9,3	105,80	91,0	90	100
8	410,00	36,0	304,20	64,0	60	75
4	728,70	64,1	318,70	36,0	35	50
2	863,30	73,5	107,60	27,0	24	34
0,5	961,30	84,5	125,00	16,0	11	21
0,25	996,00	87,5	34,70	12,0	7	15
0,063	1.058,80	93,0	62,80	7,0	3	7

RESULTADOS ENSAYO 2

Abertura Tamiz (mm)	Masa Acumulada (g)	Masa Acumulada (%)	Masa Retenida (g)	Masa Que Pasa (%)	Límite Inferior (%)	Límite Superior (%)
16	0,00	0,0	0,00	100,0	100	100
11,2	96,30	8,4	96,30	92,0	90	100
8	376,20	32,9	279,90	67,0	60	75
4	719,40	63,0	343,20	37,0	35	50
2	830,20	72,7	110,80	27,0	24	34
0,5	960,10	84,1	129,90	16,0	11	21
0,25	995,60	87,2	35,50	13,0	7	15
0,063	1.059,20	92,8	63,60	7,0	3	7

GRÁFICOS ENSAYOS 1 Y 2



Representación gráfica "Abertura del Tamiz (eje X ; representación semilogarítmica ; %) vs Masa Que Pasa (eje Y ; representación lineal ; %)".

ANÁLISIS DE RESULTADOS EILA 22

UNE-EN 12697-2:2015 y UNE-EN 12697-2:2015+A1:2022. Mezclas bituminosas. Métodos de ensayo. Parte 2: Determinación de la granulometría de las partículas.

GRÁFICOS GRANULOMÉTRICOS LABORATORIO 18

CONTENIDO LIGANTE POR IGNICION

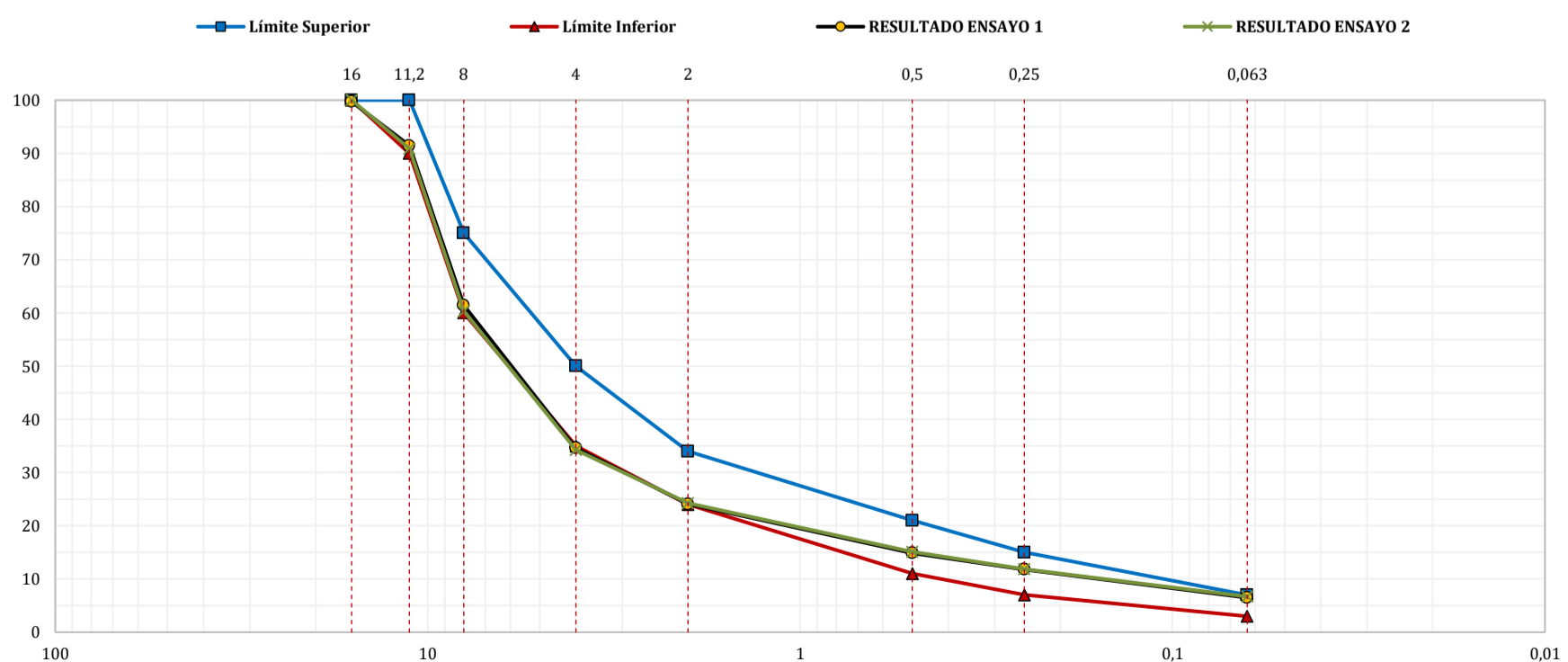
RESULTADOS ENSAYO 1

Abertura Tamiz (mm)	Masa Acumulada (g)	Masa Acumulada (%)	Masa Retenida (g)	Masa Que Pasa (%)	Límite Inferior (%)	Límite Superior (%)
16	5,10	0,3	5,10	99,7	100	100
11,2	139,80	8,5	134,70	91,5	90	100
8	633,20	38,6	493,00	61,4	60	75
4	1.072,20	65,4	439,00	34,6	35	50
2	1.244,70	75,9	172,50	24,1	24	34
0,5	1.394,60	85,1	149,90	14,9	11	21
0,25	1.445,70	88,2	51,10	11,8	7	15
0,063	1.532,70	93,5	87,00	6,5	3	7

RESULTADOS ENSAYO 2

Abertura Tamiz (mm)	Masa Acumulada (g)	Masa Acumulada (%)	Masa Retenida (g)	Masa Que Pasa (%)	Límite Inferior (%)	Límite Superior (%)
16	0,00	0,0	0,00	100,0	100	100
11,2	128,30	9,1	128,30	90,9	90	100
8	559,00	39,7	431,00	60,3	60	75
4	924,80	65,7	365,80	34,3	35	50
2	1.064,90	75,7	140,10	24,3	24	34
0,5	1.195,40	85,0	130,50	15,1	11	21
0,25	1.239,30	88,1	43,90	11,9	7	15
0,063	1.313,10	93,3	73,80	6,7	3	7

GRÁFICOS ENSAYOS 1 Y 2



Representación gráfica "Abertura del Tamiz (eje X ; representación semilogarítmica ; %) vs Masa Que Pasa (eje Y ; representación lineal ; %)".

ANÁLISIS DE RESULTADOS EILA 22

UNE-EN 12697-2:2015 y UNE-EN 12697-2:2015+A1:2022. Mezclas bituminosas. Métodos de ensayo. Parte 2: Determinación de la granulometría de las partículas.

GRÁFICOS GRANULOMÉTRICOS LABORATORIO 19

CONTENIDO LIGANTE POR IGNICION

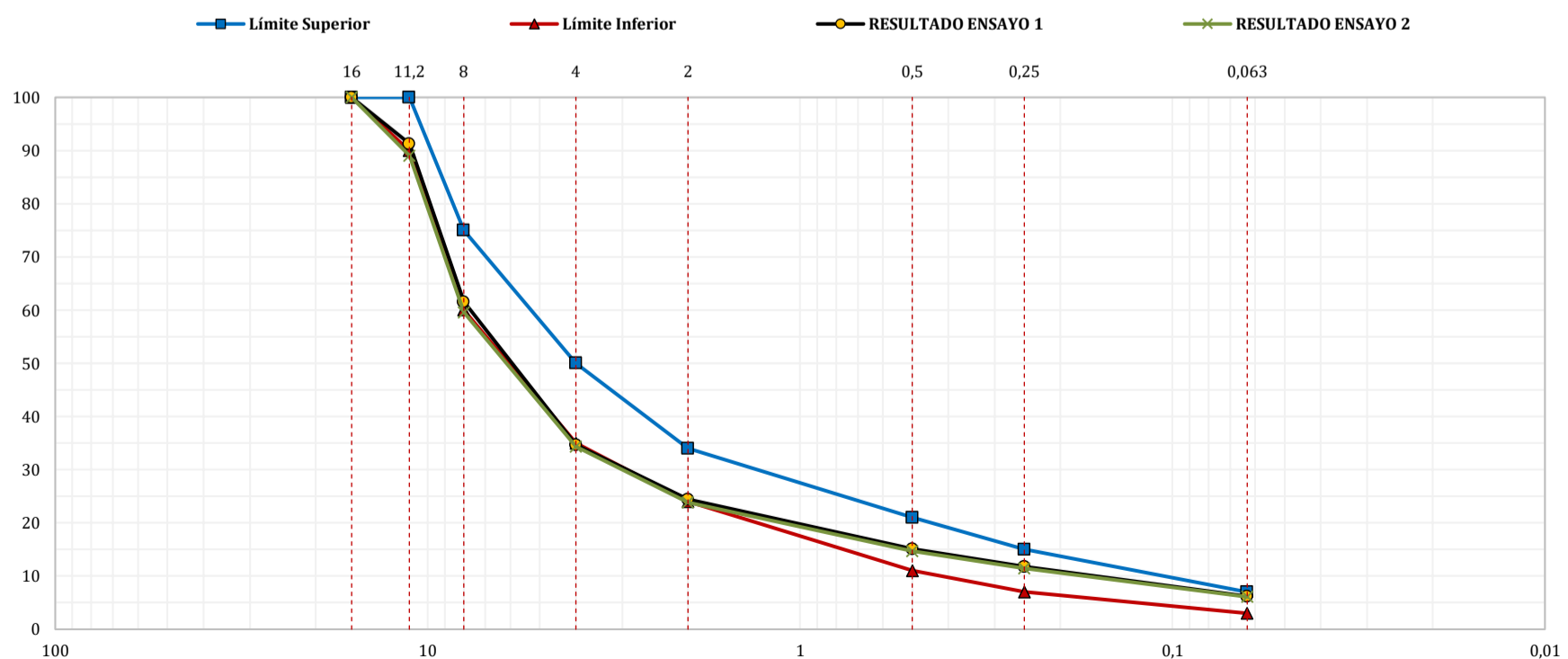
RESULTADOS ENSAYO 1

Abertura Tamiz (mm)	Masa Acumulada (g)	Masa Acumulada (%)	Masa Retenida (g)	Masa Que Pasa (%)	Límite Inferior (%)	Límite Superior (%)
16	0,00	0,0	0,00	100,0	100	100
11,2	130,30	8,7	130,00	91,3	90	100
8	574,10	38,4	443,80	61,6	60	75
4	975,70	65,3	401,60	34,7	35	50
2	1.128,80	75,6	153,10	24,4	24	34
0,5	1.268,10	84,9	139,30	15,1	11	21
0,25	1.317,80	88,3	49,70	11,7	7	15
0,063	1.400,10	93,8	82,30	6,2	3	7

RESULTADOS ENSAYO 2

Abertura Tamiz (mm)	Masa Acumulada (g)	Masa Acumulada (%)	Masa Retenida (g)	Masa Que Pasa (%)	Límite Inferior (%)	Límite Superior (%)
16	0,00	0,0	0,00	100,0	100	100
11,2	162,60	11,0	162,60	89,0	90	100
8	597,60	40,4	435,00	59,6	60	75
4	971,80	65,7	374,20	34,3	35	50
2	1.126,00	76,1	154,20	23,9	24	34
0,5	1.261,40	85,3	135,40	14,7	11	21
0,25	1.310,00	88,5	48,60	11,5	7	15
0,063	1.389,30	93,9	79,30	6,1	3	7

GRÁFICOS ENSAYOS 1 Y 2



Representación gráfica "Abertura del Tamiz (eje X ; representación semilogarítmica ; %) vs Masa Que Pasa (eje Y ; representación lineal ; %)".

ANÁLISIS DE RESULTADOS EILA 22

UNE-EN 12697-2:2015 y UNE-EN 12697-2:2015+A1:2022. Mezclas bituminosas. Métodos de ensayo. Parte 2: Determinación de la granulometría de las partículas.

GRÁFICOS GRANULOMÉTRICOS LABORATORIO 20

CONTENIDO LIGANTE POR IGNICION

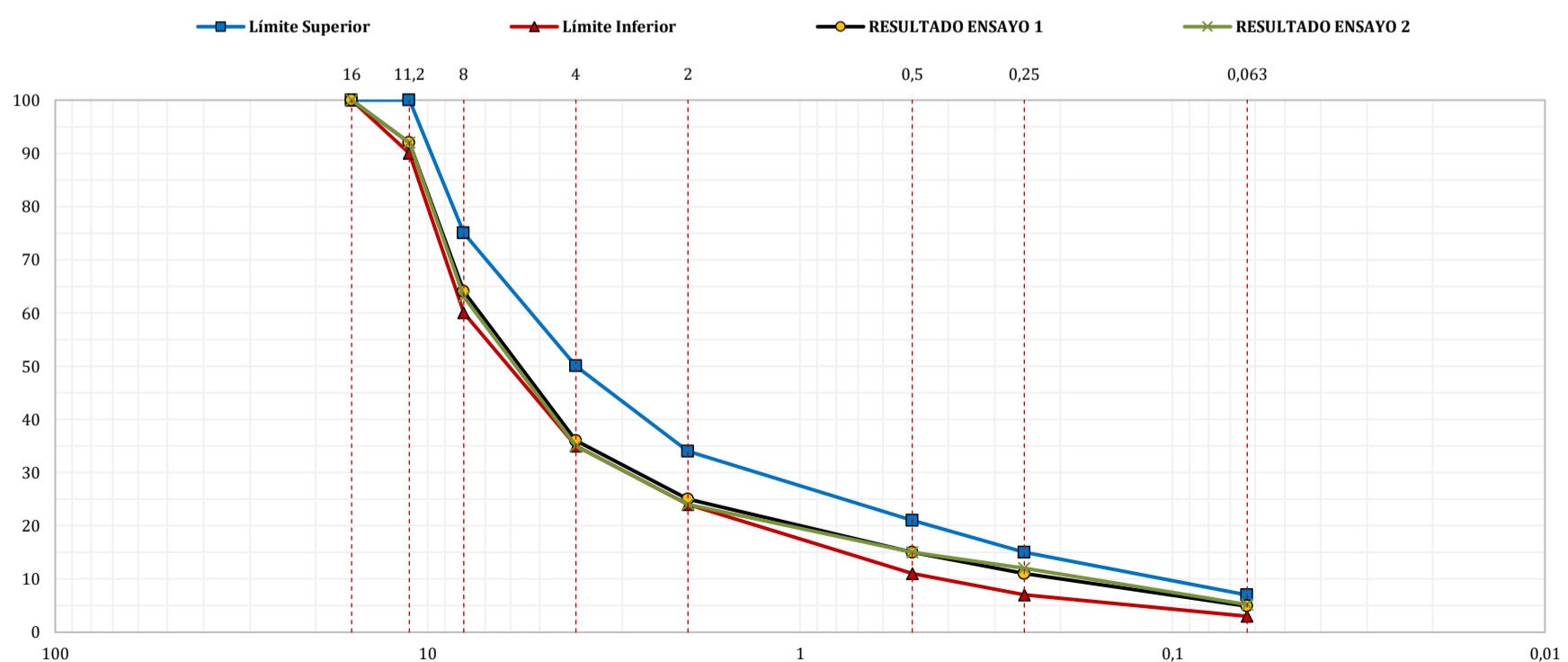
RESULTADOS ENSAYO 1

Abertura Tamiz (mm)	Masa Acumulada (g)	Masa Acumulada (%)	Masa Retenida (g)	Masa Que Pasa (%)	Límite Inferior (%)	Límite Superior (%)
16	0,00	0,0	0,00	100,0	100	100
11,2	90,80	8,0	90,80	92,0	90	100
8	410,20	36,0	319,40	64,0	60	75
4	733,30	64,0	323,10	36,0	35	50
2	858,30	75,0	125,00	25,0	24	34
0,5	967,50	85,0	109,20	15,0	11	21
0,25	1.008,50	89,0	41,00	11,0	7	15
0,063	1.084,00	95,1	75,50	4,9	3	7

RESULTADOS ENSAYO 2

Abertura Tamiz (mm)	Masa Acumulada (g)	Masa Acumulada (%)	Masa Retenida (g)	Masa Que Pasa (%)	Límite Inferior (%)	Límite Superior (%)
16	0,00	0,0	0,00	100,0	100	100
11,2	95,40	8,0	95,40	92,0	90	100
8	428,30	37,0	332,90	63,0	60	75
4	746,60	65,0	318,30	35,0	35	50
2	866,70	76,0	120,10	24,0	24	34
0,5	973,40	85,0	106,70	15,0	11	21
0,25	1.010,30	88,0	36,90	12,0	7	15
0,063	1.083,60	94,8	73,30	5,2	3	7

GRÁFICOS ENSAYOS 1 Y 2



Representación gráfica "Abertura del Tamiz (eje X ; representación semilogarítmica ; %) vs Masa Que Pasa (eje Y ; representación lineal ; %)".

ANÁLISIS DE RESULTADOS EILA 22

UNE-EN 12697-2:2015 y UNE-EN 12697-2:2015+A1:2022. Mezclas bituminosas. Métodos de ensayo. Parte 2: Determinación de la granulometría de las partículas.

GRÁFICOS GRANULOMÉTRICOS LABORATORIO 28

CONTENIDO LIGANTE POR IGNICION

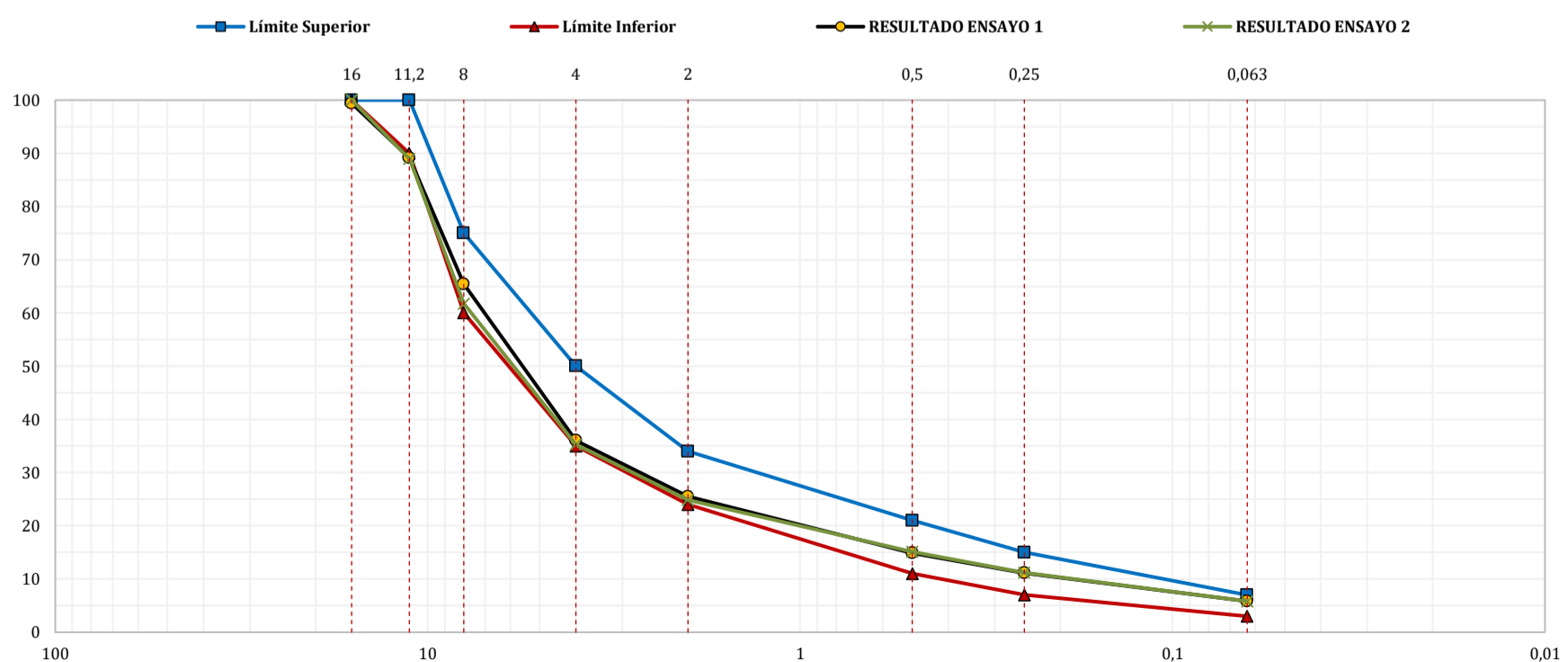
RESULTADOS ENSAYO 1

Abertura Tamiz (mm)	Masa Acumulada (g)	Masa Acumulada (%)	Masa Retenida (g)	Masa Que Pasa (%)	Límite Inferior (%)	Límite Superior (%)
16	10,00	0,6	10,00	99,4	100	100
11,2	182,00	10,8	172,30	89,2	90	100
8	580,40	34,6	398,10	65,4	60	75
4	1.072,80	64,0	492,40	36,0	35	50
2	1.249,60	74,5	176,80	25,5	24	34
0,5	1.428,00	85,1	178,40	14,9	11	21
0,25	1.490,70	88,9	62,70	11,1	7	15
0,063	1.579,70	94,2	89,00	5,8	3	7

RESULTADOS ENSAYO 2

Abertura Tamiz (mm)	Masa Acumulada (g)	Masa Acumulada (%)	Masa Retenida (g)	Masa Que Pasa (%)	Límite Inferior (%)	Límite Superior (%)
16	0,00	0,0	0,00	100,0	100	100
11,2	169,00	11,1	169,00	88,9	90	100
8	585,00	38,3	416,00	61,7	60	75
4	990,00	64,7	405,00	35,3	35	50
2	1.149,00	75,1	159,00	24,9	24	34
0,5	1.298,00	84,9	149,00	15,1	11	21
0,25	1.358,00	88,8	60,00	11,2	7	15
0,063	1.440,00	94,2	82,00	5,8	3	7

GRÁFICOS ENSAYOS 1 Y 2



Representación gráfica "Abertura del Tamiz (eje X ; representación semilogarítmica ; %) vs Masa Que Pasa (eje Y ; representación lineal ; %)".

ANÁLISIS DE RESULTADOS EILA 22

UNE-EN 12697-2:2015 y UNE-EN 12697-2:2015+A1:2022. Mezclas bituminosas. Métodos de ensayo. Parte 2: Determinación de la granulometría de las partículas.

GRÁFICOS GRANULOMÉTRICOS LABORATORIO 29

CONTENIDO LIGANTE POR IGNICION

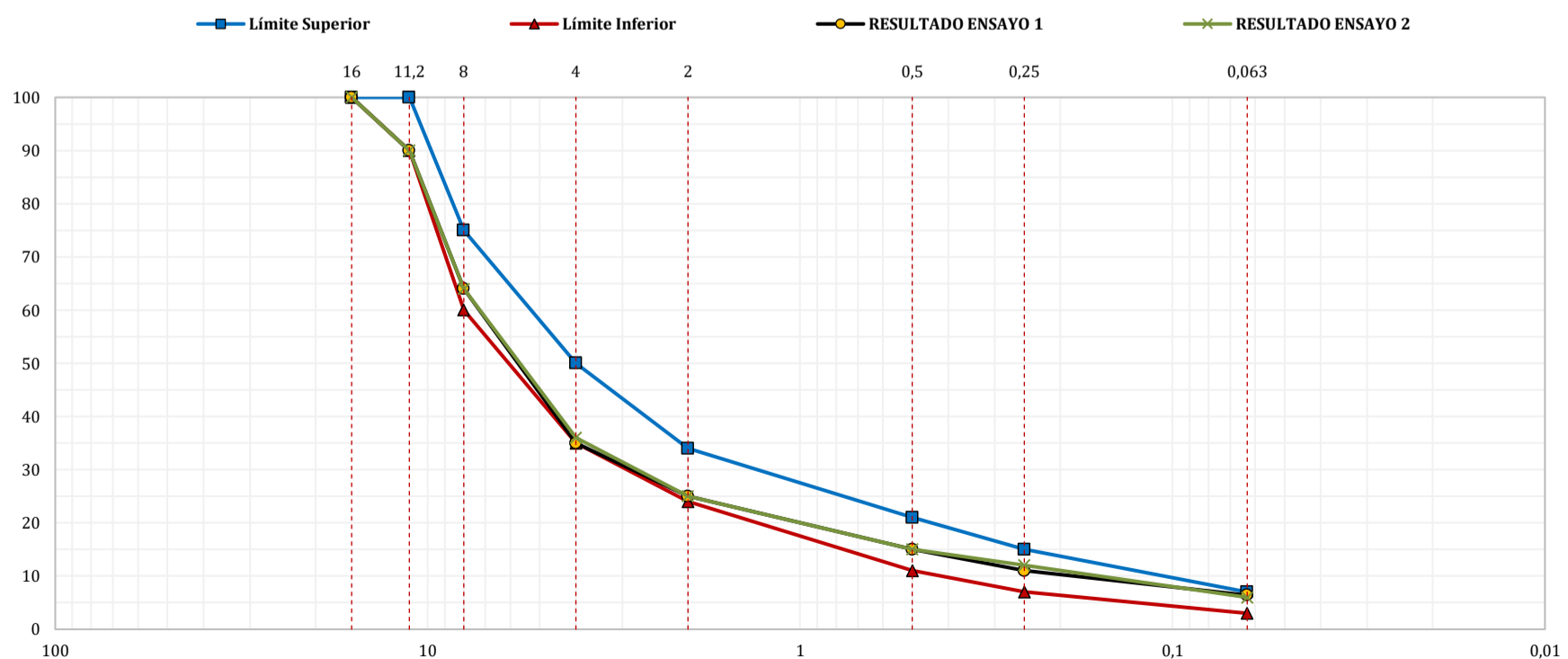
RESULTADOS ENSAYO 1

Abertura Tamiz (mm)	Masa Acumulada (g)	Masa Acumulada (%)	Masa Retenida (g)	Masa Que Pasa (%)	Límite Inferior (%)	Límite Superior (%)
16	0,00	0,0	0,00	100,0	100	100
11,2	138,00	10,0	619,00	90,0	90	100
8	482,00	36,0	1.485,00	64,0	60	75
4	866,00	65,0	2.488,00	35,0	35	50
2	1.002,00	75,0	3.625,00	25,0	24	34
0,5	1.137,00	85,0	4.806,00	15,0	11	21
0,25	1.182,00	89,0	6.053,00	11,0	7	15
0,063	1.247,00	93,6	7.305,00	6,4	3	7

RESULTADOS ENSAYO 2

Abertura Tamiz (mm)	Masa Acumulada (g)	Masa Acumulada (%)	Masa Retenida (g)	Masa Que Pasa (%)	Límite Inferior (%)	Límite Superior (%)
16	0,00	0,0	0,00	100,0	100	100
11,2	122,00	10,0	122,00	90,0	90	100
8	423,00	36,0	545,00	64,0	60	75
4	766,00	64,0	1.311,00	36,0	35	50
2	894,00	75,0	2.205,00	25,0	24	34
0,5	1.012,00	85,0	3.216,00	15,0	11	21
0,25	1.048,00	88,0	4.264,00	12,0	7	15
0,063	1.114,20	93,8	5.379,00	6,0	3	7

GRÁFICOS ENSAYOS 1 Y 2



Representación gráfica "Abertura del Tamiz (eje X ; representación semilogarítmica ; %) vs Masa Que Pasa (eje Y ; representación lineal ; %)".

ANÁLISIS DE RESULTADOS EILA 22

UNE-EN 12697-2:2015 y UNE-EN 12697-2:2015+A1:2022. Mezclas bituminosas. Métodos de ensayo. Parte 2: Determinación de la granulometría de las partículas.

GRÁFICOS GRANULOMÉTRICOS LABORATORIO 38

CONTENIDO LIGANTE POR IGNICION

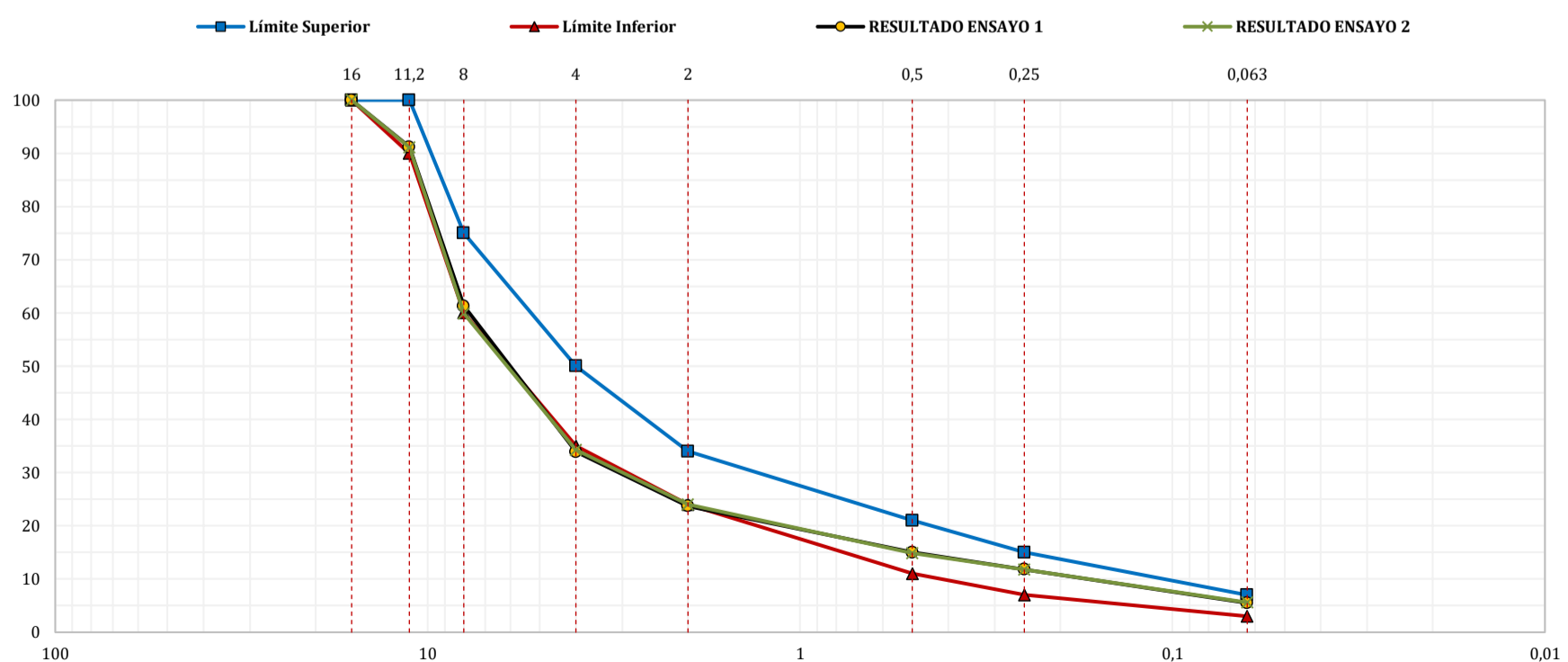
RESULTADOS ENSAYO 1

Abertura Tamiz (mm)	Masa Acumulada (g)	Masa Acumulada (%)	Masa Retenida (g)	Masa Que Pasa (%)	Límite Inferior (%)	Límite Superior (%)
16	0,00	0,0	0,00	100,0	100	100
11,2	115,40	8,8	115,40	91,2	90	100
8	506,30	38,7	390,30	61,3	60	75
4	864,90	66,1	358,60	33,9	35	50
2	998,60	76,3	133,70	23,7	24	34
0,5	112,40	85,0	113,80	15,0	11	21
0,25	1.153,60	88,2	41,20	11,8	7	15
0,063	1.236,60	94,5	83,00	5,5	3	7

RESULTADOS ENSAYO 2

Abertura Tamiz (mm)	Masa Acumulada (g)	Masa Acumulada (%)	Masa Retenida (g)	Masa Que Pasa (%)	Límite Inferior (%)	Límite Superior (%)
16	0,00	0,0	0,00	100,0	100	100
11,2	108,70	8,9	108,70	91,1	90	100
8	492,20	40,1	383,50	59,9	60	75
4	806,20	65,7	314,00	34,3	35	50
2	933,40	76,0	127,20	24,0	24	34
0,5	1.045,10	85,1	111,70	14,9	11	21
0,25	1.082,40	88,2	37,30	11,8	7	15
0,063	1.159,00	94,4	76,60	5,6	3	7

GRÁFICOS ENSAYOS 1 Y 2



Representación gráfica "Abertura del Tamiz (eje X ; representación semilogarítmica ; %) vs Masa Que Pasa (eje Y ; representación lineal ; %)".

ANÁLISIS DE RESULTADOS EILA 22

UNE-EN 12697-2:2015 y UNE-EN 12697-2:2015+A1:2022. Mezclas bituminosas. Métodos de ensayo. Parte 2: Determinación de la granulometría de las partículas.

GRÁFICOS GRANULOMÉTRICOS LABORATORIO 39

CONTENIDO LIGANTE POR IGNICION

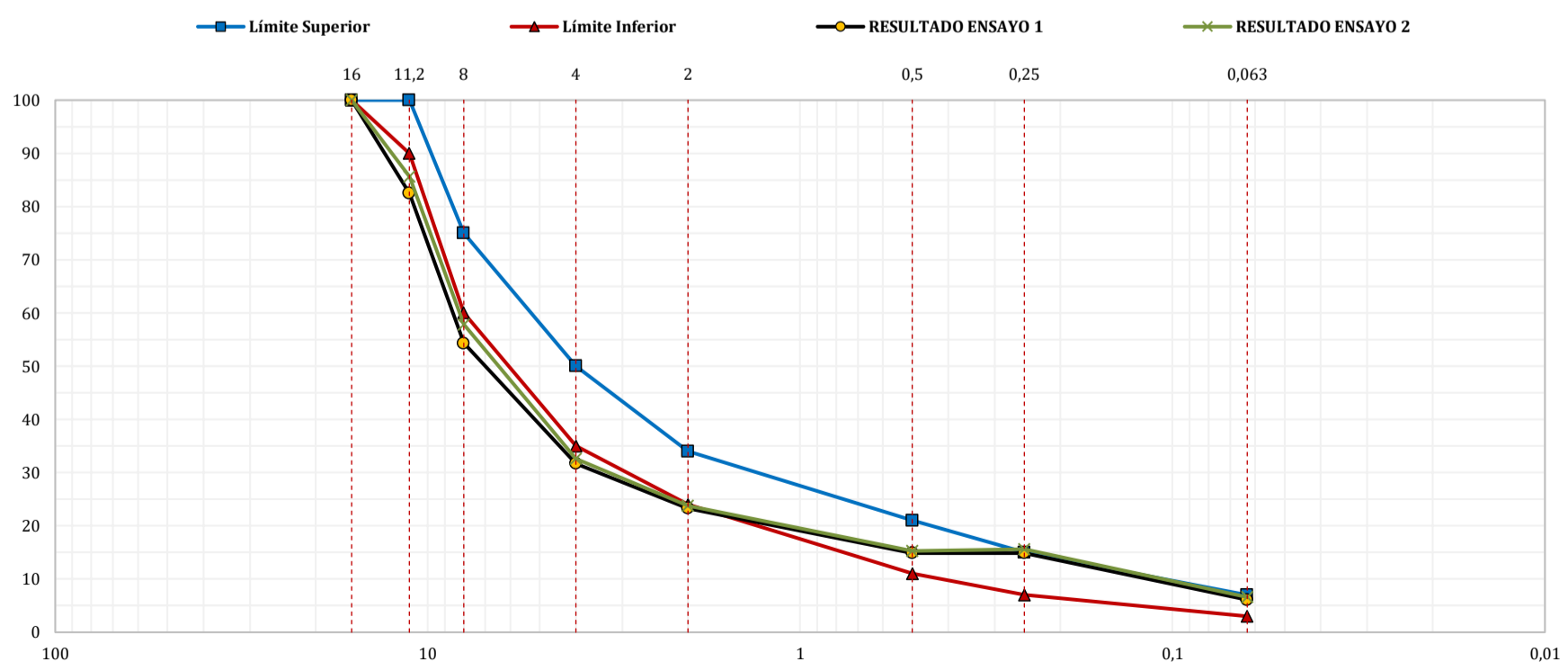
RESULTADOS ENSAYO 1

Abertura Tamiz (mm)	Masa Acumulada (g)	Masa Acumulada (%)	Masa Retenida (g)	Masa Que Pasa (%)	Límite Inferior (%)	Límite Superior (%)
16	1.132,30	100,0	0,00	100,0	100	100
11,2	934,37	82,5	197,93	82,5	90	100
8	615,01	54,3	319,36	54,3	60	75
4	358,69	31,7	256,32	31,7	35	50
2	264,10	23,3	94,59	23,3	24	34
0,5	169,05	14,9	95,05	14,9	11	21
0,25	169,05	14,9	0,00	14,9	7	15
0,063	68,62	6,1	100,43	6,1	3	7

RESULTADOS ENSAYO 2

Abertura Tamiz (mm)	Masa Acumulada (g)	Masa Acumulada (%)	Masa Retenida (g)	Masa Que Pasa (%)	Límite Inferior (%)	Límite Superior (%)
16	1.128,85	100,0	0,00	100,0	100	100
11,2	965,84	85,6	163,01	85,6	90	100
8	652,73	57,8	313,11	57,8	60	75
4	367,55	32,6	285,18	32,6	35	50
2	268,90	23,8	98,65	23,8	24	34
0,5	172,49	15,3	96,41	15,3	11	21
0,25	172,49	15,3	0,00	15,6	7	15
0,063	74,37	6,6	98,12	6,6	3	7

GRÁFICOS ENSAYOS 1 Y 2



Representación gráfica "Abertura del Tamiz (eje X ; representación semilogarítmica ; %) vs Masa Que Pasa (eje Y ; representación lineal ; %)".

ANÁLISIS DE RESULTADOS EILA 22

UNE-EN 12697-2:2015 y UNE-EN 12697-2:2015+A1:2022. Mezclas bituminosas. Métodos de ensayo. Parte 2: Determinación de la granulometría de las partículas.

GRÁFICOS GRANULOMÉTRICOS LABORATORIO 41

CONTENIDO LIGANTE POR IGNICION

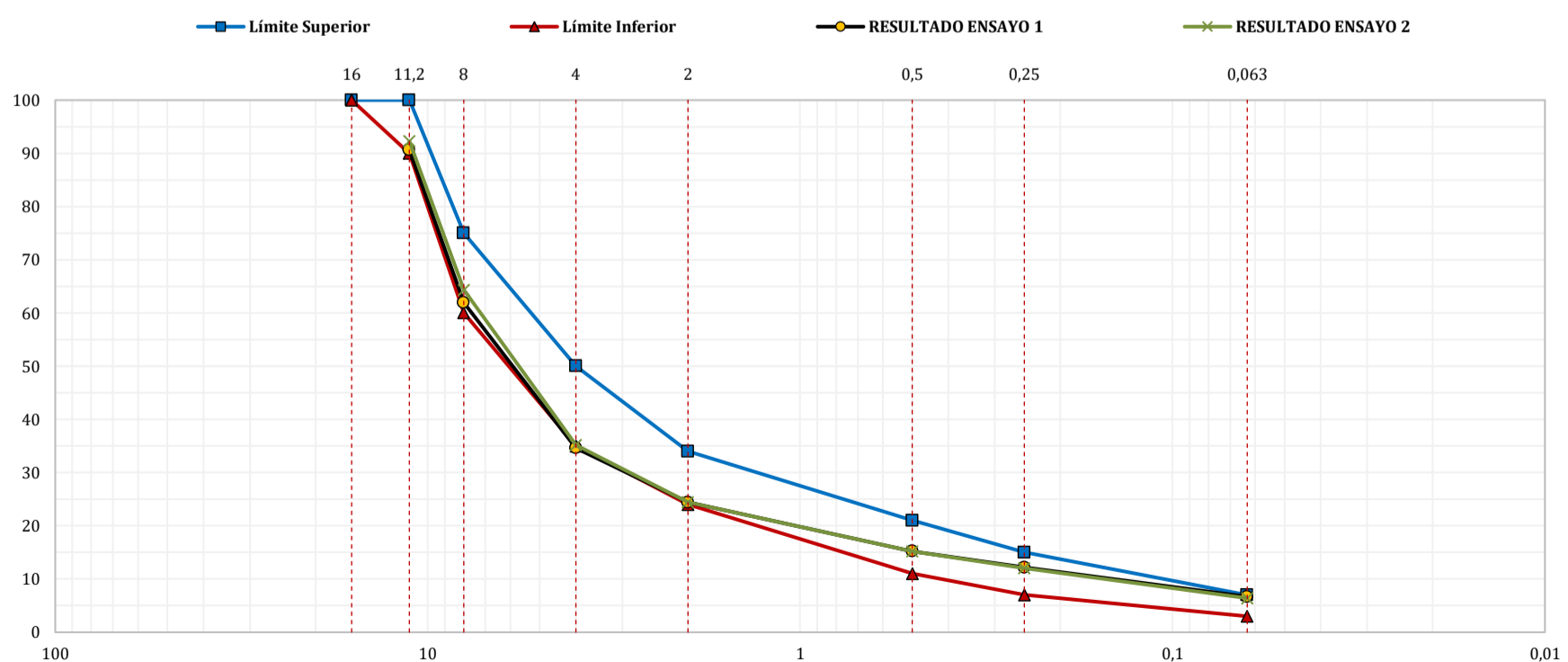
RESULTADOS ENSAYO 1

Abertura Tamiz (mm)	Masa Acumulada (g)	Masa Acumulada (%)	Masa Retenida (g)	Masa Que Pasa (%)	Límite Inferior (%)	Límite Superior (%)
16	0,00				100	100
11,2	104,32	9,3	104,32	90,7	90	100
8	428,95	38,1	324,63	61,9	60	75
4	737,35	65,4	308,60	34,6	35	50
2	852,41	75,6	115,06	24,4	24	34
0,5	955,38	84,8	102,97	15,2	11	21
0,25	990,07	87,8	34,69	12,2	7	15
0,063	1.052,30	93,3	62,23	6,7	3	7

RESULTADOS ENSAYO 2

Abertura Tamiz (mm)	Masa Acumulada (g)	Masa Acumulada (%)	Masa Retenida (g)	Masa Que Pasa (%)	Límite Inferior (%)	Límite Superior (%)
16	0,00				100	100
11,2	87,21	7,7	87,21	92,3	90	100
8	402,37	35,7	315,16	64,3	60	75
4	730,13	64,8	327,78	35,2	35	50
2	851,77	75,6	121,62	24,4	24	34
0,5	955,81	84,8	104,04	15,2	11	21
0,25	992,33	88,0	36,52	12,0	7	15
0,063	1.055,61	93,6	63,28	6,4	3	7

GRÁFICOS ENSAYOS 1 Y 2



Representación gráfica "Abertura del Tamiz (eje X ; representación semilogarítmica ; %) vs Masa Que Pasa (eje Y ; representación lineal ; %)".

ANÁLISIS DE RESULTADOS EILA 22

UNE-EN 12697-2:2015 y UNE-EN 12697-2:2015+A1:2022. Mezclas bituminosas. Métodos de ensayo. Parte 2: Determinación de la granulometría de las partículas.

GRÁFICOS GRANULOMÉTRICOS LABORATORIO 43

CONTENIDO LIGANTE POR IGNICION

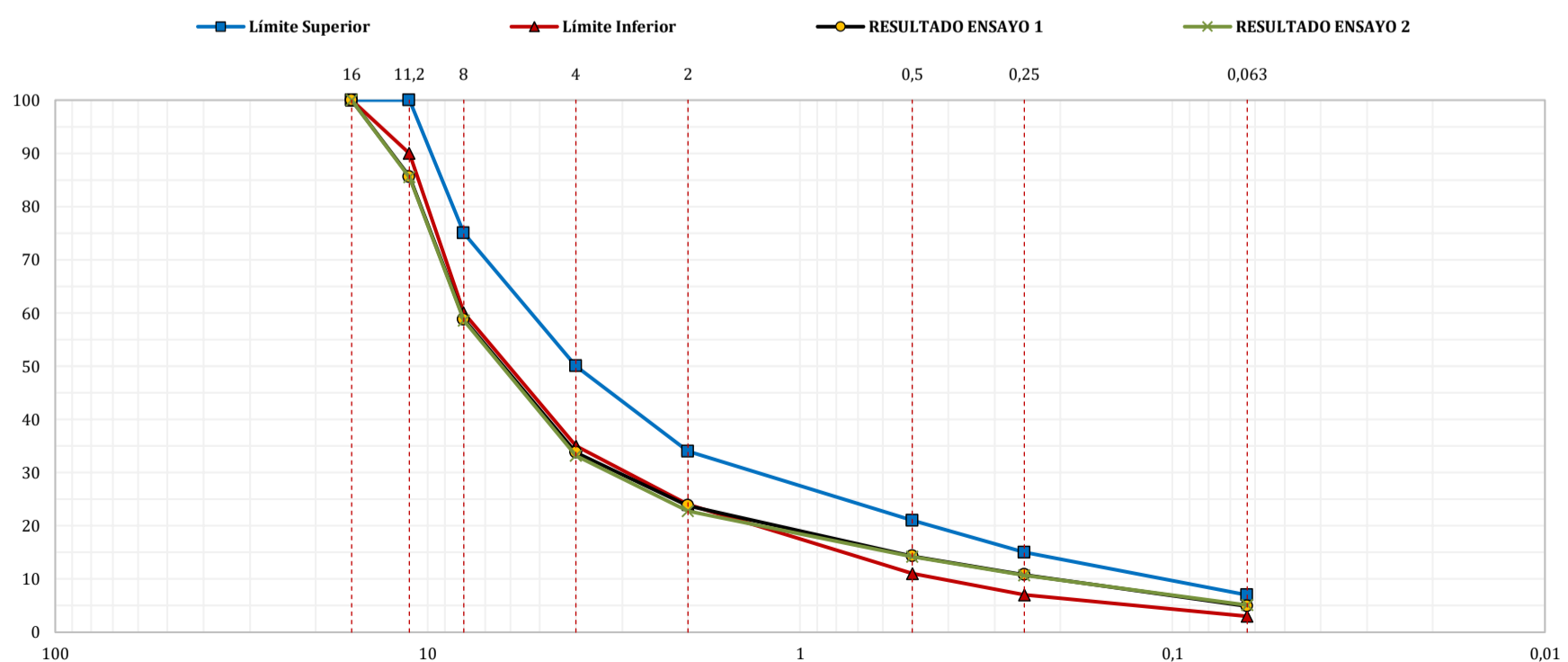
RESULTADOS ENSAYO 1

Abertura Tamiz (mm)	Masa Acumulada (g)	Masa Acumulada (%)	Masa Retenida (g)	Masa Que Pasa (%)	Límite Inferior (%)	Límite Superior (%)
16	0,00	0,0	0,00	100,0	100	100
11,2	401,00	14,4	401,00	85,6	90	100
8	1.150,00	41,2	749,00	58,8	60	75
4	1.849,00	66,2	699,00	33,8	35	50
2	2.128,00	76,2	279,00	23,8	24	34
0,5	2.393,00	85,7	265,00	14,3	11	21
0,25	2.491,00	89,2	98,00	10,8	7	15
0,063	2.657,00	95,1	166,00	4,9	3	7

RESULTADOS ENSAYO 2

Abertura Tamiz (mm)	Masa Acumulada (g)	Masa Acumulada (%)	Masa Retenida (g)	Masa Que Pasa (%)	Límite Inferior (%)	Límite Superior (%)
16	0,00	0,0	0,00	100,0	100	100
11,2	396,00	14,5	396,00	85,5	90	100
8	1.128,00	41,4	732,00	58,6	60	75
4	1.820,00	66,8	692,00	33,2	35	50
2	2.104,00	77,2	284,00	22,8	24	34
0,5	2.336,00	85,8	232,00	14,2	11	21
0,25	2.433,00	89,3	97,00	10,7	7	15
0,063	2.584,00	94,9	151,00	5,1	3	7

GRÁFICOS ENSAYOS 1 Y 2



Representación gráfica "Abertura del Tamiz (eje X ; representación semilogarítmica ; %) vs Masa Que Pasa (eje Y ; representación lineal ; %)".

ANÁLISIS DE RESULTADOS EILA 22

UNE-EN 12697-2:2015 y UNE-EN 12697-2:2015+A1:2022. Mezclas bituminosas. Métodos de ensayo. Parte 2: Determinación de la granulometría de las partículas.

GRÁFICOS GRANULOMÉTRICOS LABORATORIO 45

CONTENIDO LIGANTE POR IGNICION

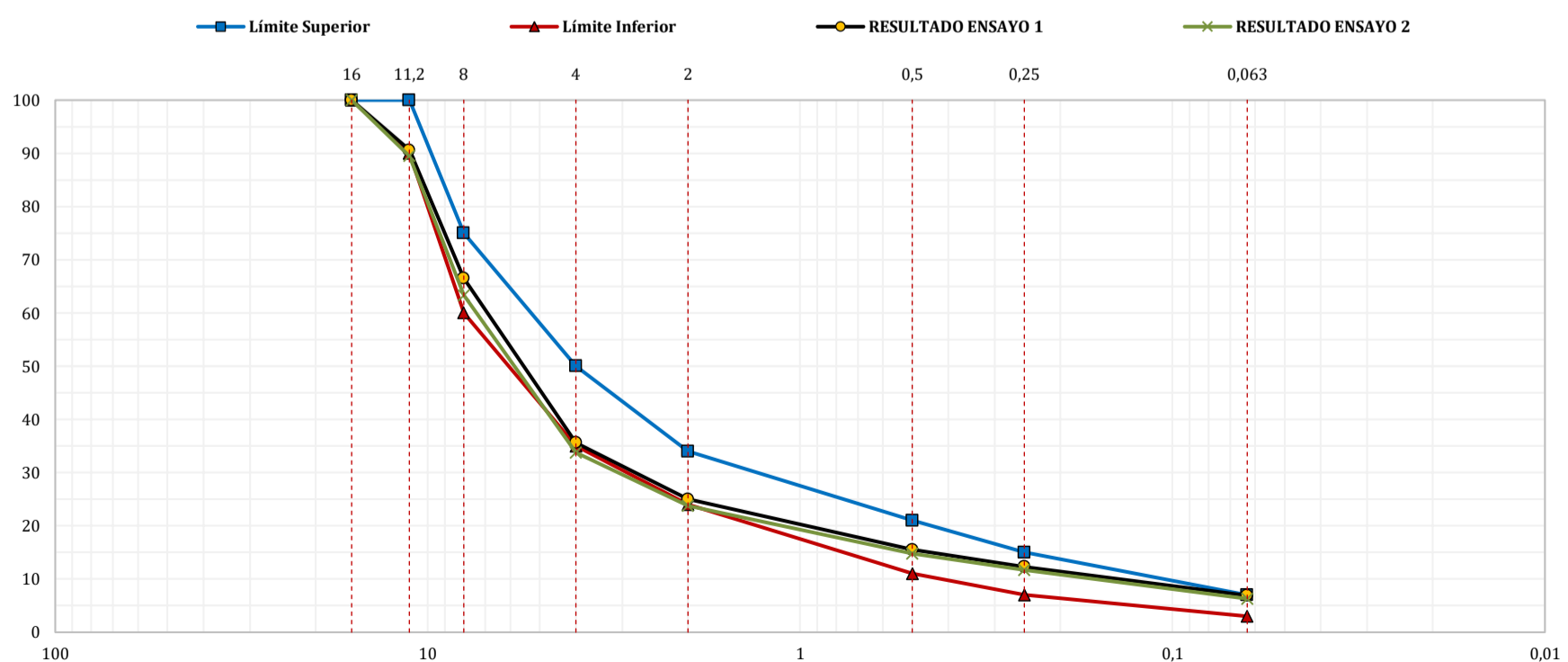
RESULTADOS ENSAYO 1

Abertura Tamiz (mm)	Masa Acumulada (g)	Masa Acumulada (%)	Masa Retenida (g)	Masa Que Pasa (%)	Límite Inferior (%)	Límite Superior (%)
16	0,00	0,0	0,00	100,0	100	100
11,2	106,90	9,4	106,90	90,6	90	100
8	379,40	33,5	272,50	66,5	60	75
4	728,50	64,4	349,10	35,6	35	50
2	849,10	75,0	120,60	25,0	24	34
0,5	956,20	84,5	107,10	15,5	11	21
0,25	992,40	87,7	36,20	12,3	7	15
0,063	1.054,00	93,1	61,60	6,9	3	7

RESULTADOS ENSAYO 2

Abertura Tamiz (mm)	Masa Acumulada (g)	Masa Acumulada (%)	Masa Retenida (g)	Masa Que Pasa (%)	Límite Inferior (%)	Límite Superior (%)
16	0,00	0,0	0,00	100,0	100	100
11,2	119,20	10,5	119,20	89,5	90	100
8	415,70	36,7	296,50	63,3	60	75
4	749,50	66,2	333,80	33,8	35	50
2	863,00	76,2	113,50	23,8	24	34
0,5	964,70	85,2	101,70	14,8	11	21
0,25	1.000,10	88,3	35,40	11,7	7	15
0,063	1.061,20	93,7	61,10	6,3	3	7

GRÁFICOS ENSAYOS 1 Y 2



Representación gráfica "Abertura del Tamiz (eje X ; representación semilogarítmica ; %) vs Masa Que Pasa (eje Y ; representación lineal ; %)".

ANÁLISIS DE RESULTADOS EILA 22

UNE-EN 12697-2:2015 y UNE-EN 12697-2:2015+A1:2022. Mezclas bituminosas. Métodos de ensayo. Parte 2: Determinación de la granulometría de las partículas.

GRÁFICOS GRANULOMÉTRICOS LABORATORIO 51

CONTENIDO LIGANTE POR IGNICION

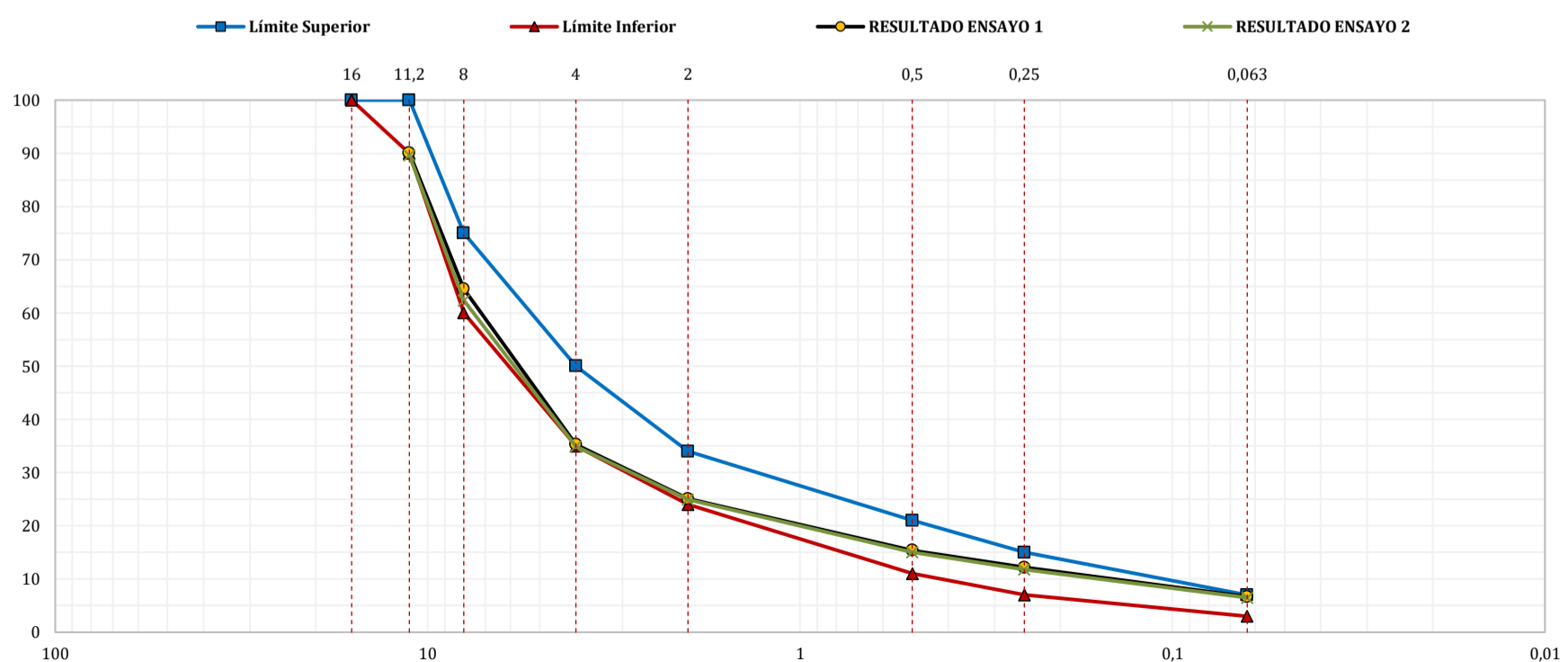
RESULTADOS ENSAYO 1

Abertura Tamiz (mm)	Masa Acumulada (g)	Masa Acumulada (%)	Masa Retenida (g)	Masa Que Pasa (%)	Límite Inferior (%)	Límite Superior (%)
16					100	100
11,2	115,00	9,9	115,00	90,1	90	100
8	411,10	35,5	296,00	64,5	60	75
4	749,50	64,7	339,00	35,3	35	50
2	868,20	74,9	118,00	25,1	24	34
0,5	981,20	84,6	113,00	15,4	11	21
0,25	1.017,60	87,8	37,00	12,2	7	15
0,063	1.082,00	93,3	64,00	6,7	3	7

RESULTADOS ENSAYO 2

Abertura Tamiz (mm)	Masa Acumulada (g)	Masa Acumulada (%)	Masa Retenida (g)	Masa Que Pasa (%)	Límite Inferior (%)	Límite Superior (%)
16					100	100
11,2	118,80	10,4	119,00	89,6	90	100
8	429,60	37,7	311,00	62,3	60	75
4	742,40	65,1	312,00	34,9	35	50
2	855,40	75,1	113,00	24,9	24	34
0,5	968,20	85,0	113,00	15,0	11	21
0,25	1.005,00	88,2	37,00	11,8	7	15
0,063	1.065,20	93,5	60,00	6,5	3	7

GRÁFICOS ENSAYOS 1 Y 2



Representación gráfica "Abertura del Tamiz (eje X ; representación semilogarítmica ; %) vs Masa Que Pasa (eje Y ; representación lineal ; %)".

ANÁLISIS DE RESULTADOS EILA 22

UNE-EN 12697-2:2015 y UNE-EN 12697-2:2015+A1:2022. Mezclas bituminosas. Métodos de ensayo. Parte 2: Determinación de la granulometría de las partículas.

GRÁFICOS GRANULOMÉTRICOS LABORATORIO 58

CONTENIDO LIGANTE POR IGNICION

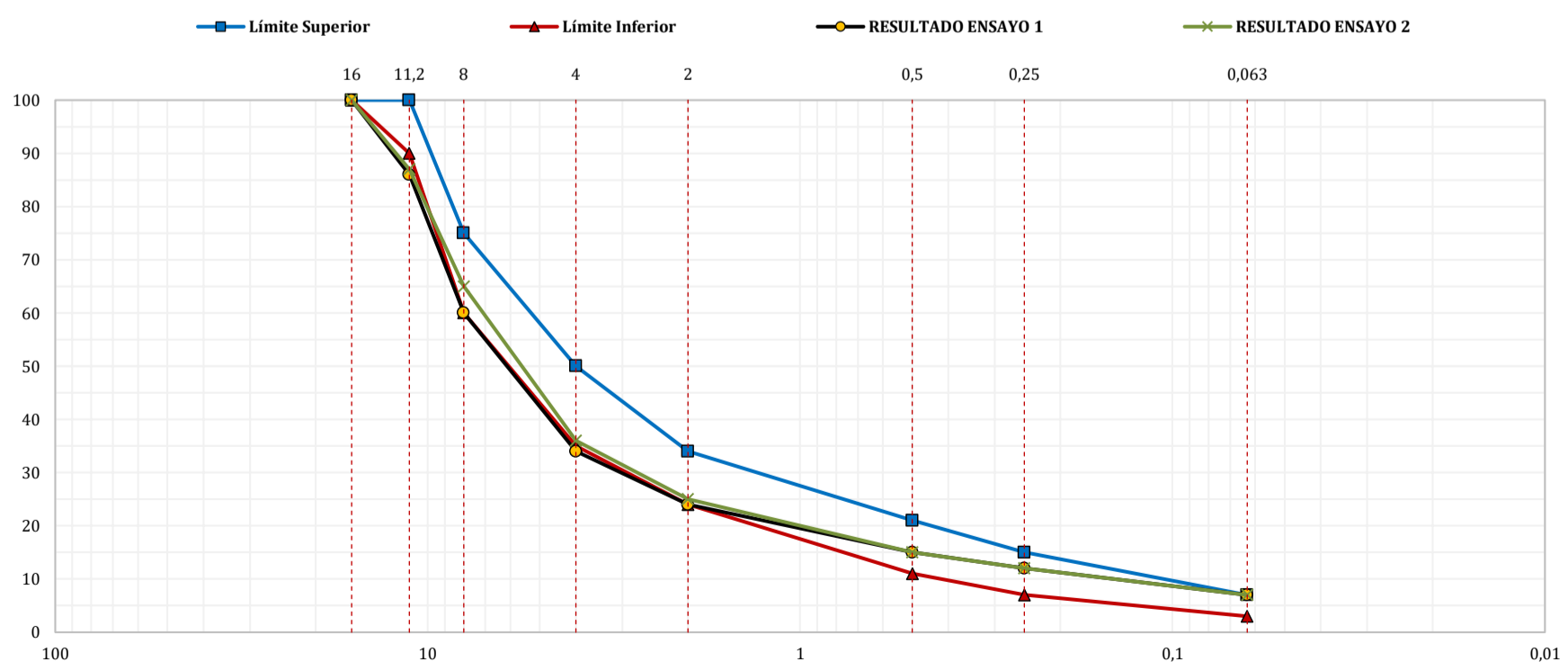
RESULTADOS ENSAYO 1

Abertura Tamiz (mm)	Masa Acumulada (g)	Masa Acumulada (%)	Masa Retenida (g)	Masa Que Pasa (%)	Límite Inferior (%)	Límite Superior (%)
16	2,50	0,0	2,50	100,0	100	100
11,2	157,50	14,0	155,00	86,0	90	100
8	453,30	40,0	295,80	60,0	60	75
4	755,50	66,0	302,20	34,0	35	50
2	866,00	76,0	110,50	24,0	24	34
0,5	972,70	85,0	106,70	15,0	11	21
0,25	1.007,70	88,0	35,00	12,0	7	15
0,063	1.069,30	93,0	61,60	7,0	3	7

RESULTADOS ENSAYO 2

Abertura Tamiz (mm)	Masa Acumulada (g)	Masa Acumulada (%)	Masa Retenida (g)	Masa Que Pasa (%)	Límite Inferior (%)	Límite Superior (%)
16	3,30	0,0	3,30	100,0	100	100
11,2	149,70	13,0	146,40	87,0	90	100
8	409,30	35,0	259,60	65,0	60	75
4	744,90	64,0	335,60	36,0	35	50
2	871,40	75,0	126,50	25,0	24	34
0,5	987,00	85,0	115,60	15,0	11	21
0,25	1.024,40	88,0	37,40	12,0	7	15
0,063	1.091,50	93,0	64,13	7,0	3	7

GRÁFICOS ENSAYOS 1 Y 2



Representación gráfica "Abertura del Tamiz (eje X ; representación semilogarítmica ; %) vs Masa Que Pasa (eje Y ; representación lineal ; %)".

ANÁLISIS DE RESULTADOS EILA 22

UNE-EN 12697-2:2015 y UNE-EN 12697-2:2015+A1:2022. Mezclas bituminosas. Métodos de ensayo. Parte 2: Determinación de la granulometría de las partículas.

GRÁFICOS GRANULOMÉTRICOS LABORATORIO 62

CONTENIDO LIGANTE POR IGNICION

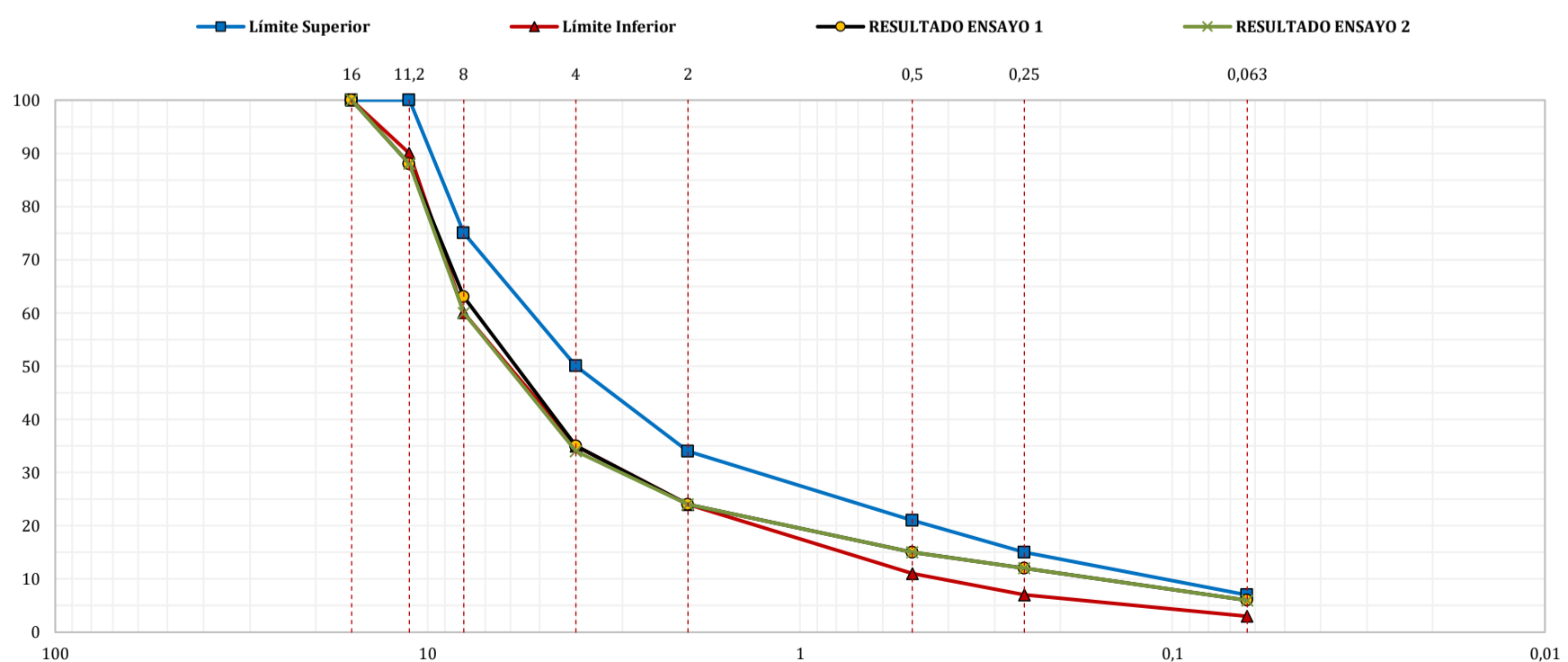
RESULTADOS ENSAYO 1

Abertura Tamiz (mm)	Masa Acumulada (g)	Masa Acumulada (%)	Masa Retenida (g)	Masa Que Pasa (%)	Límite Inferior (%)	Límite Superior (%)
16				100,0	100	100
11,2	131,00	12,0	131,00	88,0	90	100
8	424,00	37,0	293,00	63,0	60	75
4	734,00	65,0	310,00	35,0	35	50
2	858,00	76,0	124,00	24,0	24	34
0,5	953,00	85,0	95,00	15,0	11	21
0,25	1.000,00	88,0	47,00	12,0	7	15
0,063	1.061,00	94,0	61,00	6,0	3	7

RESULTADOS ENSAYO 2

Abertura Tamiz (mm)	Masa Acumulada (g)	Masa Acumulada (%)	Masa Retenida (g)	Masa Que Pasa (%)	Límite Inferior (%)	Límite Superior (%)
16				100,0	100	100
11,2	136,00	12,0	136,00	88,0	90	100
8	453,00	40,0	317,00	60,0	60	75
4	744,00	66,0	291,00	34,0	35	50
2	860,00	76,0	116,00	24,0	24	34
0,5	961,00	85,0	101,00	15,0	11	21
0,25	996,00	88,0	35,00	12,0	7	15
0,063	1.058,00	94,0	62,00	6,0	3	7

GRÁFICOS ENSAYOS 1 Y 2



Representación gráfica "Abertura del Tamiz (eje X ; representación semilogarítmica ; %) vs Masa Que Pasa (eje Y ; representación lineal ; %)".

ANÁLISIS DE RESULTADOS EILA 22

UNE-EN 12697-2:2015 y UNE-EN 12697-2:2015+A1:2022. Mezclas bituminosas. Métodos de ensayo. Parte 2: Determinación de la granulometría de las partículas.

GRÁFICOS GRANULOMÉTRICOS LABORATORIO 63

CONTENIDO LIGANTE POR IGNICION

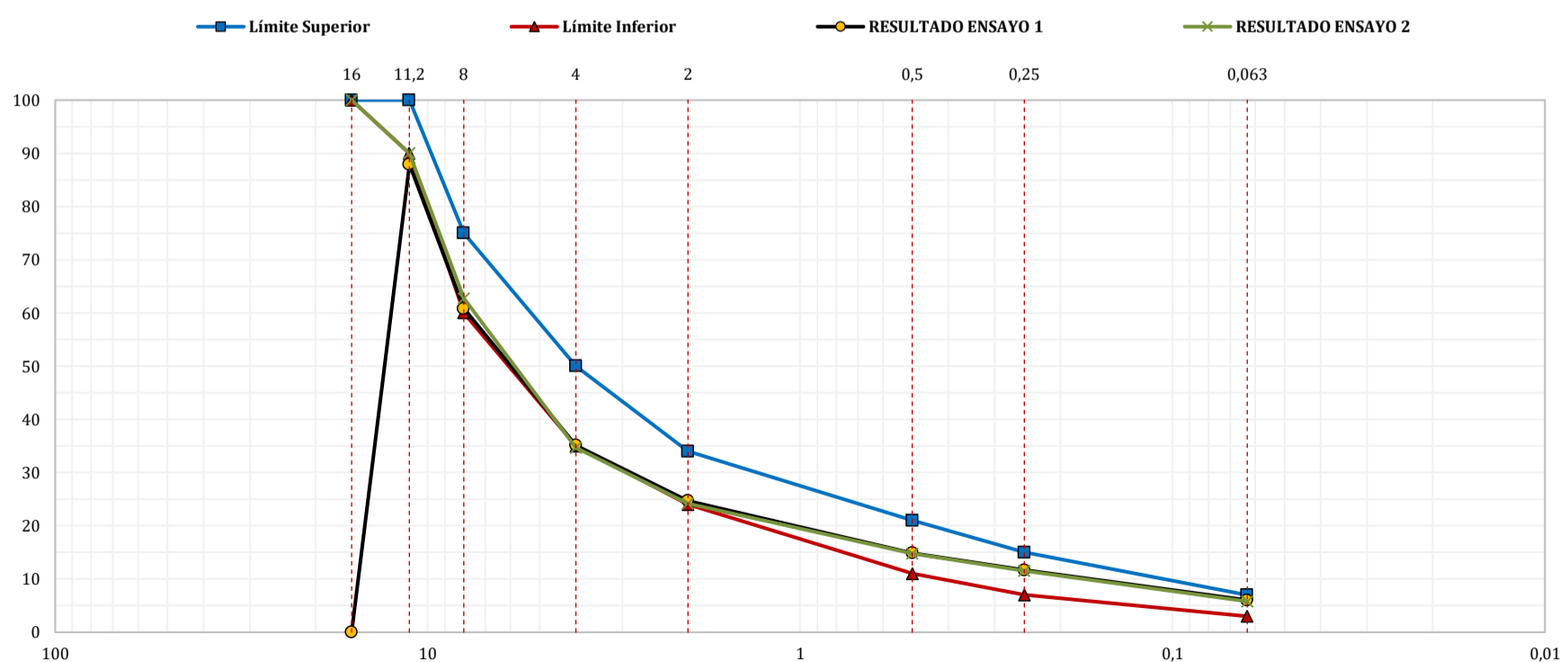
RESULTADOS ENSAYO 1

Abertura Tamiz (mm)	Masa Acumulada (g)	Masa Acumulada (%)	Masa Retenida (g)	Masa Que Pasa (%)	Límite Inferior (%)	Límite Superior (%)
16	0,00	100,0	0,00	0,0	100	100
11,2	177,00	12,1	177,00	87,9	90	100
8	575,00	39,2	397,50	60,8	60	75
4	951,00	64,9	376,30	35,1	35	50
2	1.104,00	75,3	152,50	24,7	24	34
0,5	1.247,00	85,1	142,60	14,9	11	21
0,25	1.295,00	88,3	47,70	11,7	7	15
0,063	1.379,00	94,0	83,60	6,0	3	7

RESULTADOS ENSAYO 2

Abertura Tamiz (mm)	Masa Acumulada (g)	Masa Acumulada (%)	Masa Retenida (g)	Masa Que Pasa (%)	Límite Inferior (%)	Límite Superior (%)
16	0,00	0,0	0,00	100,0	100	100
11,2	127,00	10,0	126,60	90,0	90	100
8	475,00	37,3	347,90	62,7	60	75
4	831,00	65,3	356,10	34,7	35	50
2	964,00	75,8	133,10	24,2	24	34
0,5	1.084,00	85,2	120,20	14,8	11	21
0,25	1.125,00	88,5	41,30	11,5	7	15
0,063	1.198,00	94,2	72,50	5,8	3	7

GRÁFICOS ENSAYOS 1 Y 2



Representación gráfica "Abertura del Tamiz (eje X ; representación semilogarítmica ; %) vs Masa Que Pasa (eje Y ; representación lineal ; %)".

ANÁLISIS DE RESULTADOS EILA 22

UNE-EN 12697-2:2015 y UNE-EN 12697-2:2015+A1:2022. Mezclas bituminosas. Métodos de ensayo. Parte 2: Determinación de la granulometría de las partículas.

GRÁFICOS GRANULOMÉTRICOS LABORATORIO 65

CONTENIDO LIGANTE POR IGNICION

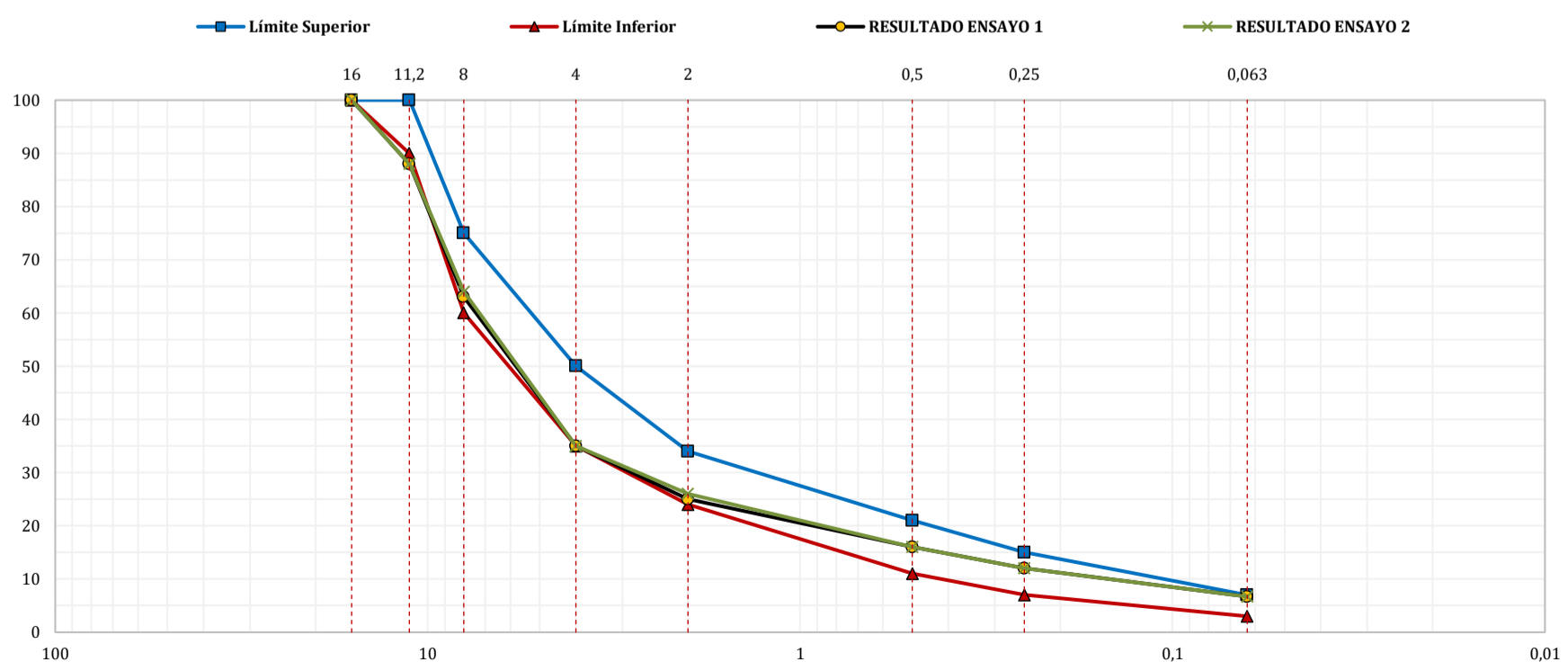
RESULTADOS ENSAYO 1

Abertura Tamiz (mm)	Masa Acumulada (g)	Masa Acumulada (%)	Masa Retenida (g)	Masa Que Pasa (%)	Límite Inferior (%)	Límite Superior (%)
16	0,00	0,0	0,00	100,0	100	100
11,2	280,00	12,0	280,00	88,0	90	100
8	870,00	37,0	590,00	63,0	60	75
4	1.545,00	65,0	675,00	35,0	35	50
2	1.762,50	75,0	217,50	25,0	24	34
0,5	1.997,50	84,0	235,00	16,0	11	21
0,25	2.090,00	88,0	92,50	12,0	7	15
0,063	2.206,25	93,3	116,25	6,7	3	7

RESULTADOS ENSAYO 2

Abertura Tamiz (mm)	Masa Acumulada (g)	Masa Acumulada (%)	Masa Retenida (g)	Masa Que Pasa (%)	Límite Inferior (%)	Límite Superior (%)
16	0,00	0,0	0,00	100,0	100	100
11,2	276,00	12,0	280,00	88,0	90	100
8	861,00	36,0	585,00	64,0	60	75
4	1.543,00	65,0	682,00	35,0	35	50
2	1.755,00	74,0	212,00	26,0	24	34
0,5	1.995,00	84,0	240,00	16,0	11	21
0,25	2.083,00	88,0	88,00	12,0	7	15
0,063	2.204,00	93,3	121,00	6,7	3	7

GRÁFICOS ENSAYOS 1 Y 2



Representación gráfica "Abertura del Tamiz (eje X ; representación semilogarítmica ; %) vs Masa Que Pasa (eje Y ; representación lineal ; %)".

ANÁLISIS DE RESULTADOS EILA 22

UNE-EN 12697-2:2015 y UNE-EN 12697-2:2015+A1:2022. Mezclas bituminosas. Métodos de ensayo. Parte 2: Determinación de la granulometría de las partículas.

GRÁFICOS GRANULOMÉTRICOS LABORATORIO 69

CONTENIDO LIGANTE POR IGNICION

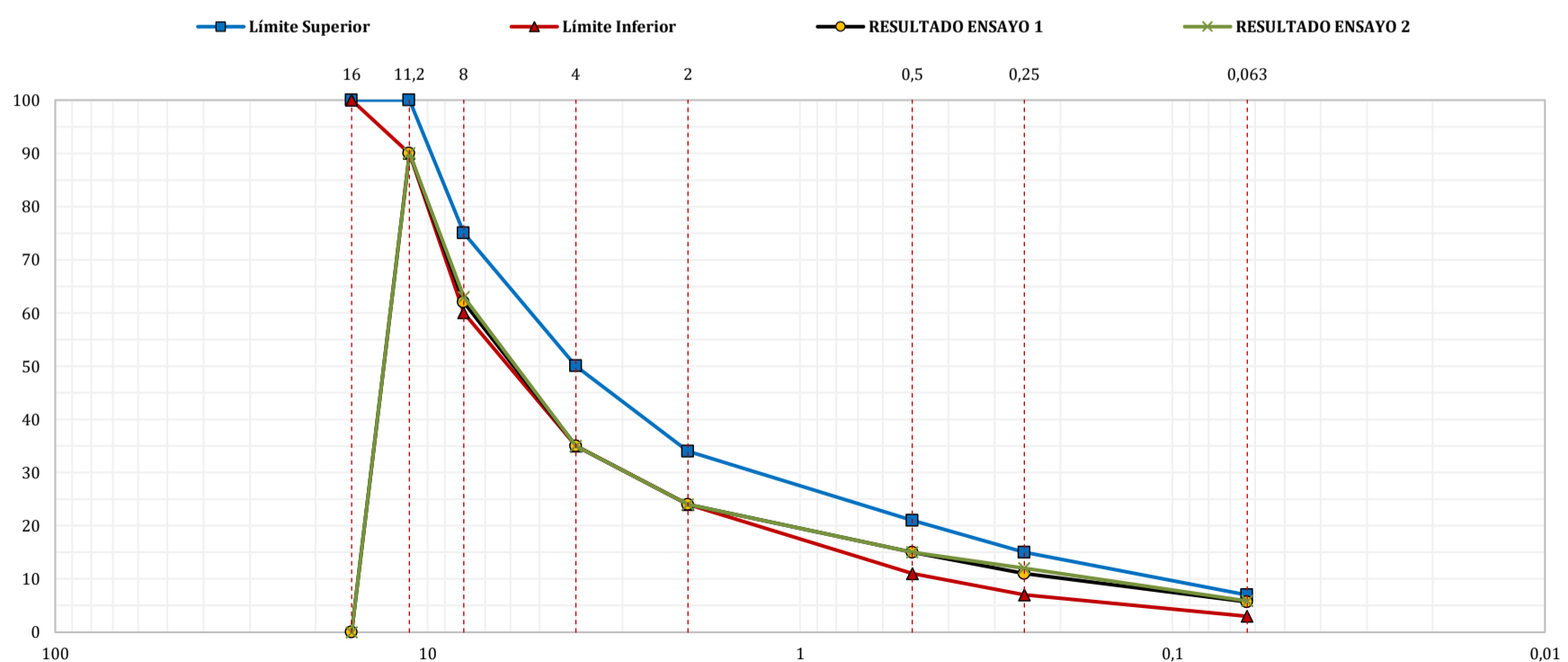
RESULTADOS ENSAYO 1

Abertura Tamiz (mm)	Masa Acumulada (g)	Masa Acumulada (%)	Masa Retenida (g)	Masa Que Pasa (%)	Límite Inferior (%)	Límite Superior (%)
16	0,00	0,0	0,00	0,0	100	100
11,2	115,20	2,0	115,20	90,0	90	100
8	435,30	8,0	320,10	62,0	60	75
4	735,80	14,0	300,30	35,0	35	50
2	855,70	17,0	110,10	24,0	24	34
0,5	965,70	19,0	110,00	15,0	11	21
0,25	1.006,10	19,0	40,40	11,0	7	15
0,063	1.066,20	20,6	60,10	5,7	3	7

RESULTADOS ENSAYO 2

Abertura Tamiz (mm)	Masa Acumulada (g)	Masa Acumulada (%)	Masa Retenida (g)	Masa Que Pasa (%)	Límite Inferior (%)	Límite Superior (%)
16	0,00	0,0	0,00	0,0	100	100
11,2	110,00	2,0	110,00	90,0	90	100
8	415,20	8,0	305,20	63,0	60	75
4	735,20	14,0	320,00	35,0	35	50
2	855,50	17,0	120,30	24,0	24	34
0,5	955,80	19,0	100,10	15,0	11	21
0,25	990,80	19,0	35,20	12,0	7	15
0,063	1.060,80	20,7	70,00	5,9	3	7

GRÁFICOS ENSAYOS 1 Y 2



Representación gráfica "Abertura del Tamiz (eje X ; representación semilogarítmica ; %) vs Masa Que Pasa (eje Y ; representación lineal ; %)".

ANÁLISIS DE RESULTADOS EILA 22

UNE-EN 12697-2:2015 y UNE-EN 12697-2:2015+A1:2022. Mezclas bituminosas. Métodos de ensayo. Parte 2: Determinación de la granulometría de las partículas.

GRÁFICOS GRANULOMÉTRICOS LABORATORIO 70

CONTENIDO LIGANTE POR IGNICION

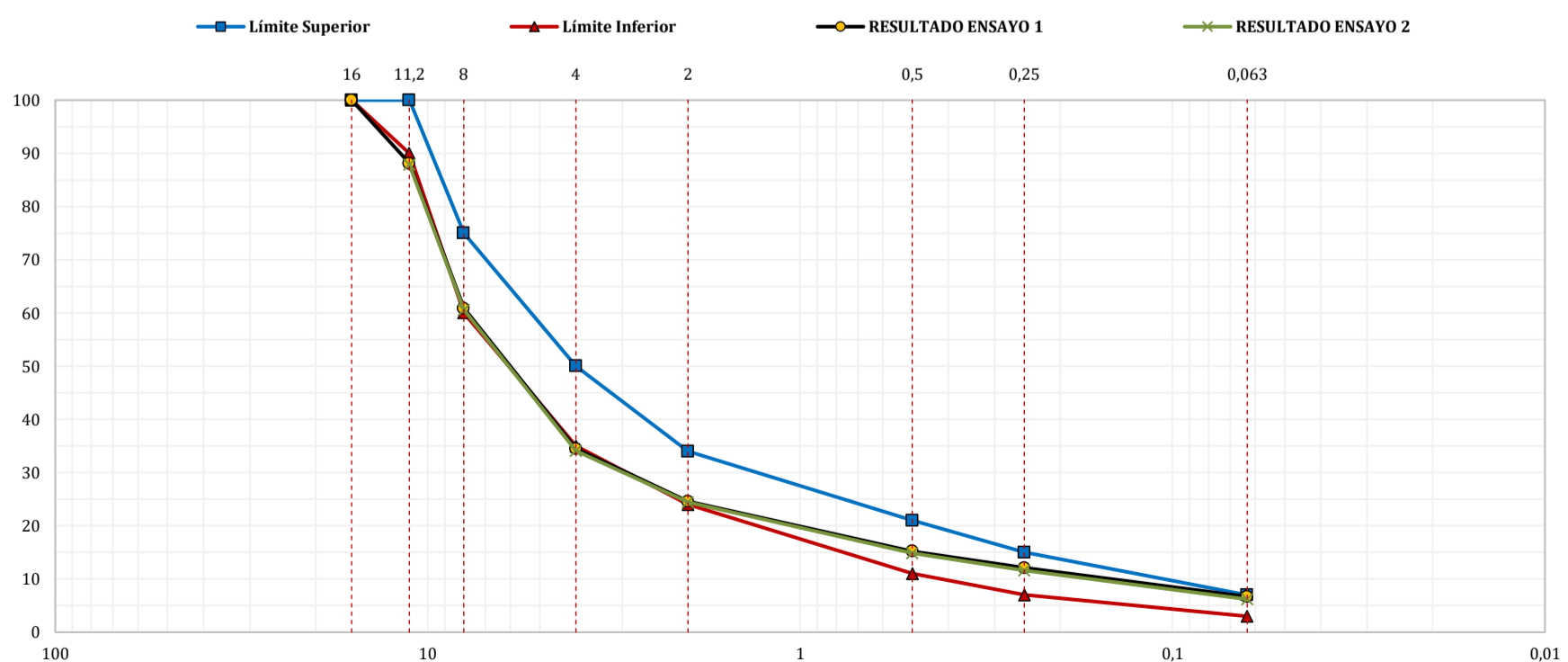
RESULTADOS ENSAYO 1

Abertura Tamiz (mm)	Masa Acumulada (g)	Masa Acumulada (%)	Masa Retenida (g)	Masa Que Pasa (%)	Límite Inferior (%)	Límite Superior (%)
16	0,00	0,0	0,00	100,0	100	100
11,2	141,00	11,9	141,00	88,1	90	100
8	460,00	39,1	319,30	60,9	60	75
4	770,00	65,5	310,30	34,5	35	50
2	887,00	75,4	117,40	24,6	24	34
0,5	996,60	84,8	109,60	15,2	11	21
0,25	1.033,60	87,9	37,10	12,1	7	15
0,063	1.097,60	93,3	64,20	6,7	3	7

RESULTADOS ENSAYO 2

Abertura Tamiz (mm)	Masa Acumulada (g)	Masa Acumulada (%)	Masa Retenida (g)	Masa Que Pasa (%)	Límite Inferior (%)	Límite Superior (%)
16					100	100
11,2	142,00	12,1	142,00	87,9	90	100
8	464,00	39,4	322,40	60,6	60	75
4	776,00	65,9	311,80	34,1	35	50
2	891,00	75,6	115,20	24,4	24	34
0,5	1.003,00	85,1	111,60	14,9	11	21
0,25	1.041,00	88,4	38,10	11,6	7	15
0,063	1.105,00	93,8	63,80	6,2	3	7

GRÁFICOS ENSAYOS 1 Y 2



Representación gráfica "Abertura del Tamiz (eje X ; representación semilogarítmica ; %) vs Masa Que Pasa (eje Y ; representación lineal ; %)".

ANÁLISIS DE RESULTADOS EILA 22

UNE-EN 12697-2:2015 y UNE-EN 12697-2:2015+A1:2022. Mezclas bituminosas. Métodos de ensayo. Parte 2: Determinación de la granulometría de las partículas.

GRÁFICOS GRANULOMÉTRICOS LABORATORIO 71

CONTENIDO LIGANTE POR IGNICION

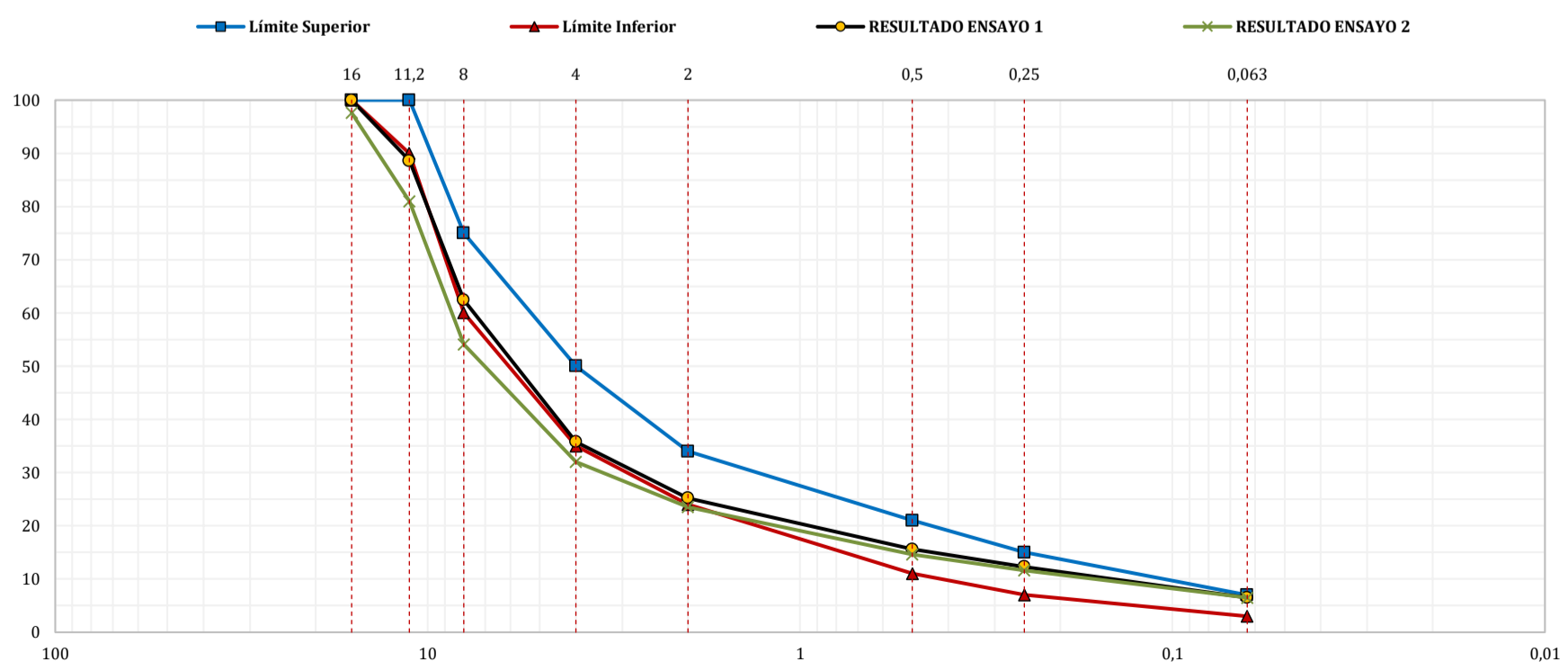
RESULTADOS ENSAYO 1

Abertura Tamiz (mm)	Masa Acumulada (g)	Masa Acumulada (%)	Masa Retenida (g)	Masa Que Pasa (%)	Límite Inferior (%)	Límite Superior (%)
16	0,00		0,00	100,0	100	100
11,2	133,00		133,00	88,6	90	100
8	439,00		306,10	62,4	60	75
4	749,00		309,70	35,8	35	50
2	873,00		124,10	25,2	24	34
0,5	985,00		112,00	15,6	11	21
0,25	1.024,00		38,70	12,3	7	15
0,063	1.091,00		67,10	6,5	3	7

RESULTADOS ENSAYO 2

Abertura Tamiz (mm)	Masa Acumulada (g)	Masa Acumulada (%)	Masa Retenida (g)	Masa Que Pasa (%)	Límite Inferior (%)	Límite Superior (%)
16	25,00		24,70	97,6	100	100
11,2	199,00		173,70	81,0	90	100
8	481,00		282,10	54,1	60	75
4	712,00		230,70	32,0	35	50
2	801,00		89,00	23,5	24	34
0,5	894,00		93,20	14,6	11	21
0,25	925,00		31,40	11,6	7	15
0,063	979,00		53,90	6,5	3	7

GRÁFICOS ENSAYOS 1 Y 2



Representación gráfica "Abertura del Tamiz (eje X ; representación semilogarítmica ; %) vs Masa Que Pasa (eje Y ; representación lineal ; %)".

ANÁLISIS DE RESULTADOS EILA 22

UNE-EN 12697-2:2015 y UNE-EN 12697-2:2015+A1:2022. Mezclas bituminosas. Métodos de ensayo. Parte 2: Determinación de la granulometría de las partículas.

GRÁFICOS GRANULOMÉTRICOS LABORATORIO 78

CONTENIDO LIGANTE POR IGNICION

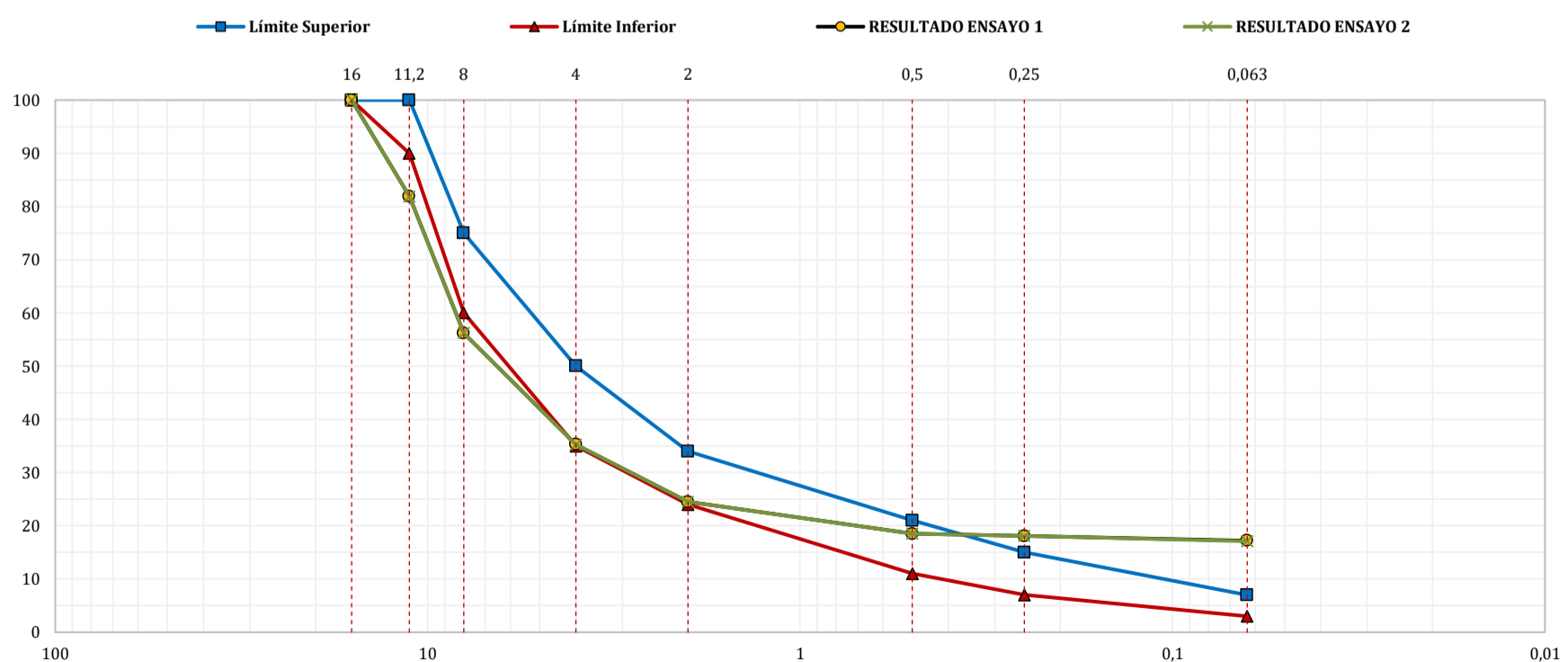
RESULTADOS ENSAYO 1

Abertura Tamiz (mm)	Masa Acumulada (g)	Masa Acumulada (%)	Masa Retenida (g)	Masa Que Pasa (%)	Límite Inferior (%)	Límite Superior (%)
16	0,00	0,0	0,00	100,0	100	100
11,2	412,30	18,1	412,30	81,9	90	100
8	996,40	43,8	584,10	56,2	60	75
4	1.470,70	64,7	474,30	35,3	35	50
2	1.716,10	75,5	245,40	24,5	24	34
0,5	1.853,10	81,5	137,00	18,5	11	21
0,25	1.861,50	81,9	8,40	18,1	7	15
0,063	1.883,50	82,8	22,50	17,2	3	7

RESULTADOS ENSAYO 2

Abertura Tamiz (mm)	Masa Acumulada (g)	Masa Acumulada (%)	Masa Retenida (g)	Masa Que Pasa (%)	Límite Inferior (%)	Límite Superior (%)
16	0,00	0,0	0,00	100,0	100	100
11,2	411,20	18,1	411,20	81,9	90	100
8	994,50	43,8	583,30	56,2	60	75
4	1.466,90	64,7	472,20	35,3	35	50
2	1.712,40	75,5	245,50	24,5	24	34
0,5	1.849,20	81,5	136,80	18,5	11	21
0,25	1.858,00	81,9	8,80	18,1	7	15
0,063	1.879,90	82,9	21,90	17,1	3	7

GRÁFICOS ENSAYOS 1 Y 2



Representación gráfica "Abertura del Tamiz (eje X ; representación semilogarítmica ; %) vs Masa Que Pasa (eje Y ; representación lineal ; %)".

ANÁLISIS DE RESULTADOS EILA 22

UNE-EN 12697-2:2015 y UNE-EN 12697-2:2015+A1:2022. Mezclas bituminosas. Métodos de ensayo. Parte 2: Determinación de la granulometría de las partículas.

GRÁFICOS GRANULOMÉTRICOS LABORATORIO 82

CONTENIDO LIGANTE POR IGNICION

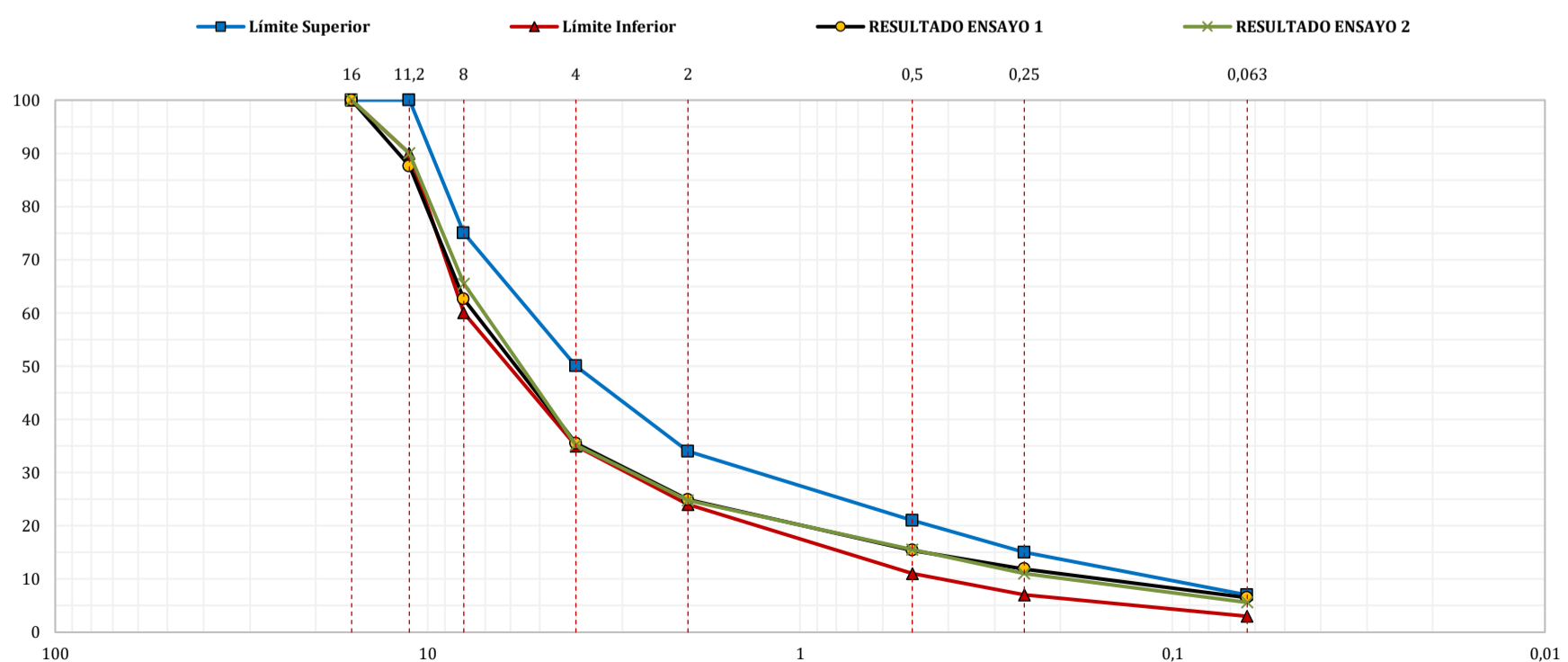
RESULTADOS ENSAYO 1

Abertura Tamiz (mm)	Masa Acumulada (g)	Masa Acumulada (%)	Masa Retenida (g)	Masa Que Pasa (%)	Límite Inferior (%)	Límite Superior (%)
16	0,00	0,0	0,00	100,0	100	100
11,2	167,00	12,4	166,90	87,6	90	100
8	503,00	37,4	336,30	62,6	60	75
4	868,00	64,5	365,30	35,5	35	50
2	1.011,00	75,1	143,30	24,9	24	34
0,5	1.139,00	84,6	127,90	15,4	11	21
0,25	1.185,00	88,1	46,20	11,9	7	15
0,063	1.259,00	93,5	73,50	6,5	3	7

RESULTADOS ENSAYO 2

Abertura Tamiz (mm)	Masa Acumulada (g)	Masa Acumulada (%)	Masa Retenida (g)	Masa Que Pasa (%)	Límite Inferior (%)	Límite Superior (%)
16	0,00	0,0	0,00	100,0	100	100
11,2	137,00	10,0	136,90	90,0	90	100
8	473,00	34,5	336,30	65,5	60	75
4	888,00	64,8	415,30	35,2	35	50
2	1.031,00	75,2	143,30	24,8	24	34
0,5	1.159,00	84,5	127,90	15,5	11	21
0,25	1.220,00	89,0	61,20	11,0	7	15
0,063	1.294,00	94,4	73,50	5,6	3	7

GRÁFICOS ENSAYOS 1 Y 2



Representación gráfica "Abertura del Tamiz (eje X ; representación semilogarítmica ; %) vs Masa Que Pasa (eje Y ; representación lineal ; %)".

ANÁLISIS DE RESULTADOS EILA 22

UNE-EN 12697-2:2015 y UNE-EN 12697-2:2015+A1:2022. Mezclas bituminosas. Métodos de ensayo. Parte 2: Determinación de la granulometría de las partículas.

GRÁFICOS GRANULOMÉTRICOS LABORATORIO 84

CONTENIDO LIGANTE POR IGNICION

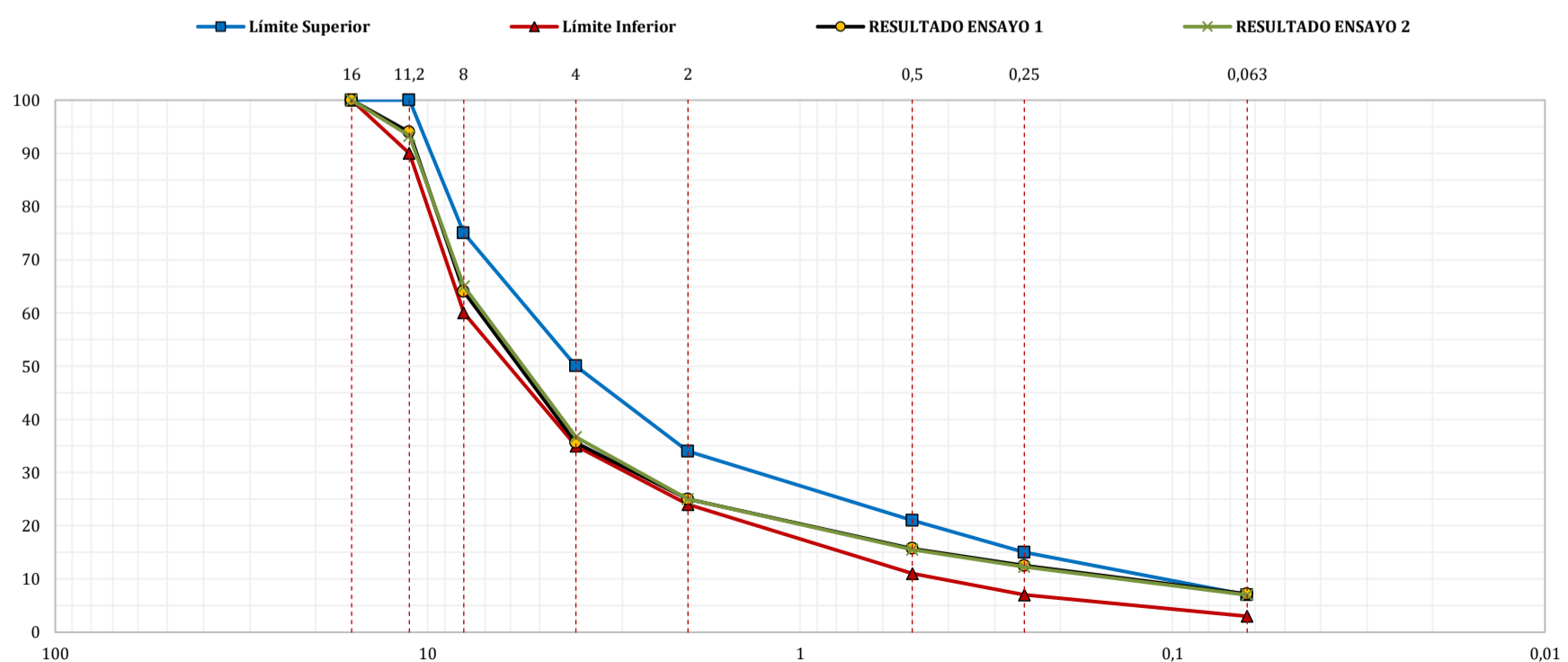
RESULTADOS ENSAYO 1

Abertura Tamiz (mm)	Masa Acumulada (g)	Masa Acumulada (%)	Masa Retenida (g)	Masa Que Pasa (%)	Límite Inferior (%)	Límite Superior (%)
16	0,00	0,0	0,00	100,0	100	100
11,2	71,00	6,0	71,48	94,0	90	100
8	431,29	36,0	359,81	64,0	60	75
4	772,14	64,4	340,85	35,6	35	50
2	899,50	75,0	127,36	25,0	24	34
0,5	1.011,18	84,3	111,68	15,7	11	21
0,25	1.049,00	87,5	37,82	12,5	7	15
0,063	1.113,39	92,8	64,39	7,2	3	7

RESULTADOS ENSAYO 2

Abertura Tamiz (mm)	Masa Acumulada (g)	Masa Acumulada (%)	Masa Retenida (g)	Masa Que Pasa (%)	Límite Inferior (%)	Límite Superior (%)
16	0,00	0,0	0,00	100,0	100	100
11,2	78,43	6,7	78,43	93,3	90	100
8	408,26	35,0	329,83	65,0	60	75
4	738,41	63,3	330,15	36,7	35	50
2	875,14	75,0	136,73	25,0	24	34
0,5	985,42	84,5	110,28	15,5	11	21
0,25	1.022,44	87,7	37,02	12,3	7	15
0,063	1.085,08	93,0	62,64	7,0	3	7

GRÁFICOS ENSAYOS 1 Y 2



Representación gráfica "Abertura del Tamiz (eje X ; representación semilogarítmica ; %) vs Masa Que Pasa (eje Y ; representación lineal ; %)".

ANÁLISIS DE RESULTADOS EILA 22

UNE-EN 12697-2:2015 y UNE-EN 12697-2:2015+A1:2022. Mezclas bituminosas. Métodos de ensayo. Parte 2: Determinación de la granulometría de las partículas.

GRÁFICOS GRANULOMÉTRICOS LABORATORIO 85

CONTENIDO LIGANTE POR IGNICION

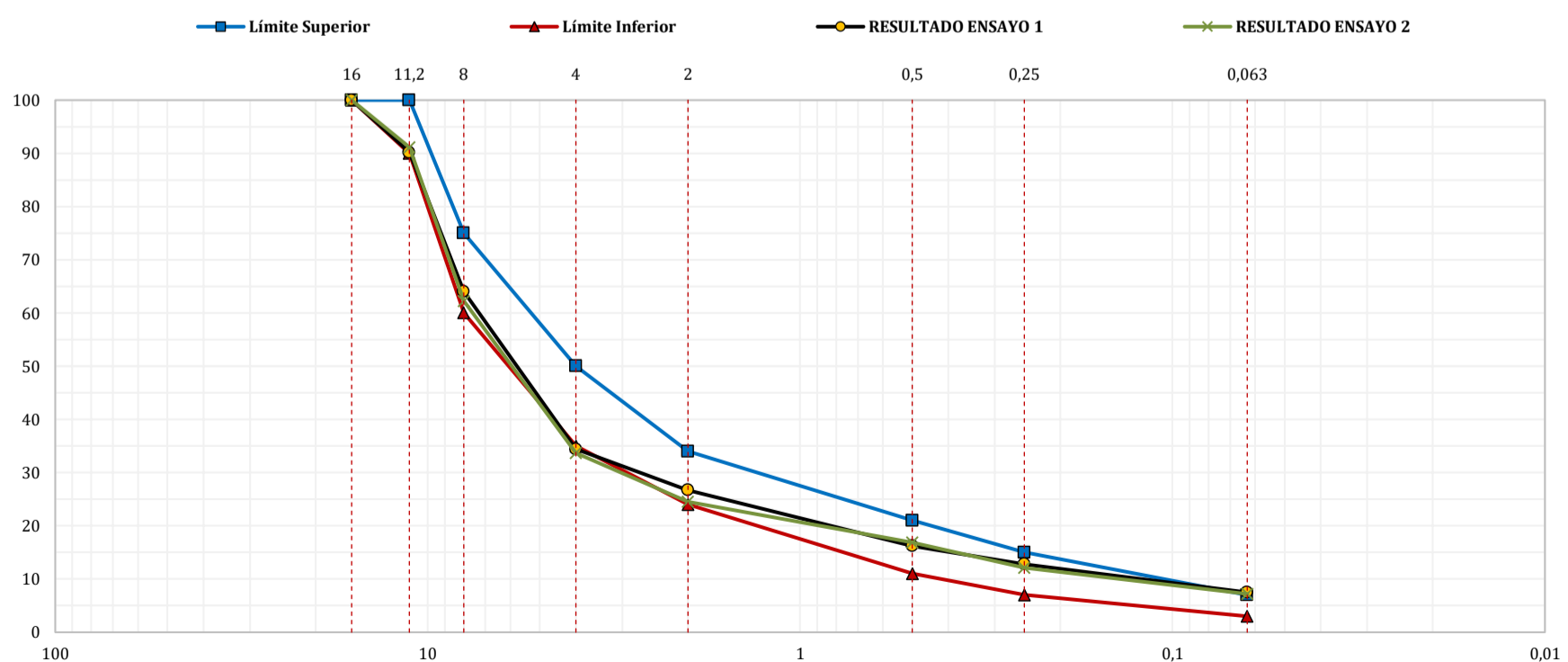
RESULTADOS ENSAYO 1

Abertura Tamiz (mm)	Masa Acumulada (g)	Masa Acumulada (%)	Masa Retenida (g)	Masa Que Pasa (%)	Límite Inferior (%)	Límite Superior (%)
16	0,00	0,0	0,00	100,0	100	100
11,2	184,10	9,8	184,00	90,2	90	100
8	678,40	36,0	494,00	64,0	60	75
4	1.235,70	65,6	558,00	34,4	35	50
2	1.381,00	73,3	145,00	26,7	24	34
0,5	1.578,20	83,8	197,00	16,2	11	21
0,25	1.643,00	87,2	65,00	12,8	7	15
0,063	1.741,50	92,5	99,00	7,5	3	7

RESULTADOS ENSAYO 2

Abertura Tamiz (mm)	Masa Acumulada (g)	Masa Acumulada (%)	Masa Retenida (g)	Masa Que Pasa (%)	Límite Inferior (%)	Límite Superior (%)
16	0,00	0,0	0,00	100,0	100	100
11,2	142,30	8,9	142,00	91,1	90	100
8	603,70	37,8	462,00	62,2	60	75
4	1.058,60	66,3	455,00	33,7	35	50
2	1.205,10	75,5	146,00	24,5	24	34
0,5	1.327,20	83,1	122,00	16,9	11	21
0,25	1.402,90	87,9	76,00	12,1	7	15
0,063	1.481,80	92,8	79,00	7,2	3	7

GRÁFICOS ENSAYOS 1 Y 2



Representación gráfica "Abertura del Tamiz (eje X ; representación semilogarítmica ; %) vs Masa Que Pasa (eje Y ; representación lineal ; %)".

ANÁLISIS DE RESULTADOS EILA 22

UNE-EN 12697-2:2015 y UNE-EN 12697-2:2015+A1:2022. Mezclas bituminosas. Métodos de ensayo. Parte 2: Determinación de la granulometría de las partículas.

GRÁFICOS GRANULOMÉTRICOS LABORATORIO 86

CONTENIDO LIGANTE POR IGNICION

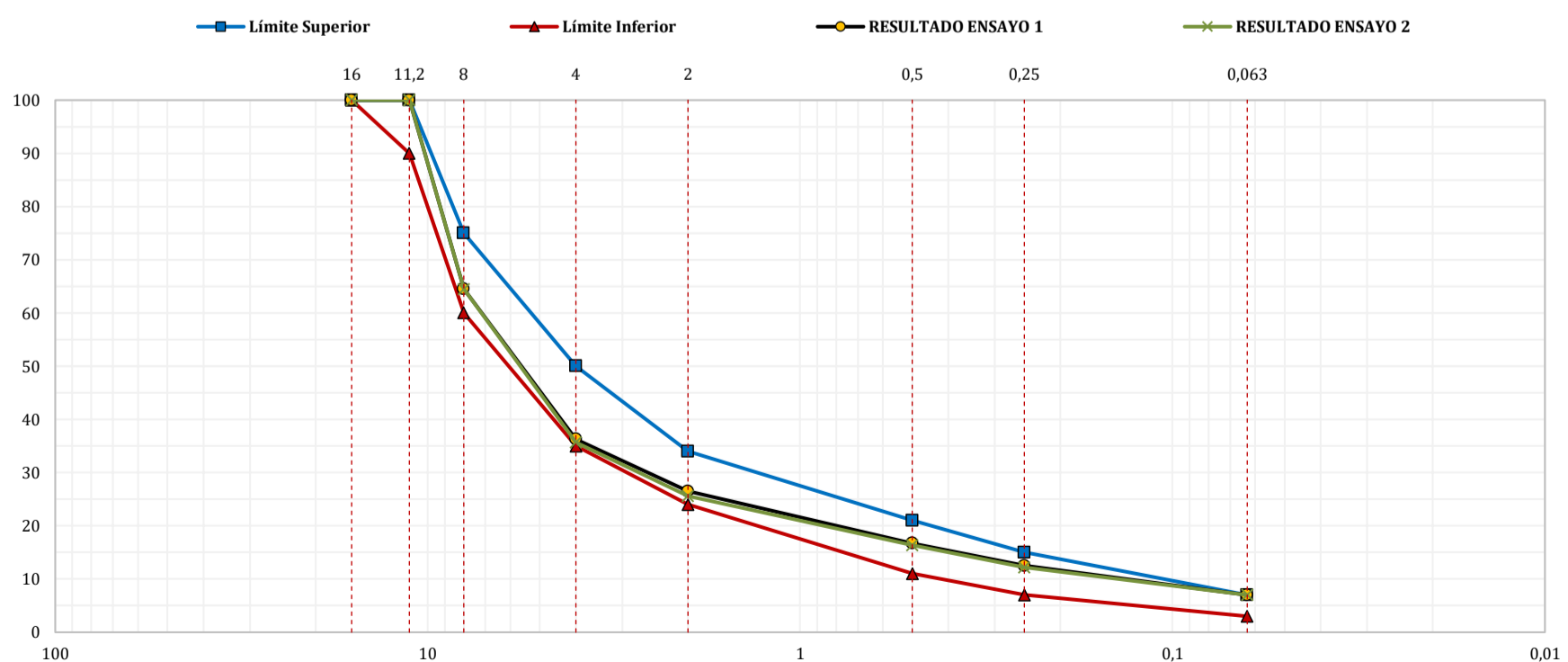
RESULTADOS ENSAYO 1

Abertura Tamiz (mm)	Masa Acumulada (g)	Masa Acumulada (%)	Masa Retenida (g)	Masa Que Pasa (%)	Límite Inferior (%)	Límite Superior (%)
16	0,00	0,0	0,00	100,0	100	100
11,2	0,00	0,0	0,00	100,0	90	100
8	973,80	35,5	973,80	64,5	60	75
4	1.473,90	63,7	770,10	36,3	35	50
2	2.014,20	73,5	270,30	26,5	24	34
0,5	2.281,20	83,3	267,00	16,7	11	21
0,25	2.396,20	87,5	115,00	12,5	7	15
0,063	2.548,40	93,0	152,00	7,0	3	7

RESULTADOS ENSAYO 2

Abertura Tamiz (mm)	Masa Acumulada (g)	Masa Acumulada (%)	Masa Retenida (g)	Masa Que Pasa (%)	Límite Inferior (%)	Límite Superior (%)
16	0,00	0,0	0,00	100,0	100	100
11,2	0,00	0,0	0,00	100,0	90	100
8	432,50	35,5	432,50	64,5	60	75
4	784,80	64,3	352,30	35,7	35	50
2	907,10	74,4	122,30	25,6	24	34
0,5	1.019,60	83,6	112,50	16,4	11	21
0,25	1.070,80	87,8	51,20	12,2	7	15
0,063	1.134,30	93,0	63,30	7,0	3	7

GRÁFICOS ENSAYOS 1 Y 2



Representación gráfica "Abertura del Tamiz (eje X ; representación semilogarítmica ; %) vs Masa Que Pasa (eje Y ; representación lineal ; %)".

ANÁLISIS DE RESULTADOS EILA 22

UNE-EN 12697-2:2015 y UNE-EN 12697-2:2015+A1:2022. Mezclas bituminosas. Métodos de ensayo. Parte 2: Determinación de la granulometría de las partículas.

GRÁFICOS GRANULOMÉTRICOS LABORATORIO 97

CONTENIDO LIGANTE POR IGNICION

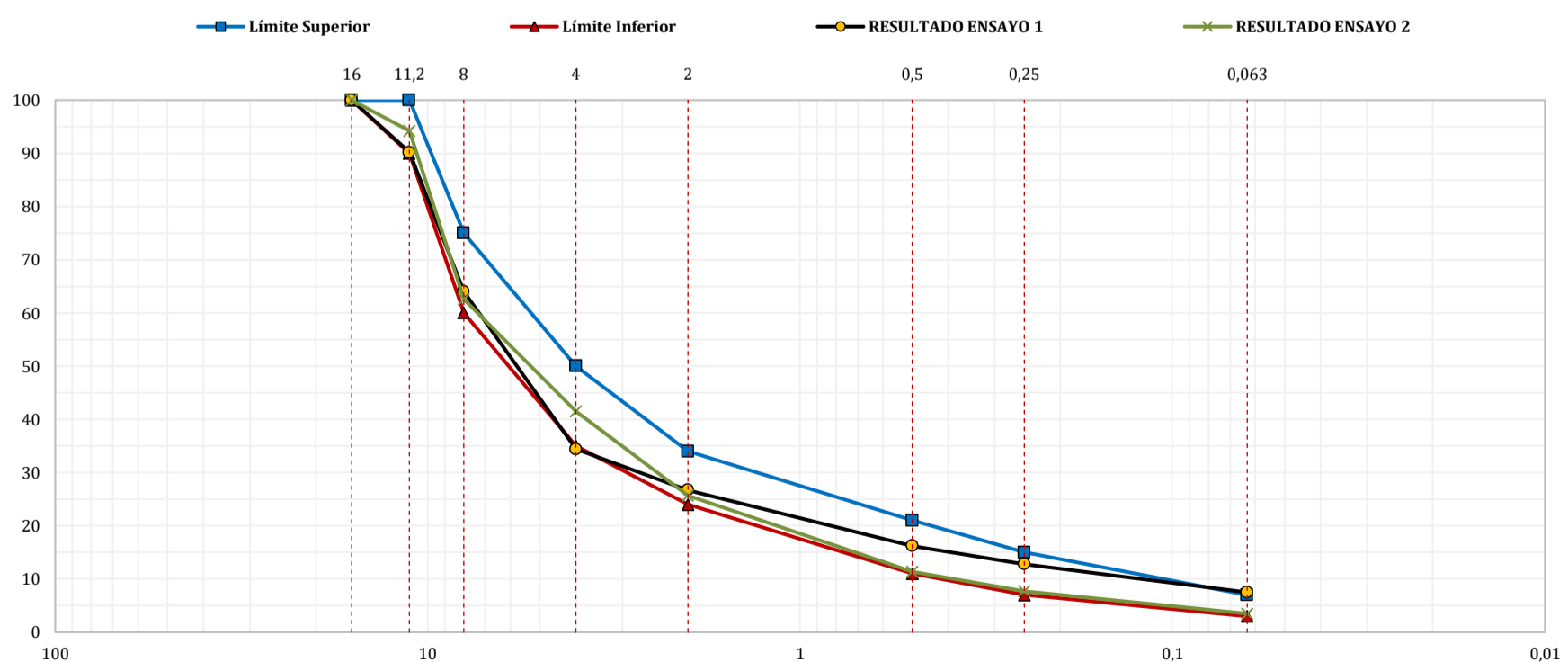
RESULTADOS ENSAYO 1

Abertura Tamiz (mm)	Masa Acumulada (g)	Masa Acumulada (%)	Masa Retenida (g)	Masa Que Pasa (%)	Límite Inferior (%)	Límite Superior (%)
16	0,00	0,0	0,00	100,0	100	100
11,2	184,10	9,8	184,00	90,2	90	100
8	678,40	36,0	494,00	64,0	60	75
4	1.235,70	65,6	558,00	34,4	35	50
2	1.381,00	73,3	145,00	26,7	24	34
0,5	1.578,20	83,8	197,00	16,2	11	21
0,25	1.643,00	87,2	65,00	12,8	7	15
0,063	1.741,50	92,5	99,00	7,5	3	7

RESULTADOS ENSAYO 2

Abertura Tamiz (mm)	Masa Acumulada (g)	Masa Acumulada (%)	Masa Retenida (g)	Masa Que Pasa (%)	Límite Inferior (%)	Límite Superior (%)
16	0,00	0,0	0,00	100,0	100	100
11,2	110,00	0,0	142,00	94,2	90	100
8	710,00	0,0	462,00	62,6	60	75
4	1.110,00	0,0	455,00	41,5	35	50
2	1.410,00	0,0	146,00	25,7	24	34
0,5	1.680,00	0,0	122,00	11,4	11	21
0,25	1.750,00	0,0	76,00	7,7	7	15
0,063	1.830,00	0,0	79,00	3,5	3	7

GRÁFICOS ENSAYOS 1 Y 2



Representación gráfica "Abertura del Tamiz (eje X ; representación semilogarítmica ; %) vs Masa Que Pasa (eje Y ; representación lineal ; %)".

ANÁLISIS DE RESULTADOS EILA 22

UNE-EN 12697-2:2015 y UNE-EN 12697-2:2015+A1:2022. Mezclas bituminosas. Métodos de ensayo. Parte 2: Determinación de la granulometría de las partículas.

GRÁFICOS GRANULOMÉTRICOS LABORATORIO 99

CONTENIDO LIGANTE POR IGNICION

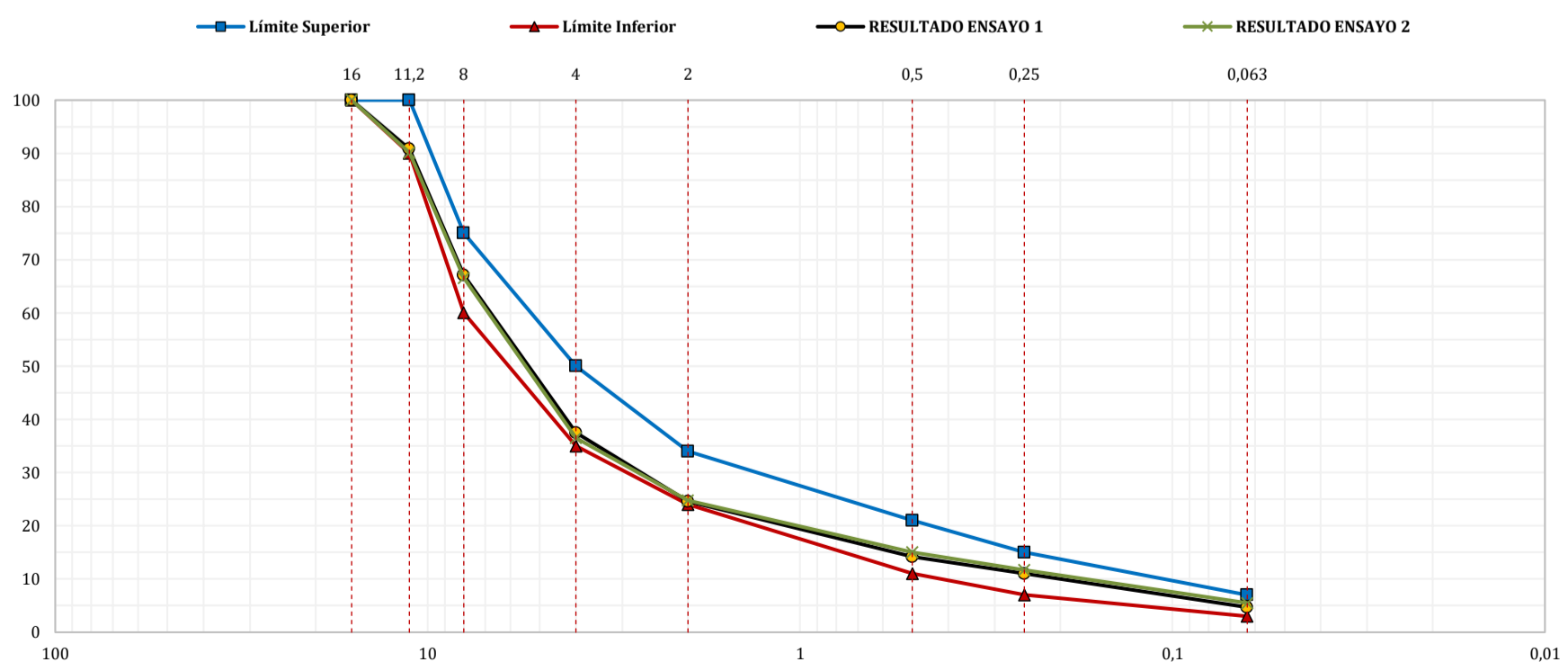
RESULTADOS ENSAYO 1

Abertura Tamiz (mm)	Masa Acumulada (g)	Masa Acumulada (%)	Masa Retenida (g)	Masa Que Pasa (%)	Límite Inferior (%)	Límite Superior (%)
16	0,00	0,0	0,00	100,0	100	100
11,2	112,10	9,1	112,10	90,8	90	100
8	402,11	32,8	290,00	67,1	60	75
4	762,40	62,1	360,00	37,5	35	50
2	920,00	75,0	157,00	24,6	24	34
0,5	1.047,00	85,3	127,00	14,2	11	21
0,25	1.085,80	88,5	38,00	11,0	7	15
0,063	1.162,50	94,8	76,68	4,7	3	7

RESULTADOS ENSAYO 2

Abertura Tamiz (mm)	Masa Acumulada (g)	Masa Acumulada (%)	Masa Retenida (g)	Masa Que Pasa (%)	Límite Inferior (%)	Límite Superior (%)
16	0,00	0,0	0,00	100,0	100	100
11,2	122,00	9,9	122,00	90,1	90	100
8	409,00	33,3	287,00	66,6	60	75
4	779,00	63,3	370,00	36,5	35	50
2	923,00	75,0	144,00	24,8	24	34
0,5	1.044,00	84,9	121,30	15,0	11	21
0,25	1.086,00	88,3	42,00	11,7	7	15
0,063	1.162,00	94,5	76,00	5,5	3	7

GRÁFICOS ENSAYOS 1 Y 2



Representación gráfica "Abertura del Tamiz (eje X ; representación semilogarítmica ; %) vs Masa Que Pasa (eje Y ; representación lineal ; %)".

ANÁLISIS DE RESULTADOS EILA 22

UNE-EN 12697-2:2015 y UNE-EN 12697-2:2015+A1:2022. Mezclas bituminosas. Métodos de ensayo. Parte 2: Determinación de la granulometría de las partículas.

GRÁFICOS GRANULOMÉTRICOS LABORATORIO 100

CONTENIDO LIGANTE POR IGNICION

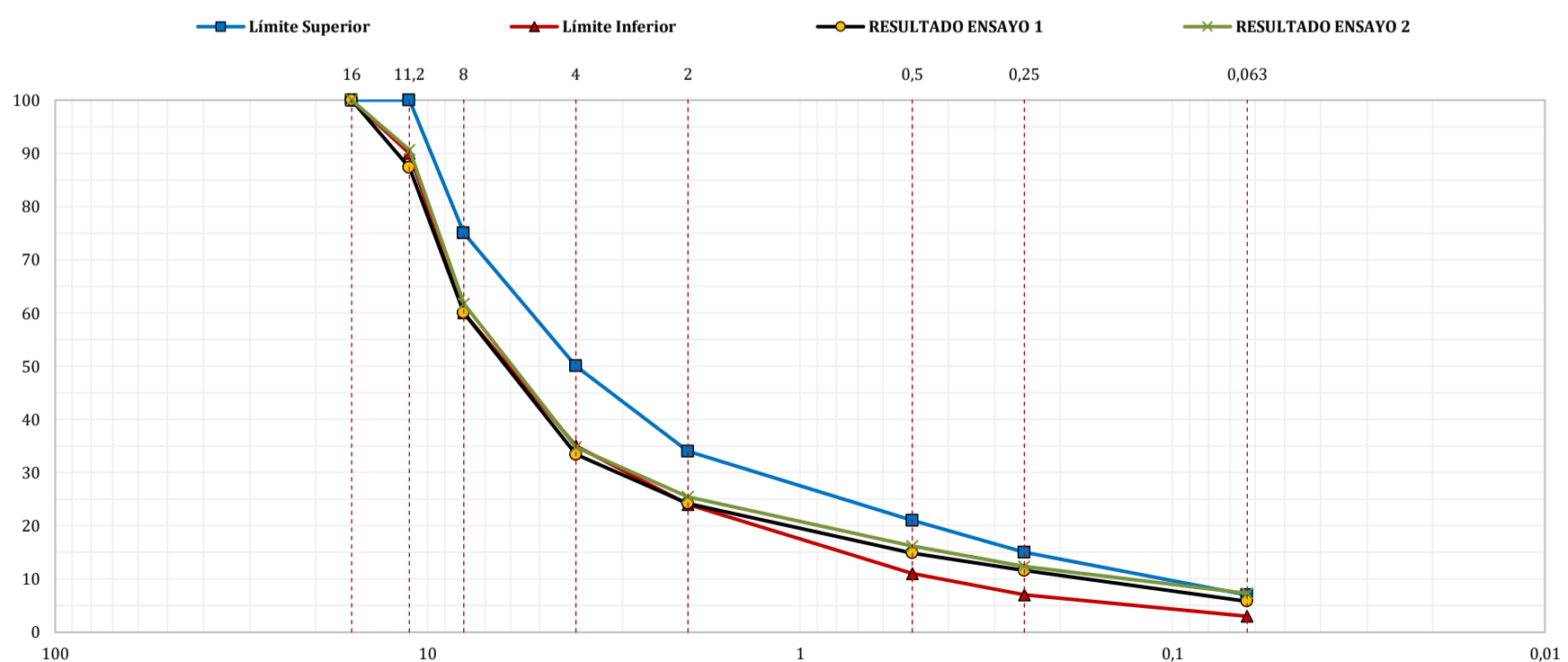
RESULTADOS ENSAYO 1

Abertura Tamiz (mm)	Masa Acumulada (g)	Masa Acumulada (%)	Masa Retenida (g)	Masa Que Pasa (%)	Límite Inferior (%)	Límite Superior (%)
16	0,00	0,0	0,00	100,0	100	100
11,2	212,00	12,7	212,00	87,3	90	100
8	667,00	40,0	455,00	60,0	60	75
4	1.111,00	66,6	444,00	33,4	35	50
2	1.265,00	75,8	154,00	24,2	24	34
0,5	1.439,00	85,1	171,00	14,9	11	21
0,25	1.474,00	88,4	35,00	11,6	7	15
0,063	1.571,00	94,2	97,00	5,8	3	7

RESULTADOS ENSAYO 2

Abertura Tamiz (mm)	Masa Acumulada (g)	Masa Acumulada (%)	Masa Retenida (g)	Masa Que Pasa (%)	Límite Inferior (%)	Límite Superior (%)
16	0,00	0,0	0,00	100,0	100	100
11,2	138,00	9,4	138,00	90,6	90	100
8	562,00	38,3	424,00	61,7	60	75
4	956,00	65,2	394,00	34,8	35	50
2	1.095,00	74,6	139,00	25,4	24	34
0,5	1.230,00	83,8	135,00	16,2	11	21
0,25	1.285,00	87,6	55,00	12,4	7	15
0,063	1.360,00	92,7	75,00	7,3	3	7

GRÁFICOS ENSAYOS 1 Y 2



Representación gráfica "Abertura del Tamiz (eje X ; representación semilogarítmica ; %) vs Masa Que Pasa (eje Y ; representación lineal ; %)".

ANÁLISIS DE RESULTADOS EILA 22

UNE-EN 12697-2:2015 y UNE-EN 12697-2:2015+A1:2022. Mezclas bituminosas. Métodos de ensayo. Parte 2: Determinación de la granulometría de las partículas.

GRÁFICOS GRANULOMÉTRICOS LABORATORIO 102

CONTENIDO LIGANTE POR IGNICION

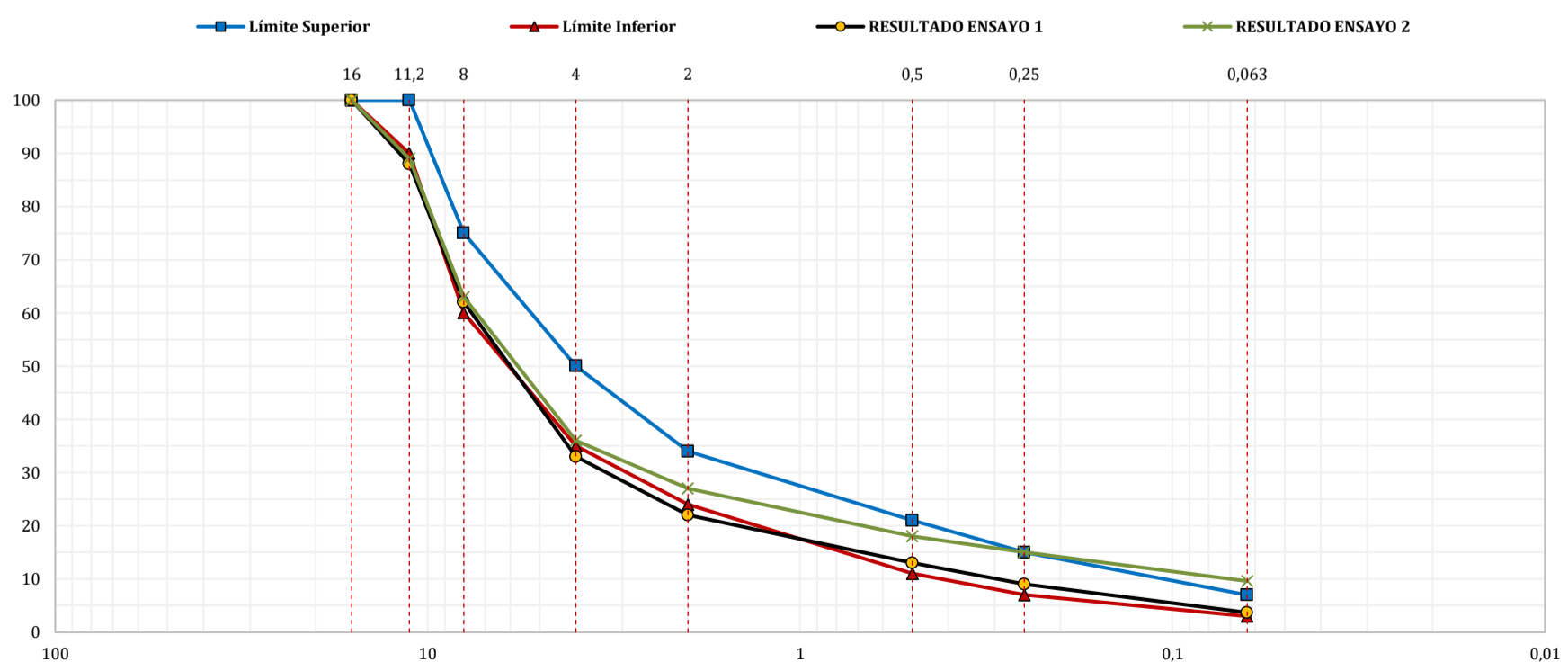
RESULTADOS ENSAYO 1

Abertura Tamiz (mm)	Masa Acumulada (g)	Masa Acumulada (%)	Masa Retenida (g)	Masa Que Pasa (%)	Límite Inferior (%)	Límite Superior (%)
16	0,00	0,0	0,00	100,0	100	100
11,2	171,70	1,0	172,00	88,0	90	100
8	543,30	38,0	371,00	62,0	60	75
4	968,30	67,0	425,00	33,0	35	50
2	1.124,30	78,0	156,00	22,0	24	34
0,5	1.260,60	87,0	137,00	13,0	11	21
0,25	1.307,00	91,0	46,00	9,0	7	15
0,063	1.390,50	96,3	8,40	3,7	3	7

RESULTADOS ENSAYO 2

Abertura Tamiz (mm)	Masa Acumulada (g)	Masa Acumulada (%)	Masa Retenida (g)	Masa Que Pasa (%)	Límite Inferior (%)	Límite Superior (%)
16	0,00	0,0	0,00	100,0	100	100
11,2	160,50	11,0	160,50	89,0	90	100
8	547,20	37,0	386,70	63,0	60	75
4	651,10	64,0	403,90	36,0	35	50
2	1.094,30	73,0	143,20	27,0	24	34
0,5	1.223,50	82,0	129,20	18,0	11	21
0,25	1.270,20	85,0	46,70	15,0	7	15
0,063	1.349,10	90,4	79,90	9,6	3	7

GRÁFICOS ENSAYOS 1 Y 2



Representación gráfica "Abertura del Tamiz (eje X ; representación semilogarítmica ; %) vs Masa Que Pasa (eje Y ; representación lineal ; %)".

ANÁLISIS DE RESULTADOS EILA 22

UNE-EN 12697-2:2015 y UNE-EN 12697-2:2015+A1:2022. Mezclas bituminosas. Métodos de ensayo. Parte 2: Determinación de la granulometría de las partículas.

GRÁFICOS GRANULOMÉTRICOS LABORATORIO 107

CONTENIDO LIGANTE POR IGNICION

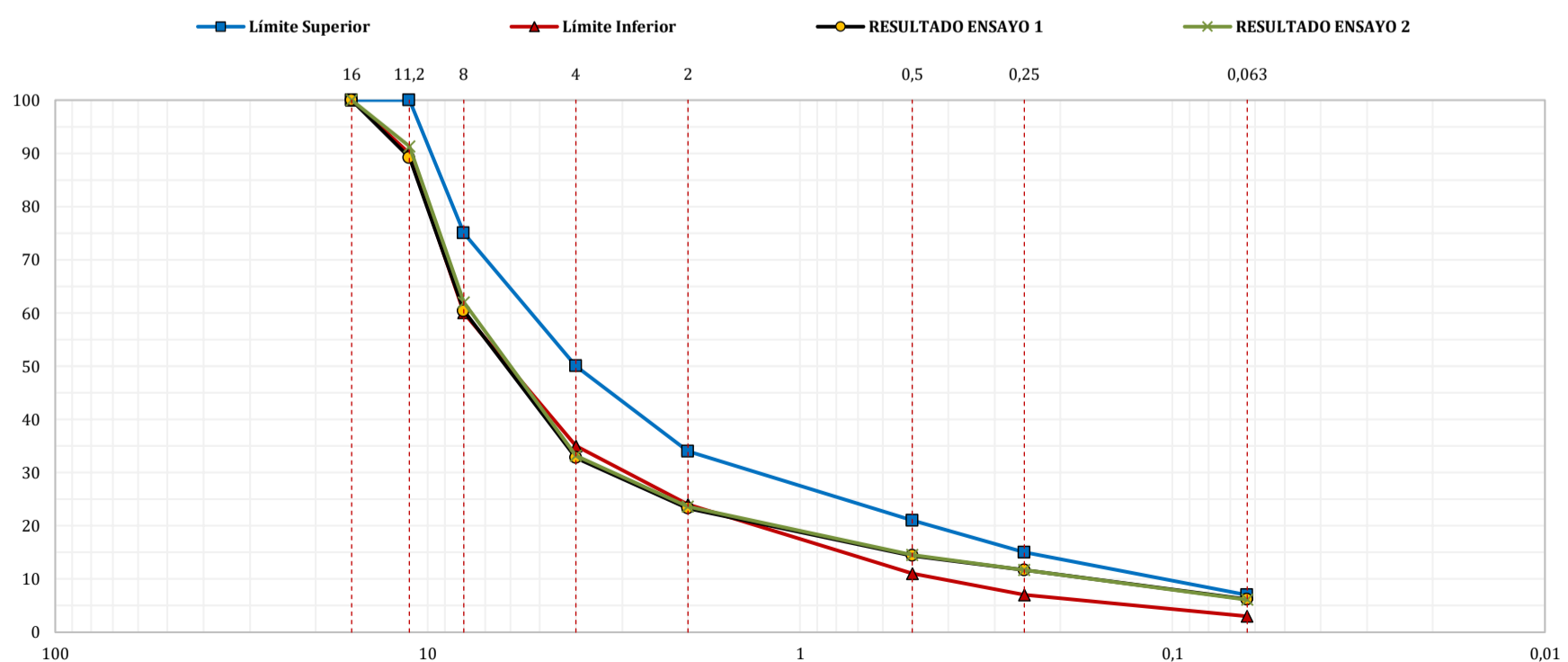
RESULTADOS ENSAYO 1

Abertura Tamiz (mm)	Masa Acumulada (g)	Masa Acumulada (%)	Masa Retenida (g)	Masa Que Pasa (%)	Límite Inferior (%)	Límite Superior (%)
16	0,00	0,0	0,00	100,0	100	100
11,2	166,00	10,8	166,00	89,2	90	100
8	609,10	39,6	443,00	60,4	60	75
4	1.034,00	67,2	409,00	32,8	35	50
2	1.180,00	76,7	146,00	23,3	24	34
0,5	1.316,00	85,6	136,00	14,4	11	21
0,25	1.358,00	88,3	42,00	11,7	7	15
0,063	1.442,00	93,8	84,00	6,2	3	7

RESULTADOS ENSAYO 2

Abertura Tamiz (mm)	Masa Acumulada (g)	Masa Acumulada (%)	Masa Retenida (g)	Masa Que Pasa (%)	Límite Inferior (%)	Límite Superior (%)
16	0,00	0,0	0,00	100,0	100	100
11,2	133,00	8,7	133,00	91,3	90	100
8	580,00	38,0	447,00	62,0	60	75
4	1.019,00	66,8	439,00	33,2	35	50
2	1.165,00	76,4	146,00	23,6	24	34
0,5	1.305,00	85,5	140,00	14,5	11	21
0,25	1.347,00	88,3	42,00	11,7	7	15
0,063	1.432,00	93,9	85,00	6,1	3	7

GRÁFICOS ENSAYOS 1 Y 2



Representación gráfica "Abertura del Tamiz (eje X ; representación semilogarítmica ; %) vs Masa Que Pasa (eje Y ; representación lineal ; %)".

ANÁLISIS DE RESULTADOS EILA 22

UNE-EN 12697-2:2015 y UNE-EN 12697-2:2015+A1:2022. Mezclas bituminosas. Métodos de ensayo. Parte 2: Determinación de la granulometría de las partículas.

GRÁFICOS GRANULOMÉTRICOS LABORATORIO 108

CONTENIDO LIGANTE POR IGNICION

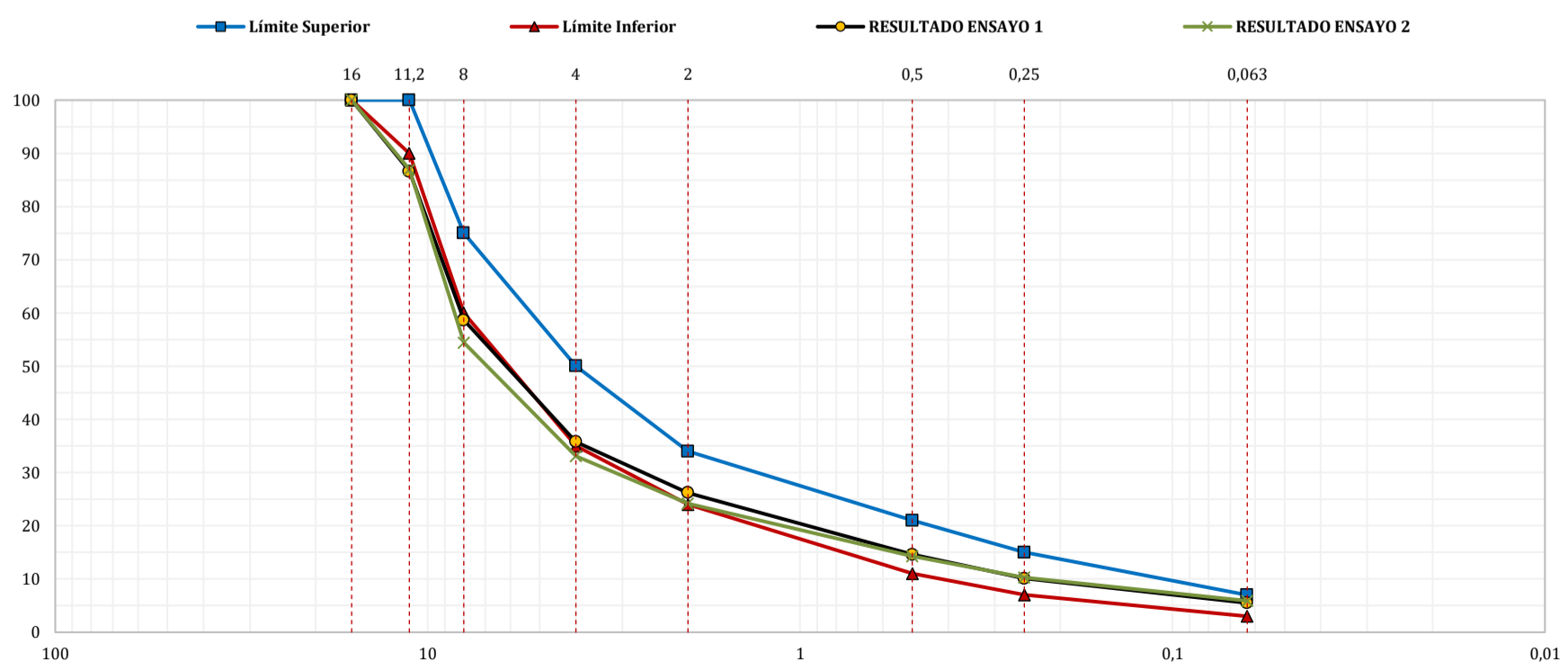
RESULTADOS ENSAYO 1

Abertura Tamiz (mm)	Masa Acumulada (g)	Masa Acumulada (%)	Masa Retenida (g)	Masa Que Pasa (%)	Límite Inferior (%)	Límite Superior (%)
16	0,00	0,0	0,00	100,0	100	100
11,2	210,50	13,4	210,50	86,6	90	100
8	350,70	41,4	440,20	58,6	60	75
4	1.009,70	64,2	359,00	35,8	35	50
2	1.160,80	73,8	151,10	26,2	24	34
0,5	1.343,10	85,4	182,30	14,6	11	21
0,25	1.413,60	89,9	70,50	10,1	7	15
0,063	1.486,10	94,5	72,50	5,5	3	7

RESULTADOS ENSAYO 2

Abertura Tamiz (mm)	Masa Acumulada (g)	Masa Acumulada (%)	Masa Retenida (g)	Masa Que Pasa (%)	Límite Inferior (%)	Límite Superior (%)
16	0,00	0,0	0,00	100,0	100	100
11,2	229,50	13,1	229,50	87,0	90	100
8	802,20	45,6	572,70	54,4	60	75
4	1.176,50	66,9	374,30	33,1	35	50
2	1.333,10	75,8	156,60	24,2	24	34
0,5	1.507,00	85,7	173,90	14,3	11	21
0,25	1.576,90	89,7	69,90	10,3	7	15
0,063	1.654,40	94,1	77,50	5,9	3	7

GRÁFICOS ENSAYOS 1 Y 2



Representación gráfica "Abertura del Tamiz (eje X ; representación semilogarítmica ; %) vs Masa Que Pasa (eje Y ; representación lineal ; %)".

ANÁLISIS DE RESULTADOS EILA 22

UNE-EN 12697-2:2015 y UNE-EN 12697-2:2015+A1:2022. Mezclas bituminosas. Métodos de ensayo. Parte 2: Determinación de la granulometría de las partículas.

GRÁFICOS GRANULOMÉTRICOS LABORATORIO 110

CONTENIDO LIGANTE POR IGNICION

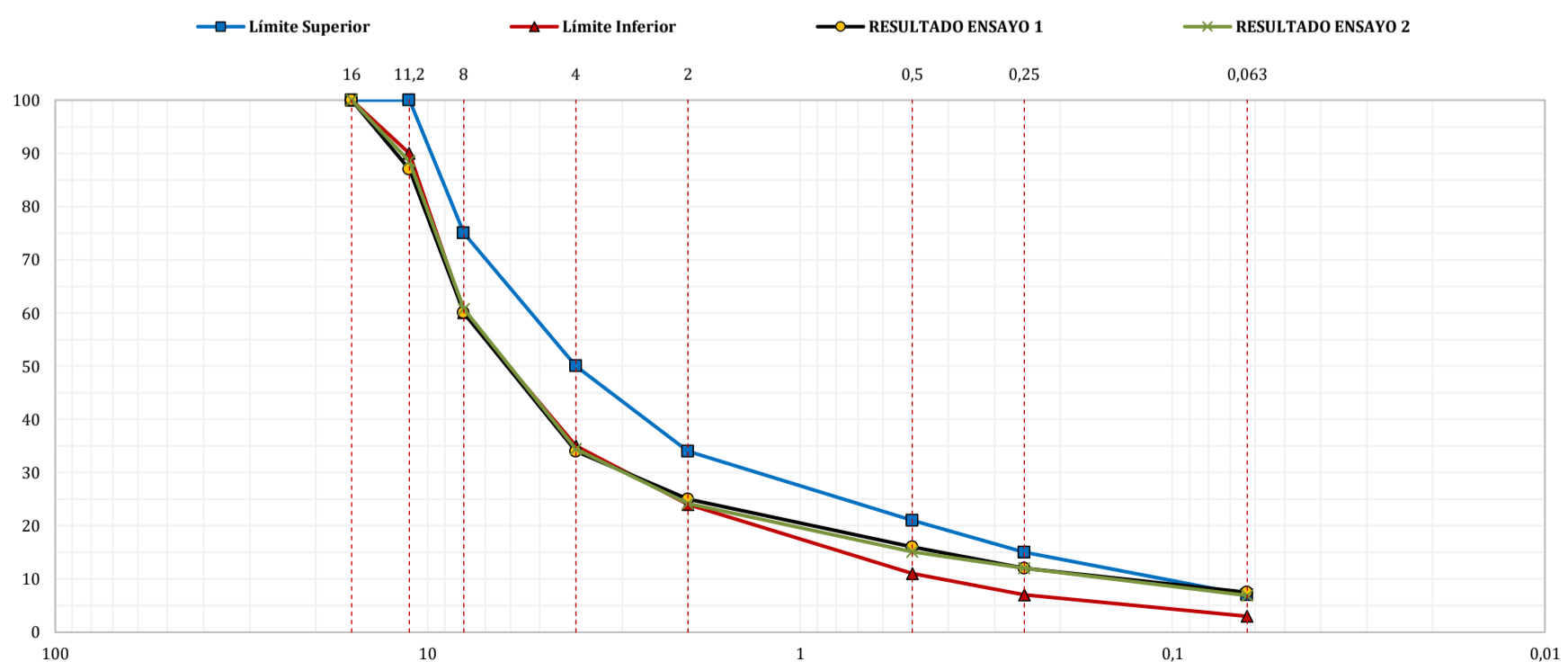
RESULTADOS ENSAYO 1

Abertura Tamiz (mm)	Masa Acumulada (g)	Masa Acumulada (%)	Masa Retenida (g)	Masa Que Pasa (%)	Límite Inferior (%)	Límite Superior (%)
16	0,00	0,0	0,00	100,0	100	100
11,2	152,00	12,6	152,00	87,0	90	100
8	484,70	40,3	332,80	60,0	60	75
4	789,50	65,6	304,80	34,0	35	50
2	904,90	75,2	115,40	25,0	24	34
0,5	1.016,60	84,5	111,70	16,0	11	21
0,25	1.053,80	87,6	37,20	12,0	7	15
0,063	1.113,50	92,5	59,70	7,5	3	7

RESULTADOS ENSAYO 2

Abertura Tamiz (mm)	Masa Acumulada (g)	Masa Acumulada (%)	Masa Retenida (g)	Masa Que Pasa (%)	Límite Inferior (%)	Límite Superior (%)
16	0,00	0,0	0,00	100,0	100	100
11,2	136,70	11,5	136,70	88,5	90	100
8	468,10	39,3	331,40	60,7	60	75
4	782,00	65,6	313,90	34,4	35	50
2	903,40	75,8	121,30	24,2	24	34
0,5	1.012,10	84,9	108,70	15,1	11	21
0,25	1.048,60	88,0	36,50	12,0	7	15
0,063	1.110,20	93,1	61,60	6,9	3	7

GRÁFICOS ENSAYOS 1 Y 2



Representación gráfica "Abertura del Tamiz (eje X ; representación semilogarítmica ; %) vs Masa Que Pasa (eje Y ; representación lineal ; %)".

ANÁLISIS DE RESULTADOS EILA 22

UNE-EN 12697-2:2015 y UNE-EN 12697-2:2015+A1:2022. Mezclas bituminosas. Métodos de ensayo. Parte 2: Determinación de la granulometría de las partículas.

GRÁFICOS GRANULOMÉTRICOS LABORATORIO 114

CONTENIDO LIGANTE POR IGNICION

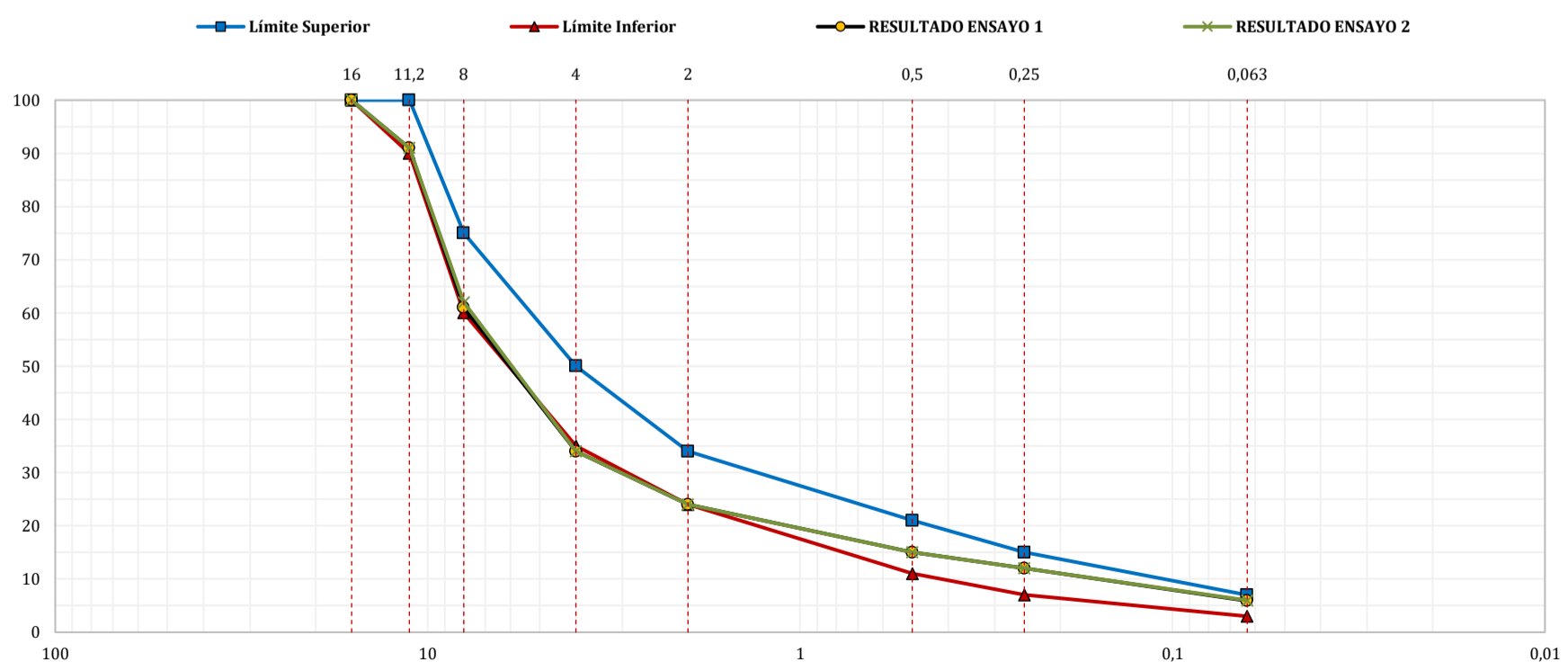
RESULTADOS ENSAYO 1

Abertura Tamiz (mm)	Masa Acumulada (g)	Masa Acumulada (%)	Masa Retenida (g)	Masa Que Pasa (%)	Límite Inferior (%)	Límite Superior (%)
16	-	-	-	100,0	100	100
11,2	176,60	9,2	176,60	91,0	90	100
8	798,90	39,0	572,30	61,0	60	75
4	1.269,70	66,0	520,80	34,0	35	50
2	1.457,60	75,8	187,90	24,0	24	34
0,5	1.637,40	85,2	179,80	15,0	11	21
0,25	1.698,40	88,3	61,00	12,0	7	15
0,063	1.808,60	94,1	110,20	5,9	3	7

RESULTADOS ENSAYO 2

Abertura Tamiz (mm)	Masa Acumulada (g)	Masa Acumulada (%)	Masa Retenida (g)	Masa Que Pasa (%)	Límite Inferior (%)	Límite Superior (%)
16	-	-	-	100,0	100	100
11,2	175,00	9,1	175,00	91,0	90	100
8	730,30	38,1	555,30	62,0	60	75
4	1.258,40	65,7	528,10	34,0	35	50
2	1.455,30	76,0	196,90	24,0	24	34
0,5	1.635,00	85,4	179,70	15,0	11	21
0,25	1.687,10	88,1	52,10	12,0	7	15
0,063	1.800,00	94,0	112,90	6,0	3	7

GRÁFICOS ENSAYOS 1 Y 2



Representación gráfica "Abertura del Tamiz (eje X ; representación semilogarítmica ; %) vs Masa Que Pasa (eje Y ; representación lineal ; %)".

ANÁLISIS DE RESULTADOS EILA 22

UNE-EN 12697-2:2015 y UNE-EN 12697-2:2015+A1:2022. Mezclas bituminosas. Métodos de ensayo. Parte 2: Determinación de la granulometría de las partículas.

GRÁFICOS GRANULOMÉTRICOS LABORATORIO 117

CONTENIDO LIGANTE POR IGNICION

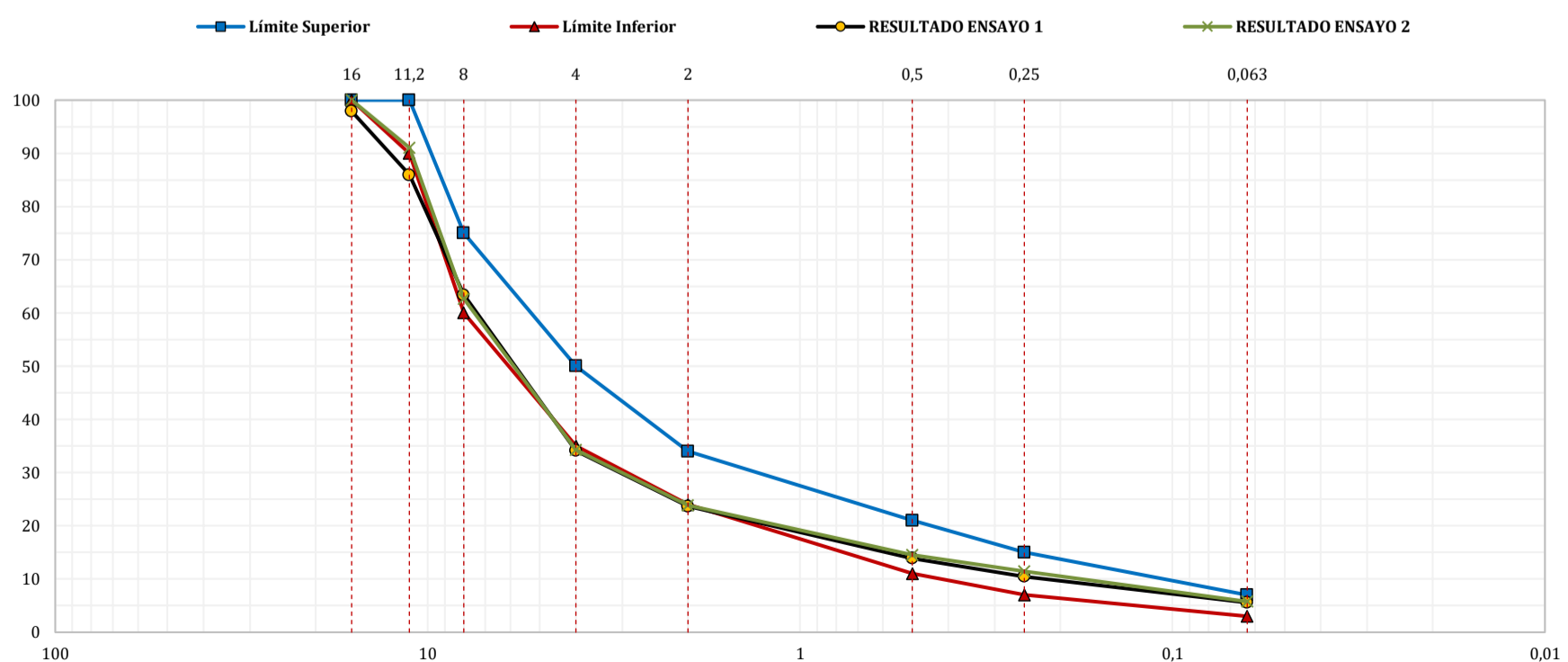
RESULTADOS ENSAYO 1

Abertura Tamiz (mm)	Masa Acumulada (g)	Masa Acumulada (%)	Masa Retenida (g)	Masa Que Pasa (%)	Límite Inferior (%)	Límite Superior (%)
16	23,84	2,1	10,88	97,9	100	100
11,2	158,45	14,1	134,61	86,0	90	100
8	412,92	36,6	254,47	63,4	60	75
4	742,92	65,9	330,00	34,1	35	50
2	860,87	76,3	117,95	23,7	24	34
0,5	971,51	86,1	110,64	13,9	11	21
0,25	1.009,69	89,5	38,18	10,5	7	15
0,063	1.065,07	94,4	55,38	5,6	3	7

RESULTADOS ENSAYO 2

Abertura Tamiz (mm)	Masa Acumulada (g)	Masa Acumulada (%)	Masa Retenida (g)	Masa Que Pasa (%)	Límite Inferior (%)	Límite Superior (%)
16	0,00	0,0	0,00	100,0	100	100
11,2	101,11	9,0	101,11	91,0	90	100
8	421,16	37,3	320,05	62,7	60	75
4	741,78	65,8	320,62	34,2	35	50
2	858,43	76,1	116,65	23,9	24	34
0,5	963,48	85,4	105,05	14,6	11	21
0,25	999,01	88,6	35,53	11,4	7	15
0,063	1.062,88	94,2	63,87	5,8	3	7

GRÁFICOS ENSAYOS 1 Y 2



Representación gráfica "Abertura del Tamiz (eje X ; representación semilogarítmica ; %) vs Masa Que Pasa (eje Y ; representación lineal ; %)".

ANÁLISIS DE RESULTADOS EILA 22

UNE-EN 12697-2:2015 y UNE-EN 12697-2:2015+A1:2022. Mezclas bituminosas. Métodos de ensayo. Parte 2: Determinación de la granulometría de las partículas.

GRÁFICOS GRANULOMÉTRICOS LABORATORIO 118

CONTENIDO LIGANTE POR IGNICION

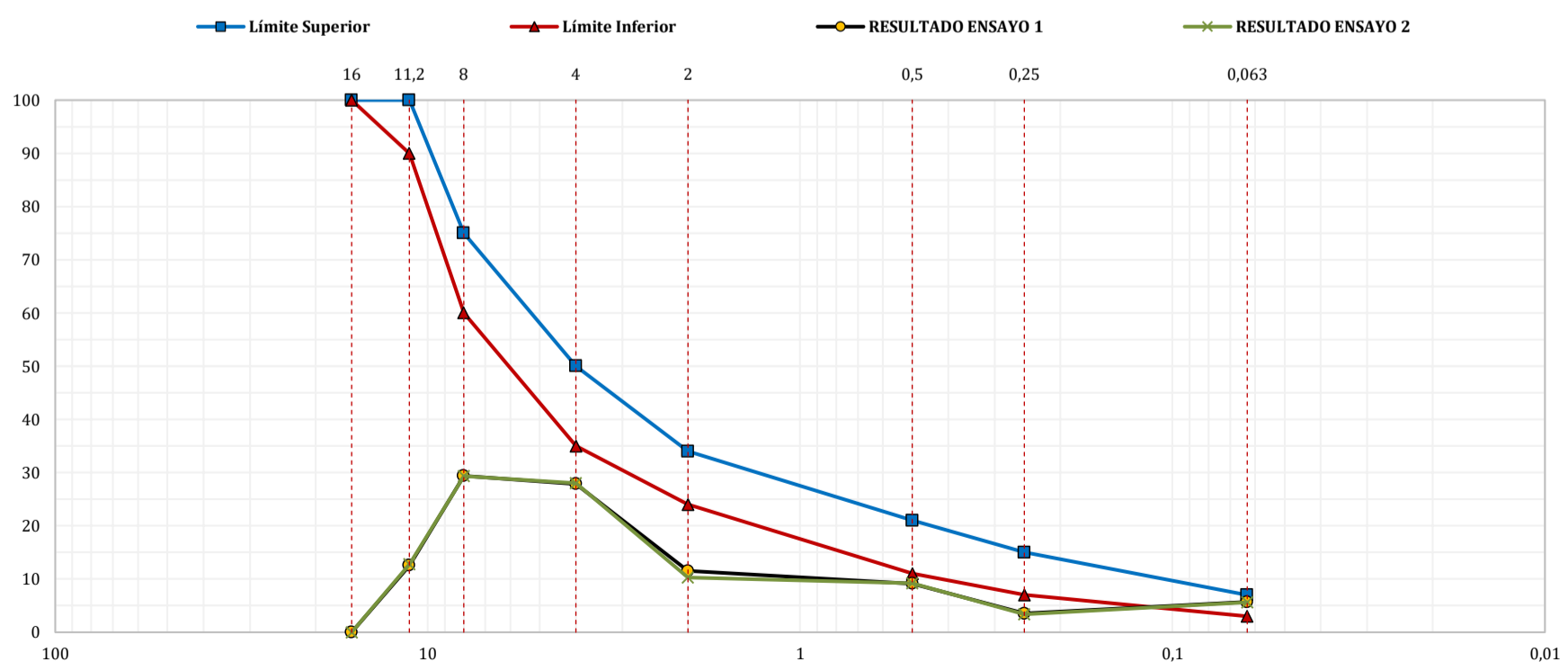
RESULTADOS ENSAYO 1

Abertura Tamiz (mm)	Masa Acumulada (g)	Masa Acumulada (%)	Masa Retenida (g)	Masa Que Pasa (%)	Límite Inferior (%)	Límite Superior (%)
16	0,00	0,0	0,00	0,0	100	100
11,2	243,00	12,6	243,00	12,6	90	100
8	812,00	41,9	569,00	29,4	60	75
4	1.352,00	69,8	540,00	27,9	35	50
2	1.575,00	81,4	223,00	11,5	24	34
0,5	1.752,00	90,5	177,00	9,1	11	21
0,25	1.820,00	94,0	68,00	3,5	7	15
0,063	1.930,00	99,7	110,00	5,7	3	7

RESULTADOS ENSAYO 2

Abertura Tamiz (mm)	Masa Acumulada (g)	Masa Acumulada (%)	Masa Retenida (g)	Masa Que Pasa (%)	Límite Inferior (%)	Límite Superior (%)
16	0,00	0,0	0,00	0,0	100	100
11,2	262,00	13,8	243,00	12,8	90	100
8	818,00	43,2	556,00	29,3	60	75
4	1.349,00	71,2	531,00	28,0	35	50
2	1.544,00	81,5	195,00	10,3	24	34
0,5	1.718,00	90,7	174,00	9,2	11	21
0,25	1.782,00	94,0	64,00	3,4	7	15
0,063	1.888,00	99,6	106,00	5,6	3	7

GRÁFICOS ENSAYOS 1 Y 2



Representación gráfica "Abertura del Tamiz (eje X ; representación semilogarítmica ; %) vs Masa Que Pasa (eje Y ; representación lineal ; %)".

ANÁLISIS DE RESULTADOS EILA 22

UNE-EN 12697-2:2015 y UNE-EN 12697-2:2015+A1:2022. Mezclas bituminosas. Métodos de ensayo. Parte 2: Determinación de la granulometría de las partículas.

GRÁFICOS GRANULOMÉTRICOS LABORATORIO 121

CONTENIDO LIGANTE POR IGNICION

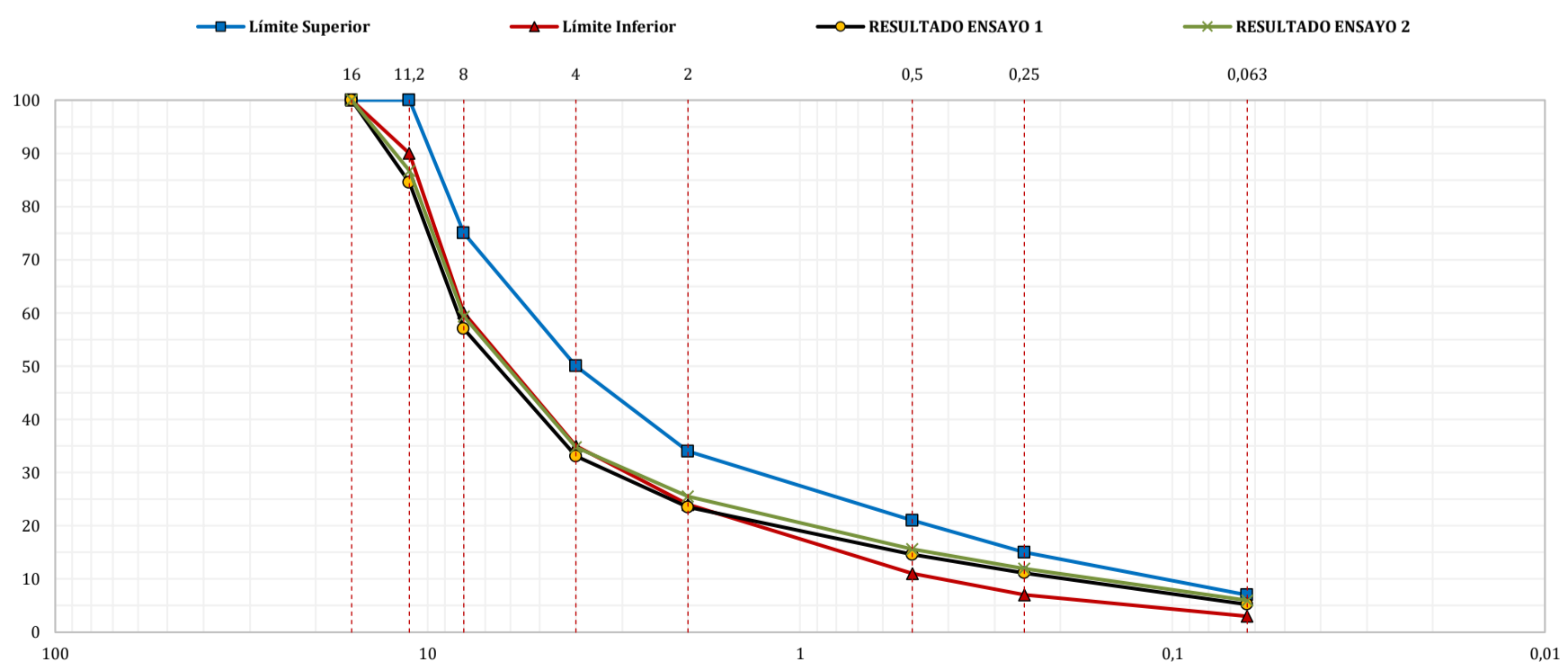
RESULTADOS ENSAYO 1

Abertura Tamiz (mm)	Masa Acumulada (g)	Masa Acumulada (%)	Masa Retenida (g)	Masa Que Pasa (%)	Límite Inferior (%)	Límite Superior (%)
16	0,00	0,0	0,00	100,0	100	100
11,2	177,70	15,5	177,71	84,5	90	100
8	493,00	43,0	314,99	57,0	60	75
4	767,00	66,9	274,20	33,1	35	50
2	877,00	76,5	109,81	23,5	24	34
0,5	979,00	85,4	102,09	14,6	11	21
0,25	1.018,00	88,8	39,36	11,2	7	15
0,063	1.086,00	94,8	68,01	5,2	3	7

RESULTADOS ENSAYO 2

Abertura Tamiz (mm)	Masa Acumulada (g)	Masa Acumulada (%)	Masa Retenida (g)	Masa Que Pasa (%)	Límite Inferior (%)	Límite Superior (%)
16	0,00	0,0	0,00	100,0	100	100
11,2	151,07	13,3	151,07	86,7	90	100
8	461,53	40,7	310,46	59,3	60	75
4	740,80	65,3	279,27	34,7	35	50
2	845,25	74,5	104,45	25,5	24	34
0,5	958,04	84,4	112,79	15,6	11	21
0,25	999,04	88,0	41,00	12,0	7	15
0,063	1.067,00	94,0	68,00	6,0	3	7

GRÁFICOS ENSAYOS 1 Y 2



Representación gráfica "Abertura del Tamiz (eje X ; representación semilogarítmica ; %) vs Masa Que Pasa (eje Y ; representación lineal ; %)".

ANÁLISIS DE RESULTADOS EILA 22

UNE-EN 12697-2:2015 y UNE-EN 12697-2:2015+A1:2022. Mezclas bituminosas. Métodos de ensayo. Parte 2: Determinación de la granulometría de las partículas.

GRÁFICOS GRANULOMÉTRICOS LABORATORIO 128

CONTENIDO LIGANTE POR IGNICION

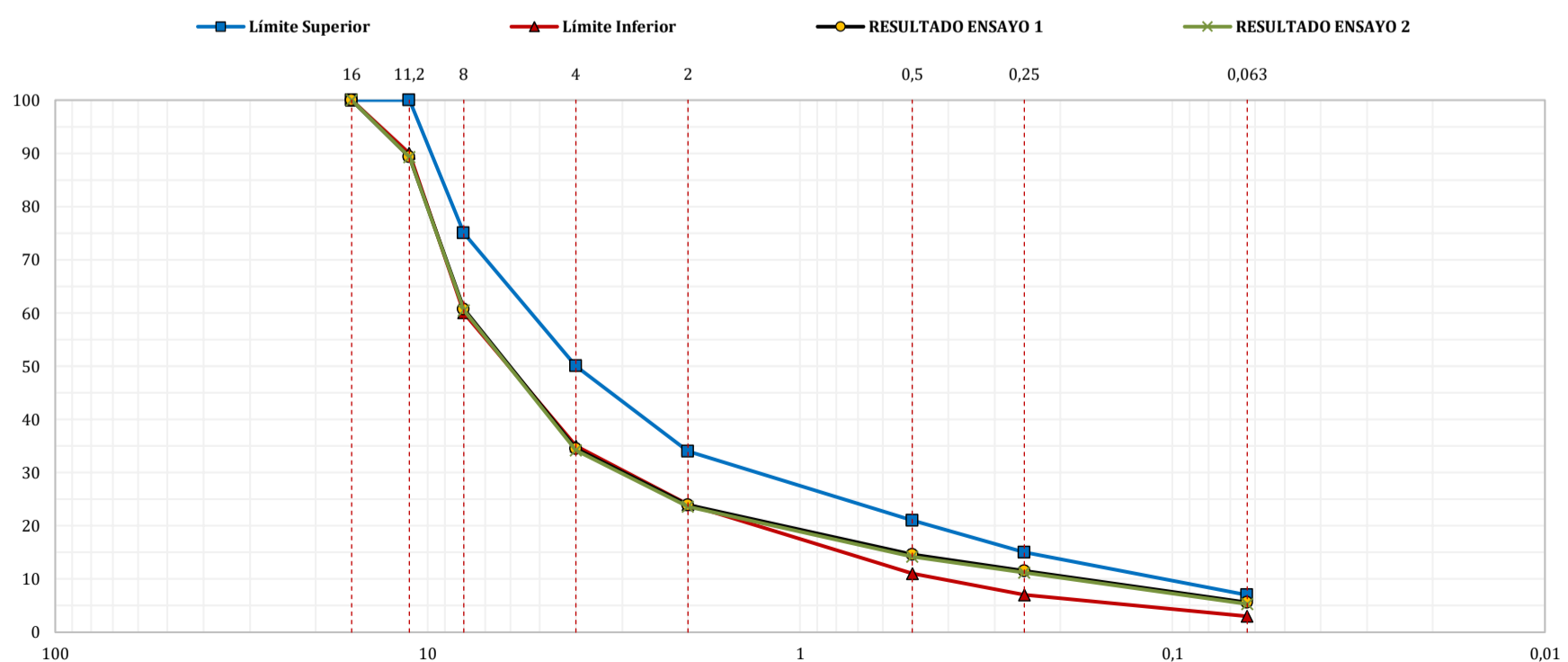
RESULTADOS ENSAYO 1

Abertura Tamiz (mm)	Masa Acumulada (g)	Masa Acumulada (%)	Masa Retenida (g)	Masa Que Pasa (%)	Límite Inferior (%)	Límite Superior (%)
16	0,00	0,0	0,00	100,0	100	100
11,2	229,00	11,0	229,00	89,3	90	100
8	840,00	41,6	611,60	60,7	60	75
4	1.402,00	69,4	840,40	34,5	35	50
2	1.629,00	80,6	227,30	23,9	24	34
0,5	1.827,00	90,4	197,80	14,6	11	21
0,25	1.895,00	93,8	67,70	11,5	7	15
0,063	2.020,00	100,0	125,20	5,6	3	7

RESULTADOS ENSAYO 2

Abertura Tamiz (mm)	Masa Acumulada (g)	Masa Acumulada (%)	Masa Retenida (g)	Masa Que Pasa (%)	Límite Inferior (%)	Límite Superior (%)
16	0,00	0,0	0,00	100,0	100	100
11,2	229,00	11,1	228,80	89,3	90	100
8	842,00	41,7	613,10	60,5	60	75
4	1.403,00	69,0	561,00	34,2	35	50
2	1.630,00	80,6	226,50	23,6	24	34
0,5	1.830,00	90,5	200,00	14,2	11	21
0,25	1.895,00	93,8	65,00	11,2	7	15
0,063	2.021,00	100,0	126,00	5,3	3	7

GRÁFICOS ENSAYOS 1 Y 2



Representación gráfica "Abertura del Tamiz (eje X ; representación semilogarítmica ; %) vs Masa Que Pasa (eje Y ; representación lineal ; %)".

ANÁLISIS DE RESULTADOS EILA 22

UNE-EN 12697-2:2015 y UNE-EN 12697-2:2015+A1:2022. Mezclas bituminosas. Métodos de ensayo. Parte 2: Determinación de la granulometría de las partículas.

GRÁFICOS GRANULOMÉTRICOS LABORATORIO 133

CONTENIDO LIGANTE POR IGNICION

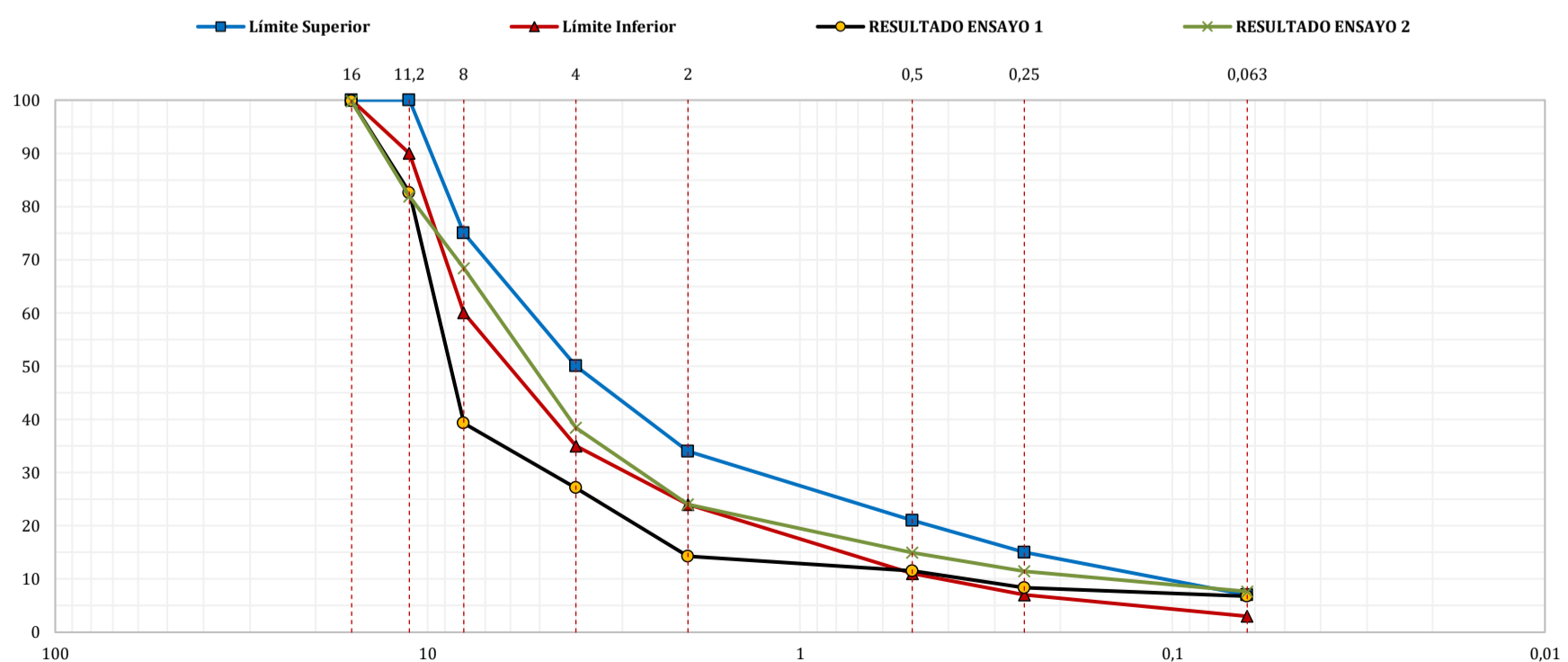
RESULTADOS ENSAYO 1

Abertura Tamiz (mm)	Masa Acumulada (g)	Masa Acumulada (%)	Masa Retenida (g)	Masa Que Pasa (%)	Límite Inferior (%)	Límite Superior (%)
16	1.138,69	0,2	2,31	99,8	100	100
11,2	942,60	17,4	198,40	82,6	90	100
8	784,68	60,7	356,32	39,3	60	75
4	447,95	72,9	693,05	27,1	35	50
2	309,45	85,7	831,55	14,3	24	34
0,5	162,80	88,5	978,20	11,5	11	21
0,25	131,16	91,7	1.009,84	8,3	7	15
0,063	77,27	93,2	1.067,73	6,8	3	7

RESULTADOS ENSAYO 2

Abertura Tamiz (mm)	Masa Acumulada (g)	Masa Acumulada (%)	Masa Retenida (g)	Masa Que Pasa (%)	Límite Inferior (%)	Límite Superior (%)
16	1.134,11	0,3	2,89	99,8	100	100
11,2	930,97	18,1	206,03	81,9	90	100
8	777,35	31,6	359,65	68,4	60	75
4	436,92	61,6	700,08	38,4	35	50
2	273,19	76,0	863,81	24,0	24	34
0,5	169,90	85,1	967,10	14,9	11	21
0,25	130,57	88,5	1.006,43	11,5	7	15
0,063	87,05	92,3	1.049,95	7,7	3	7

GRÁFICOS ENSAYOS 1 Y 2



Representación gráfica "Abertura del Tamiz (eje X ; representación semilogarítmica ; %) vs Masa Que Pasa (eje Y ; representación lineal ; %)".

ANÁLISIS DE RESULTADOS EILA 22

UNE-EN 12697-2:2015 y UNE-EN 12697-2:2015+A1:2022. Mezclas bituminosas. Métodos de ensayo. Parte 2: Determinación de la granulometría de las partículas.

GRÁFICOS GRANULOMÉTRICOS LABORATORIO 140

CONTENIDO LIGANTE POR IGNICION

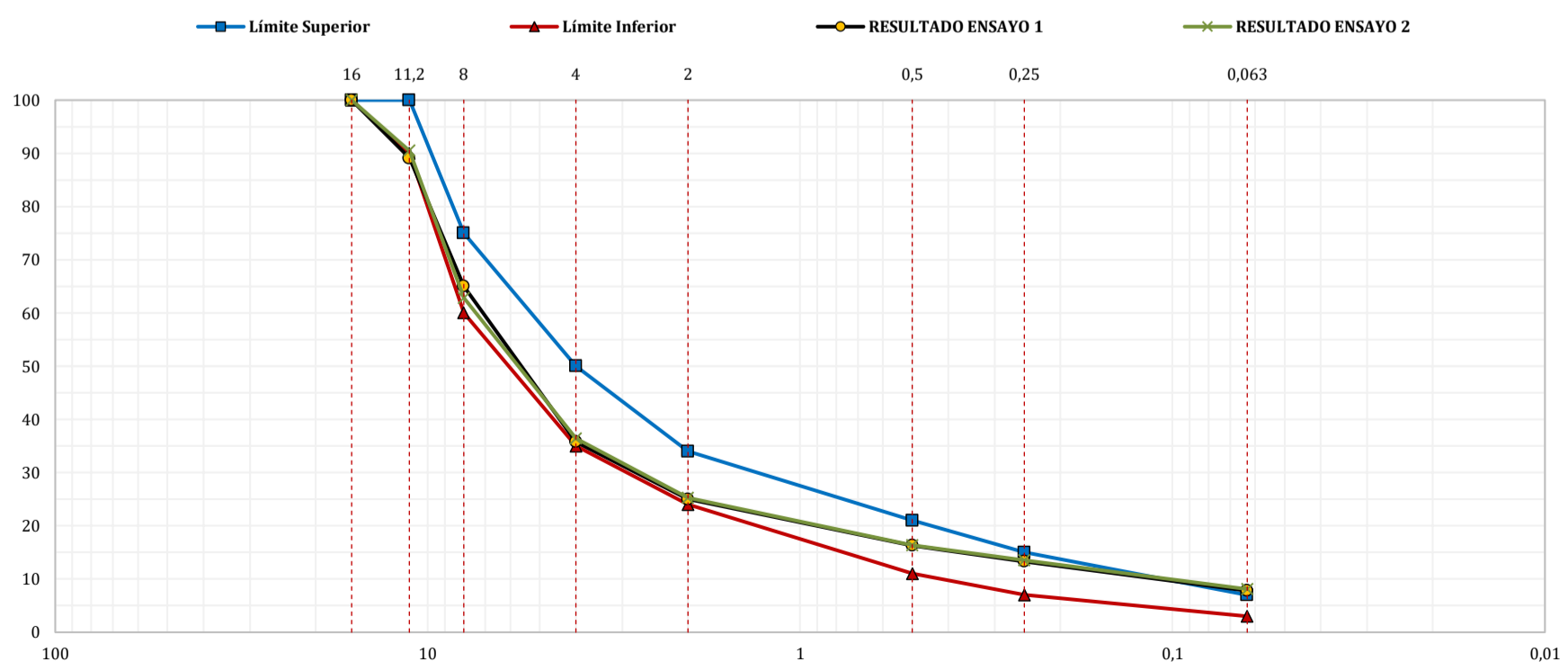
RESULTADOS ENSAYO 1

Abertura Tamiz (mm)	Masa Acumulada (g)	Masa Acumulada (%)	Masa Retenida (g)	Masa Que Pasa (%)	Límite Inferior (%)	Límite Superior (%)
16	0,00	0,0	0,00	100,0	100	100
11,2	123,90	10,9	123,90	89,1	90	100
8	399,90	35,2	276,00	65,0	60	75
4	732,40	64,5	332,50	35,8	35	50
2	856,40	75,4	124,00	25,0	24	34
0,5	955,70	84,1	99,30	16,3	11	21
0,25	989,40	87,1	33,70	13,3	7	15
0,063	1.052,20	92,6	62,80	7,8	3	7

RESULTADOS ENSAYO 2

Abertura Tamiz (mm)	Masa Acumulada (g)	Masa Acumulada (%)	Masa Retenida (g)	Masa Que Pasa (%)	Límite Inferior (%)	Límite Superior (%)
16	0,00	0,0	0,00	100,0	100	100
11,2	108,40	9,5	108,40	90,5	90	100
8	424,90	37,4	316,50	62,8	60	75
4	725,90	63,9	301,00	36,4	35	50
2	852,30	75,0	126,40	25,3	24	34
0,5	953,50	83,9	101,20	16,4	11	21
0,25	986,60	86,9	33,10	13,5	7	15
0,063	1.048,90	92,3	62,30	8,1	3	7

GRÁFICOS ENSAYOS 1 Y 2



Representación gráfica "Abertura del Tamiz (eje X ; representación semilogarítmica ; %) vs Masa Que Pasa (eje Y ; representación lineal ; %)".

ANÁLISIS DE RESULTADOS EILA 22

UNE-EN 12697-2:2015 y UNE-EN 12697-2:2015+A1:2022. Mezclas bituminosas. Métodos de ensayo. Parte 2: Determinación de la granulometría de las partículas.

GRÁFICOS GRANULOMÉTRICOS LABORATORIO 147

CONTENIDO LIGANTE POR IGNICION

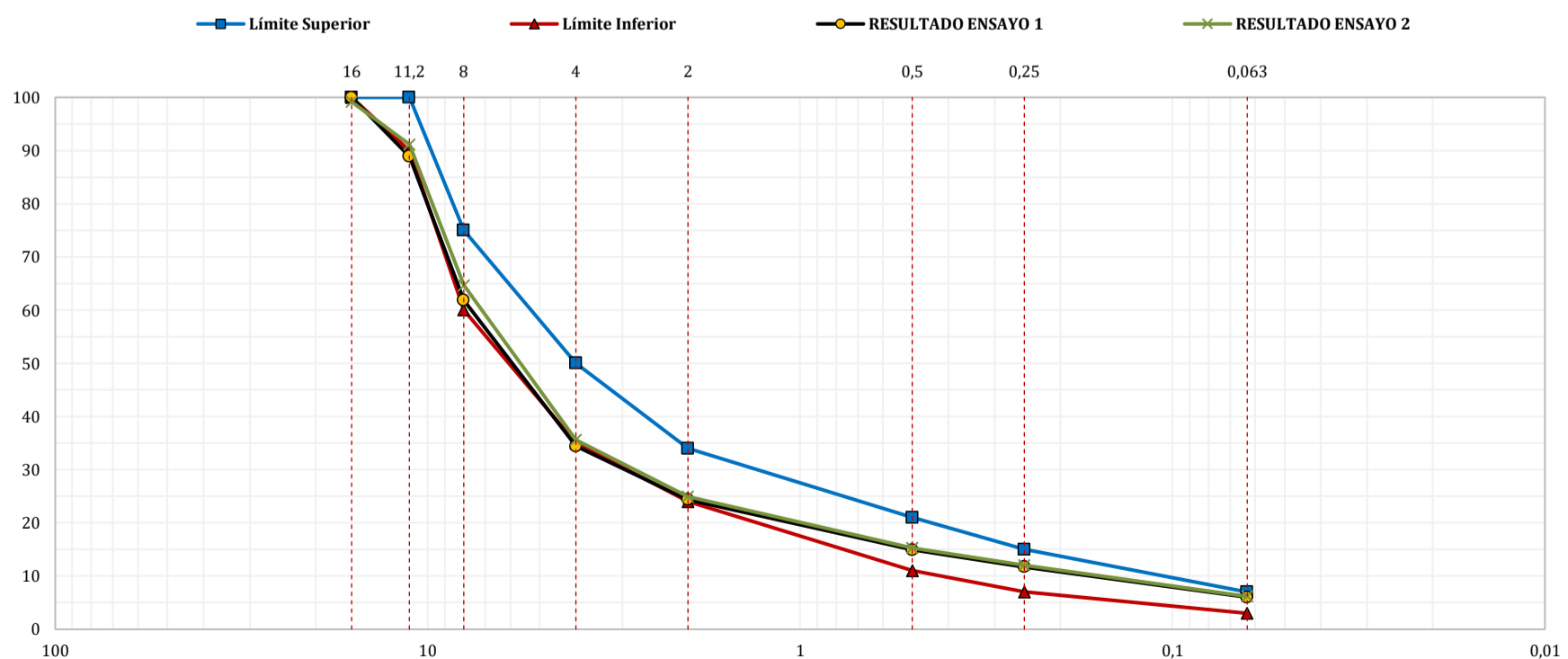
RESULTADOS ENSAYO 1

Abertura Tamiz (mm)	Masa Acumulada (g)	Masa Acumulada (%)	Masa Retenida (g)	Masa Que Pasa (%)	Límite Inferior (%)	Límite Superior (%)
16	0,00	0,0	0,00	100,0	100	100
11,2	127,30	11,1	127,30	88,9	90	100
8	438,00	38,2	310,70	61,8	60	75
4	752,90	65,6	314,90	34,4	35	50
2	868,10	75,6	115,20	24,4	24	34
0,5	976,30	85,1	108,20	14,9	11	21
0,25	1.013,30	88,3	37,00	11,7	7	15
0,063	1.078,70	94,0	65,40	6,0	3	7

RESULTADOS ENSAYO 2

Abertura Tamiz (mm)	Masa Acumulada (g)	Masa Acumulada (%)	Masa Retenida (g)	Masa Que Pasa (%)	Límite Inferior (%)	Límite Superior (%)
16	10,00	0,8	10,00	99,2	100	100
11,2	106,40	8,9	96,40	91,1	90	100
8	423,10	35,3	316,70	64,7	60	75
4	771,30	64,4	348,20	35,6	35	50
2	898,30	75,0	127,00	25,0	24	34
0,5	1.014,20	84,7	115,90	15,3	11	21
0,25	1.052,70	87,9	38,50	12,1	7	15
0,063	1.123,30	93,8	70,60	6,2	3	7

GRÁFICOS ENSAYOS 1 Y 2



Representación gráfica "Abertura del Tamiz (eje X ; representación semilogarítmica ; %) vs Masa Que Pasa (eje Y ; representación lineal ; %)".

ANÁLISIS DE RESULTADOS EILA 22

UNE-EN 12697-2:2015 y UNE-EN 12697-2:2015+A1:2022. Mezclas bituminosas. Métodos de ensayo. Parte 2: Determinación de la granulometría de las partículas.

GRÁFICOS GRANULOMÉTRICOS LABORATORIO 151

CONTENIDO LIGANTE POR IGNICION

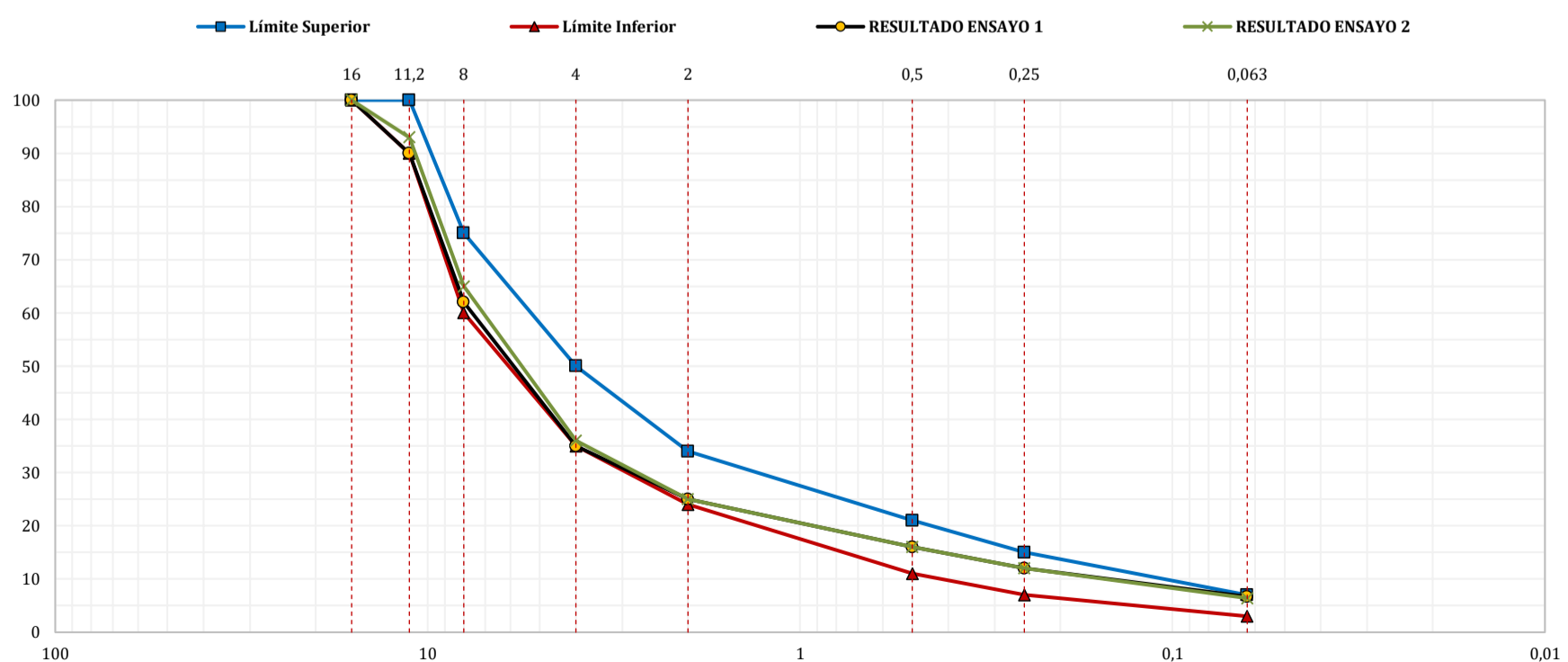
RESULTADOS ENSAYO 1

Abertura Tamiz (mm)	Masa Acumulada (g)	Masa Acumulada (%)	Masa Retenida (g)	Masa Que Pasa (%)	Límite Inferior (%)	Límite Superior (%)
16	0,00	0,0	0,00	100,0	100	100
11,2	126,70	9,8	126,70	90,0	90	100
8	487,90	37,7	361,20	62,0	60	75
4	843,50	65,2	355,60	35,0	35	50
2	973,20	75,2	129,70	25,0	24	34
0,5	1.092,20	84,4	119,00	16,0	11	21
0,25	1.133,20	87,6	41,00	12,0	7	15
0,063	1.207,40	93,3	74,20	6,7	3	7

RESULTADOS ENSAYO 2

Abertura Tamiz (mm)	Masa Acumulada (g)	Masa Acumulada (%)	Masa Retenida (g)	Masa Que Pasa (%)	Límite Inferior (%)	Límite Superior (%)
16	0,00	0,0	0,00	100,0	100	100
11,2	94,10	6,7	94,10	93,0	90	100
8	491,50	35,0	697,40	65,0	60	75
4	903,80	64,4	412,30	36,0	35	50
2	1.051,30	74,9	147,50	25,0	24	34
0,5	1.185,20	84,5	133,90	16,0	11	21
0,25	1.230,70	87,7	45,50	12,0	7	15
0,063	1.313,00	93,6	82,30	6,4	3	7

GRÁFICOS ENSAYOS 1 Y 2



Representación gráfica "Abertura del Tamiz (eje X ; representación semilogarítmica ; %) vs Masa Que Pasa (eje Y ; representación lineal ; %)".

ANÁLISIS DE RESULTADOS EILA 22

UNE-EN 12697-2:2015 y UNE-EN 12697-2:2015+A1:2022. Mezclas bituminosas. Métodos de ensayo. Parte 2: Determinación de la granulometría de las partículas.

GRÁFICOS GRANULOMÉTRICOS LABORATORIO 157

CONTENIDO LIGANTE POR IGNICION

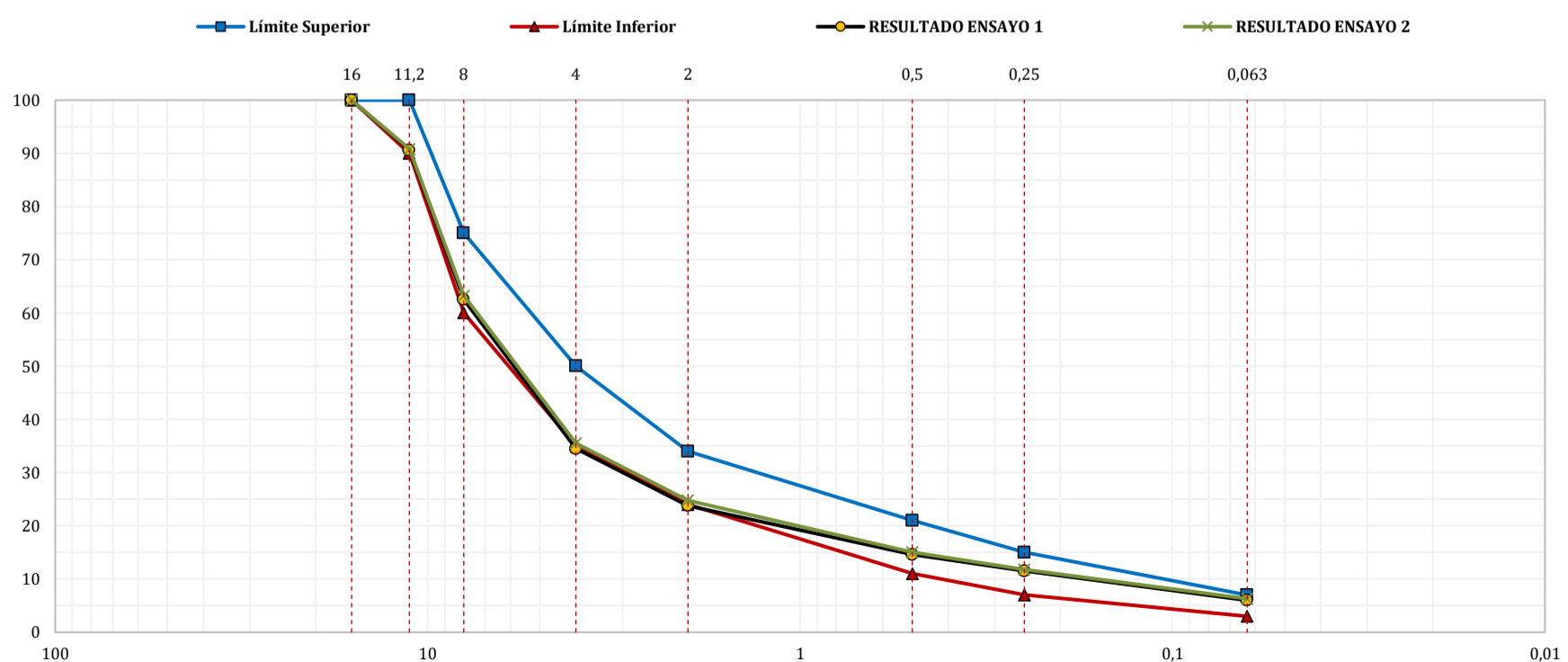
RESULTADOS ENSAYO 1

Abertura Tamiz (mm)	Masa Acumulada (g)	Masa Acumulada (%)	Masa Retenida (g)	Masa Que Pasa (%)	Límite Inferior (%)	Límite Superior (%)
16	0,00	0,0	0,00	100,0	100	100
11,2	105,10	9,4	105,10	90,6	90	100
8	420,70	37,5	315,60	62,5	60	75
4	755,30	65,5	314,60	34,5	35	50
2	855,90	76,2	120,60	23,8	24	34
0,5	959,20	85,4	103,30	14,6	11	21
0,25	994,40	88,5	35,20	11,5	7	15
0,063	1.056,20	94,0	61,80	6,0	3	7

RESULTADOS ENSAYO 2

Abertura Tamiz (mm)	Masa Acumulada (g)	Masa Acumulada (%)	Masa Retenida (g)	Masa Que Pasa (%)	Límite Inferior (%)	Límite Superior (%)
16	0,00	0,0	0,00	100,0	100	100
11,2	103,20	9,2	103,20	90,8	90	100
8	413,70	36,8	310,50	63,2	60	75
4	725,20	64,5	311,50	35,5	35	50
2	845,60	75,2	120,40	24,8	24	34
0,5	955,30	85,0	109,70	15,0	11	21
0,25	991,30	88,2	36,00	11,8	7	15
0,063	1.053,50	93,7	62,20	6,3	3	7

GRÁFICOS ENSAYOS 1 Y 2



Representación gráfica "Abertura del Tamiz (eje X ; representación semilogarítmica ; %) vs Masa Que Pasa (eje Y ; representación lineal ; %)".

ANÁLISIS DE RESULTADOS EILA 22

UNE-EN 12697-2:2015 y UNE-EN 12697-2:2015+A1:2022. Mezclas bituminosas. Métodos de ensayo. Parte 2: Determinación de la granulometría de las partículas.

GRÁFICOS GRANULOMÉTRICOS LABORATORIO 159

CONTENIDO LIGANTE POR IGNICION

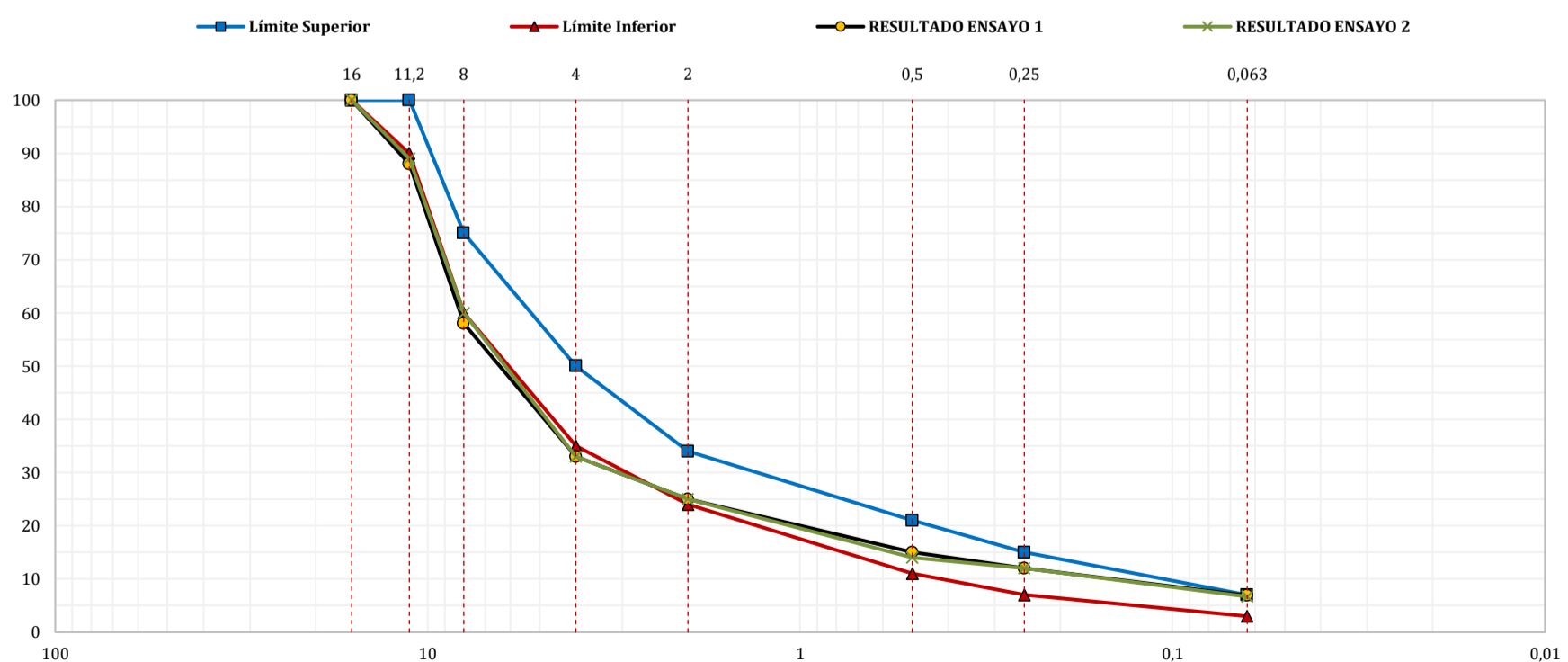
RESULTADOS ENSAYO 1

Abertura Tamiz (mm)	Masa Acumulada (g)	Masa Acumulada (%)	Masa Retenida (g)	Masa Que Pasa (%)	Límite Inferior (%)	Límite Superior (%)
16	1.393,00	0,0	0,00	100,0	100	100
11,2	1.224,10	12,0	168,90	88,0	90	100
8	805,20	42,0	418,90	58,0	60	75
4	460,00	67,0	345,20	33,0	35	50
2	348,60	75,0	111,40	25,0	24	34
0,5	204,10	85,0	144,50	15,0	11	21
0,25	166,30	88,0	37,80	12,0	7	15
0,063	96,20	93,1	70,10	6,9	3	7

RESULTADOS ENSAYO 2

Abertura Tamiz (mm)	Masa Acumulada (g)	Masa Acumulada (%)	Masa Retenida (g)	Masa Que Pasa (%)	Límite Inferior (%)	Límite Superior (%)
16	1.214,60	0,0	0,00	100,0	100	100
11,2	1.082,30	11,0	132,30	89,0	90	100
8	730,10	40,0	352,20	60,0	60	75
4	404,40	67,0	325,70	33,0	35	50
2	309,70	75,0	94,70	25,0	24	34
0,5	172,50	86,0	137,20	14,0	11	21
0,25	147,00	88,0	25,50	12,0	7	15
0,063	81,50	93,3	65,50	6,7	3	7

GRÁFICOS ENSAYOS 1 Y 2



Representación gráfica "Abertura del Tamiz (eje X ; representación semilogarítmica ; %) vs Masa Que Pasa (eje Y ; representación lineal ; %)".

ANÁLISIS DE RESULTADOS EILA 22

UNE-EN 12697-2:2015 y UNE-EN 12697-2:2015+A1:2022. Mezclas bituminosas. Métodos de ensayo. Parte 2: Determinación de la granulometría de las partículas.

GRÁFICOS GRANULOMÉTRICOS LABORATORIO 163

CONTENIDO LIGANTE POR IGNICION

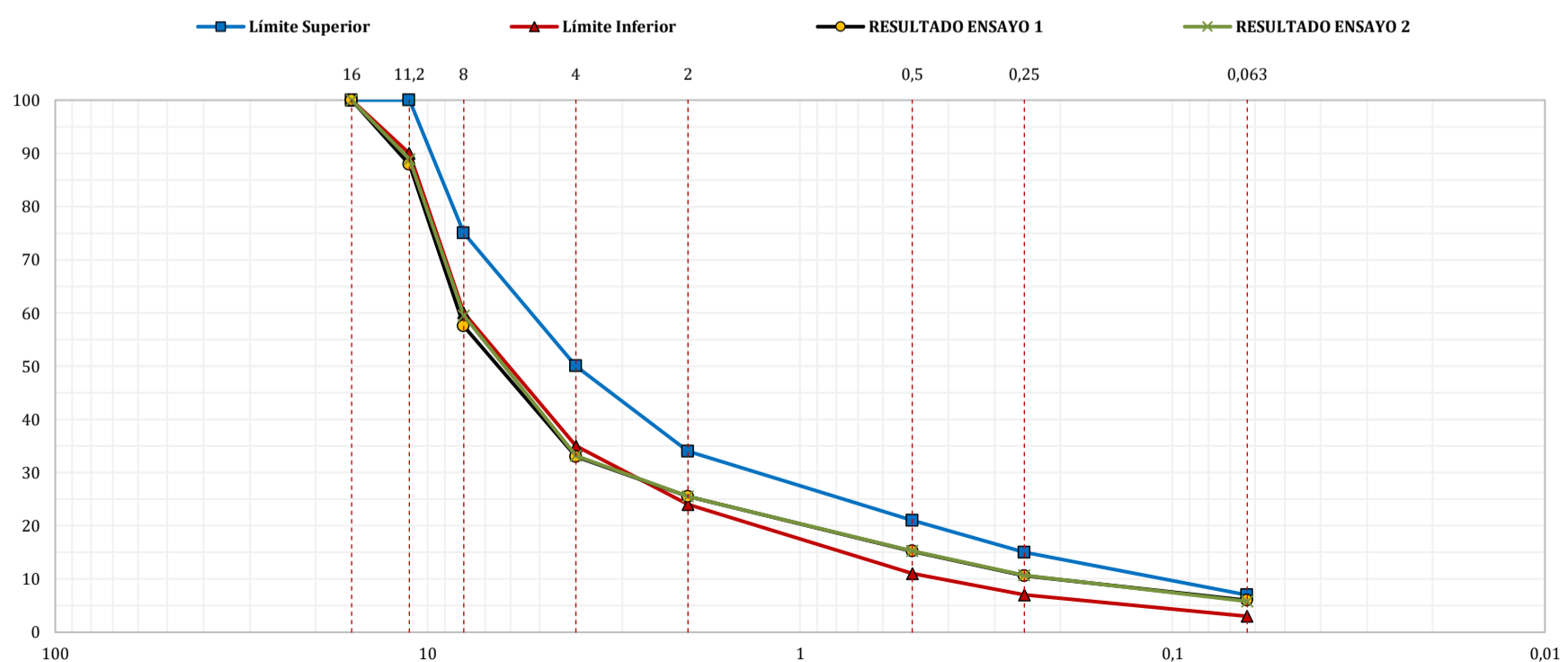
RESULTADOS ENSAYO 1

Abertura Tamiz (mm)	Masa Acumulada (g)	Masa Acumulada (%)	Masa Retenida (g)	Masa Que Pasa (%)	Límite Inferior (%)	Límite Superior (%)
16	0,00	0,0	0,00	100,0	100	100
11,2	137,00	12,8	136,89	87,9	90	100
8	482,19	45,1	345,19	57,5	60	75
4	760,94	71,2	278,75	33,0	35	50
2	846,51	79,3	85,57	25,5	24	34
0,5	962,95	90,2	116,44	15,2	11	21
0,25	1.014,93	95,0	51,98	10,6	7	15
0,063	1.067,99	100,0	53,06	6,0	3	7

RESULTADOS ENSAYO 2

Abertura Tamiz (mm)	Masa Acumulada (g)	Masa Acumulada (%)	Masa Retenida (g)	Masa Que Pasa (%)	Límite Inferior (%)	Límite Superior (%)
16	0,00	0,0	0,00	100,0	100	100
11,2	126,00	11,8	125,60	88,9	90	100
8	459,89	43,0	333,89	59,5	60	75
4	757,82	70,9	297,93	33,2	35	50
2	845,63	79,2	87,81	25,5	24	34
0,5	961,35	90,0	115,72	15,3	11	21
0,25	1.013,16	94,8	51,81	10,7	7	15
0,063	1.068,32	100,0	55,16	5,8	3	7

GRÁFICOS ENSAYOS 1 Y 2



Representación gráfica "Abertura del Tamiz (eje X ; representación semilogarítmica ; %) vs Masa Que Pasa (eje Y ; representación lineal ; %)".

ANÁLISIS DE RESULTADOS EILA 22

UNE-EN 12697-2:2015 y UNE-EN 12697-2:2015+A1:2022. Mezclas bituminosas. Métodos de ensayo. Parte 2: Determinación de la granulometría de las partículas.

GRÁFICOS GRANULOMÉTRICOS LABORATORIO 175

CONTENIDO LIGANTE POR IGNICION

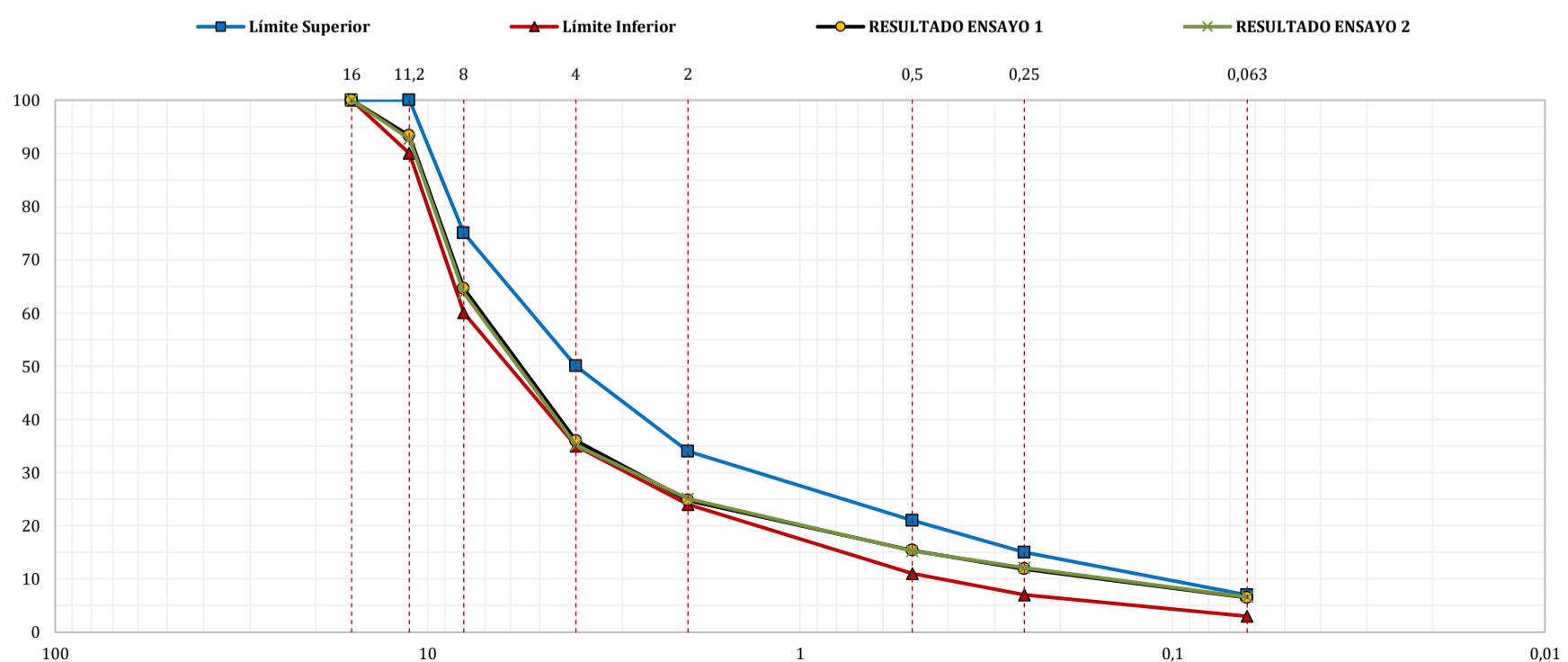
RESULTADOS ENSAYO 1

Abertura Tamiz (mm)	Masa Acumulada (g)	Masa Acumulada (%)	Masa Retenida (g)	Masa Que Pasa (%)	Límite Inferior (%)	Límite Superior (%)
16	0,00	0,0	0,00	100,0	100	100
11,2	76,90	6,7	76,90	93,3	90	100
8	406,50	35,4	329,50	64,6	60	75
4	734,90	64,0	328,40	36,0	35	50
2	863,50	75,2	128,60	24,8	24	34
0,5	971,40	84,6	107,60	15,4	11	21
0,25	1.011,60	88,1	40,20	11,9	7	15
0,063	1.073,60	93,5	64,30	6,5	3	7

RESULTADOS ENSAYO 2

Abertura Tamiz (mm)	Masa Acumulada (g)	Masa Acumulada (%)	Masa Retenida (g)	Masa Que Pasa (%)	Límite Inferior (%)	Límite Superior (%)
16	0,00	0,0	0,00	100,0	100	100
11,2	84,30	7,3	84,30	92,7	90	100
8	419,50	36,3	335,10	63,7	60	75
4	748,70	64,8	329,30	35,2	35	50
2	866,00	74,9	116,70	25,1	24	34
0,5	978,60	84,7	113,20	15,3	11	21
0,25	1.015,60	87,9	37,00	12,1	7	15
0,063	1.079,10	93,4	63,50	6,6	3	7

GRÁFICOS ENSAYOS 1 Y 2



Representación gráfica "Abertura del Tamiz (eje X ; representación semilogarítmica ; %) vs Masa Que Pasa (eje Y ; representación lineal ; %)".

ANÁLISIS DE RESULTADOS EILA 22

UNE-EN 12697-2:2015 y UNE-EN 12697-2:2015+A1:2022. Mezclas bituminosas. Métodos de ensayo. Parte 2: Determinación de la granulometría de las partículas.

GRÁFICOS GRANULOMÉTRICOS LABORATORIO 179

CONTENIDO LIGANTE POR IGNICION

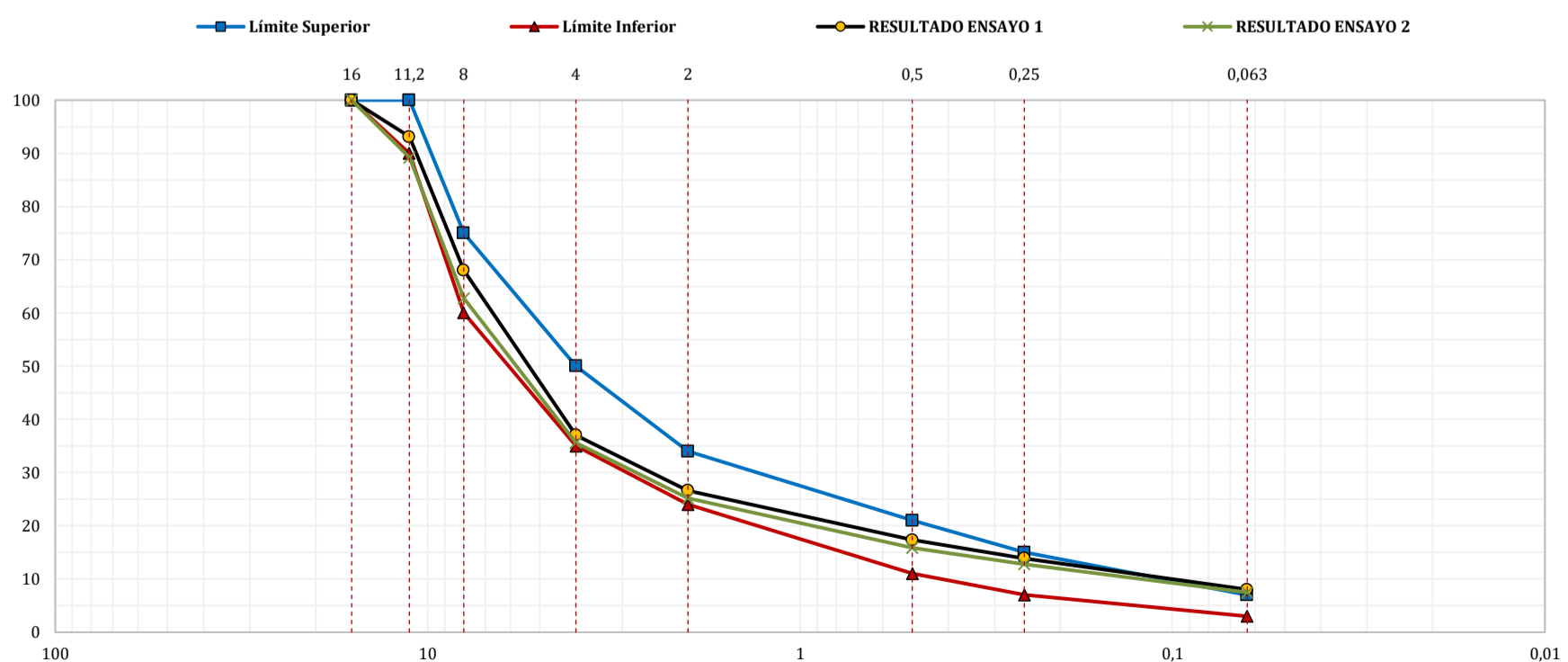
RESULTADOS ENSAYO 1

Abertura Tamiz (mm)	Masa Acumulada (g)	Masa Acumulada (%)	Masa Retenida (g)	Masa Que Pasa (%)	Límite Inferior (%)	Límite Superior (%)
16	0,00	0,0	0,00	100,0	100	100
11,2	78,67	6,9	78,67	93,1	90	100
8	364,58	32,0	285,91	68,0	60	75
4	717,28	63,0	352,70	37,0	35	50
2	835,67	73,4	118,39	26,6	24	34
0,5	941,29	82,6	105,62	17,4	11	21
0,25	980,81	86,1	39,52	13,9	7	15
0,063	1.047,54	92,0	66,73	8,0	3	7

RESULTADOS ENSAYO 2

Abertura Tamiz (mm)	Masa Acumulada (g)	Masa Acumulada (%)	Masa Retenida (g)	Masa Que Pasa (%)	Límite Inferior (%)	Límite Superior (%)
16	0,00	0,0	0,00	100,0	100	100
11,2	124,61	10,8	124,61	89,2	90	100
8	430,05	37,2	305,44	62,8	60	75
4	743,85	64,4	313,80	35,6	35	50
2	863,68	74,8	119,83	25,2	24	34
0,5	972,22	84,2	108,54	15,8	11	21
0,25	1.007,63	87,2	35,41	12,8	7	15
0,063	1.068,61	92,5	60,98	7,5	3	7

GRÁFICOS ENSAYOS 1 Y 2



Representación gráfica "Abertura del Tamiz (eje X ; representación semilogarítmica ; %) vs Masa Que Pasa (eje Y ; representación lineal ; %)".

ANÁLISIS DE RESULTADOS EILA 22

UNE-EN 12697-2:2015 y UNE-EN 12697-2:2015+A1:2022. Mezclas bituminosas. Métodos de ensayo. Parte 2: Determinación de la granulometría de las partículas.

GRÁFICOS GRANULOMÉTRICOS LABORATORIO 180

CONTENIDO LIGANTE POR IGNICION

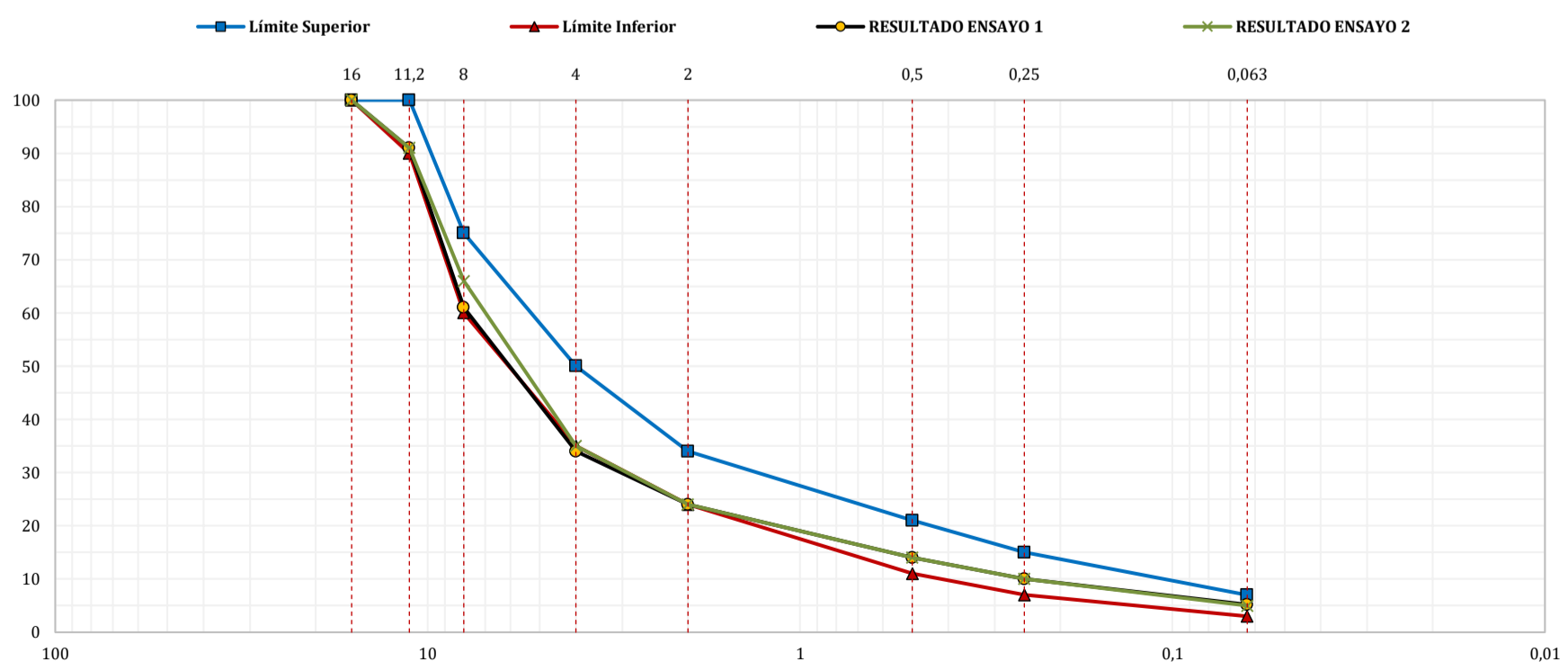
RESULTADOS ENSAYO 1

Abertura Tamiz (mm)	Masa Acumulada (g)	Masa Acumulada (%)	Masa Retenida (g)	Masa Que Pasa (%)	Límite Inferior (%)	Límite Superior (%)
16	0,00	0,0	0,00	100,0	100	100
11,2	100,77	8,7	100,77	91,0	90	100
8	450,50	39,0	349,73	61,0	60	75
4	761,59	65,9	311,09	34,0	35	50
2	883,21	76,4	121,62	24,0	24	34
0,5	990,60	85,7	107,39	14,0	11	21
0,25	1.039,34	89,9	48,74	10,0	7	15
0,063	1.096,16	94,8	56,82	5,2	3	7

RESULTADOS ENSAYO 2

Abertura Tamiz (mm)	Masa Acumulada (g)	Masa Acumulada (%)	Masa Retenida (g)	Masa Que Pasa (%)	Límite Inferior (%)	Límite Superior (%)
16	0,00	0,0	0,00	100,0	100	100
11,2	112,91	9,0	112,91	91,0	90	100
8	424,50	33,8	311,59	66,0	60	75
4	816,57	65,1	392,07	35,0	35	50
2	950,86	75,8	134,29	24,0	24	34
0,5	1.075,99	85,7	125,13	14,0	11	21
0,25	1.130,48	90,1	54,49	10,0	7	15
0,063	1.191,95	95,0	61,47	5,0	3	7

GRÁFICOS ENSAYOS 1 Y 2



Representación gráfica "Abertura del Tamiz (eje X ; representación semilogarítmica ; %) vs Masa Que Pasa (eje Y ; representación lineal ; %)".

ANÁLISIS DE RESULTADOS EILA 22

UNE-EN 12697-2:2015 y UNE-EN 12697-2:2015+A1:2022. Mezclas bituminosas. Métodos de ensayo. Parte 2: Determinación de la granulometría de las partículas.

GRÁFICOS GRANULOMÉTRICOS LABORATORIO 182

CONTENIDO LIGANTE POR IGNICION

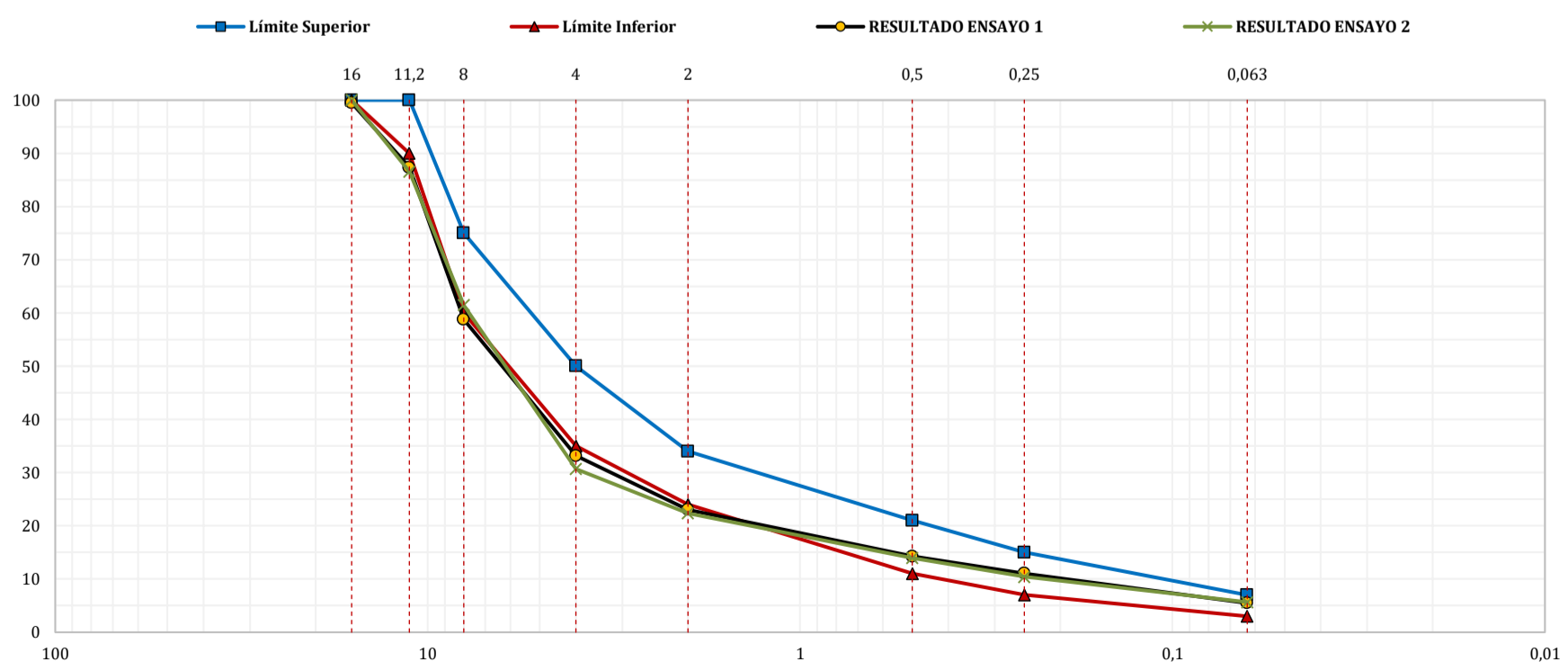
RESULTADOS ENSAYO 1

Abertura Tamiz (mm)	Masa Acumulada (g)	Masa Acumulada (%)	Masa Retenida (g)	Masa Que Pasa (%)	Límite Inferior (%)	Límite Superior (%)
16	12,90	0,5	13,00	99,5	100	100
11,2	310,10	12,7	297,20	87,3	90	100
8	1.011,20	41,3	701,10	58,7	60	75
4	1.638,70	66,9	627,50	33,1	35	50
2	1.886,49	77,0	247,79	23,0	24	34
0,5	2.101,57	85,7	215,08	14,3	11	21
0,25	2.180,13	88,9	78,55	11,1	7	15
0,063	2.316,75	94,5	136,62	5,5	3	7

RESULTADOS ENSAYO 2

Abertura Tamiz (mm)	Masa Acumulada (g)	Masa Acumulada (%)	Masa Retenida (g)	Masa Que Pasa (%)	Límite Inferior (%)	Límite Superior (%)
16	0,00	0,0	0,00	100,0	100	100
11,2	339,30	13,5	339,30	86,5	90	100
8	969,90	38,6	630,60	61,4	60	75
4	1.743,00	69,3	773,10	30,7	35	50
2	1.954,00	77,7	211,00	22,3	24	34
0,5	2.165,00	86,1	211,00	13,9	11	21
0,25	2.253,50	89,6	88,50	10,4	7	15
0,063	2.373,00	94,3	119,50	5,7	3	7

GRÁFICOS ENSAYOS 1 Y 2



Representación gráfica "Abertura del Tamiz (eje X ; representación semilogarítmica ; %) vs Masa Que Pasa (eje Y ; representación lineal ; %)".

ANÁLISIS DE RESULTADOS EILA 22

UNE-EN 12697-2:2015 y UNE-EN 12697-2:2015+A1:2022. Mezclas bituminosas. Métodos de ensayo. Parte 2: Determinación de la granulometría de las partículas.

GRÁFICOS GRANULOMÉTRICOS LABORATORIO 189

CONTENIDO LIGANTE POR IGNICION

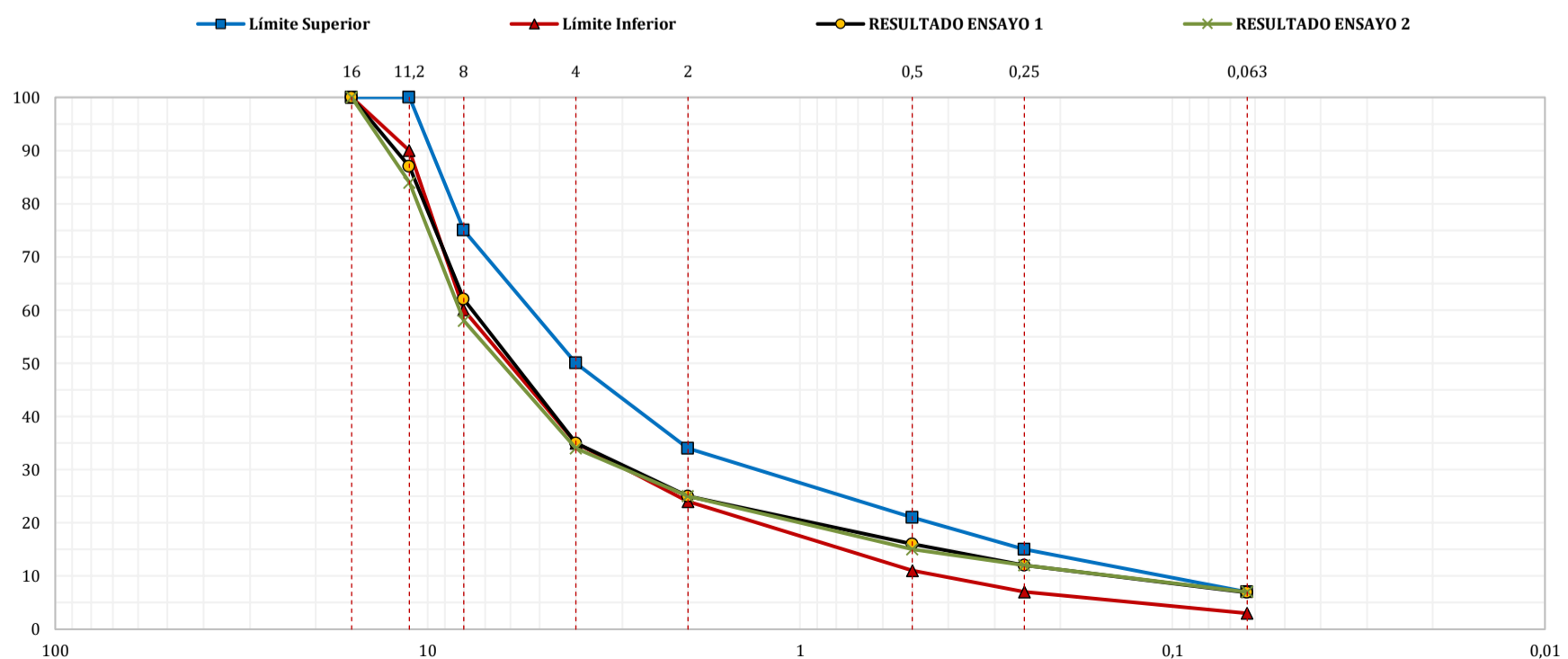
RESULTADOS ENSAYO 1

Abertura Tamiz (mm)	Masa Acumulada (g)	Masa Acumulada (%)	Masa Retenida (g)	Masa Que Pasa (%)	Límite Inferior (%)	Límite Superior (%)
16	0,00	0,0	0,00	100,0	100	100
11,2	184,90	13,0	184,90	87,0	90	100
8	560,30	38,0	375,40	62,0	60	75
4	947,00	65,0	386,70	35,0	35	50
2	1.094,10	75,0	147,10	25,0	24	34
0,5	1.230,40	84,0	136,30	16,0	11	21
0,25	1.277,60	88,0	47,20	12,0	7	15
0,063	1.356,30	93,1	78,70	6,9	3	7

RESULTADOS ENSAYO 2

Abertura Tamiz (mm)	Masa Acumulada (g)	Masa Acumulada (%)	Masa Retenida (g)	Masa Que Pasa (%)	Límite Inferior (%)	Límite Superior (%)
16	0,00	0,0	0,00	100,0	100	100
11,2	235,10	16,0	235,10	84,0	90	100
8	631,60	42,0	396,50	58,0	60	75
4	982,50	66,0	356,90	34,0	35	50
2	1.119,80	75,0	137,30	25,0	24	34
0,5	1.257,10	85,0	137,30	15,0	11	21
0,25	1.304,80	88,0	47,70	12,0	7	15
0,063	1.382,60	93,0	77,80	7,0	3	7

GRÁFICOS ENSAYOS 1 Y 2



Representación gráfica "Abertura del Tamiz (eje X ; representación semilogarítmica ; %) vs Masa Que Pasa (eje Y ; representación lineal ; %)".

ANÁLISIS DE RESULTADOS EILA 22

UNE-EN 12697-2:2015 y UNE-EN 12697-2:2015+A1:2022. Mezclas bituminosas. Métodos de ensayo. Parte 2: Determinación de la granulometría de las partículas.

GRÁFICOS GRANULOMÉTRICOS LABORATORIO 201

CONTENIDO LIGANTE POR IGNICION

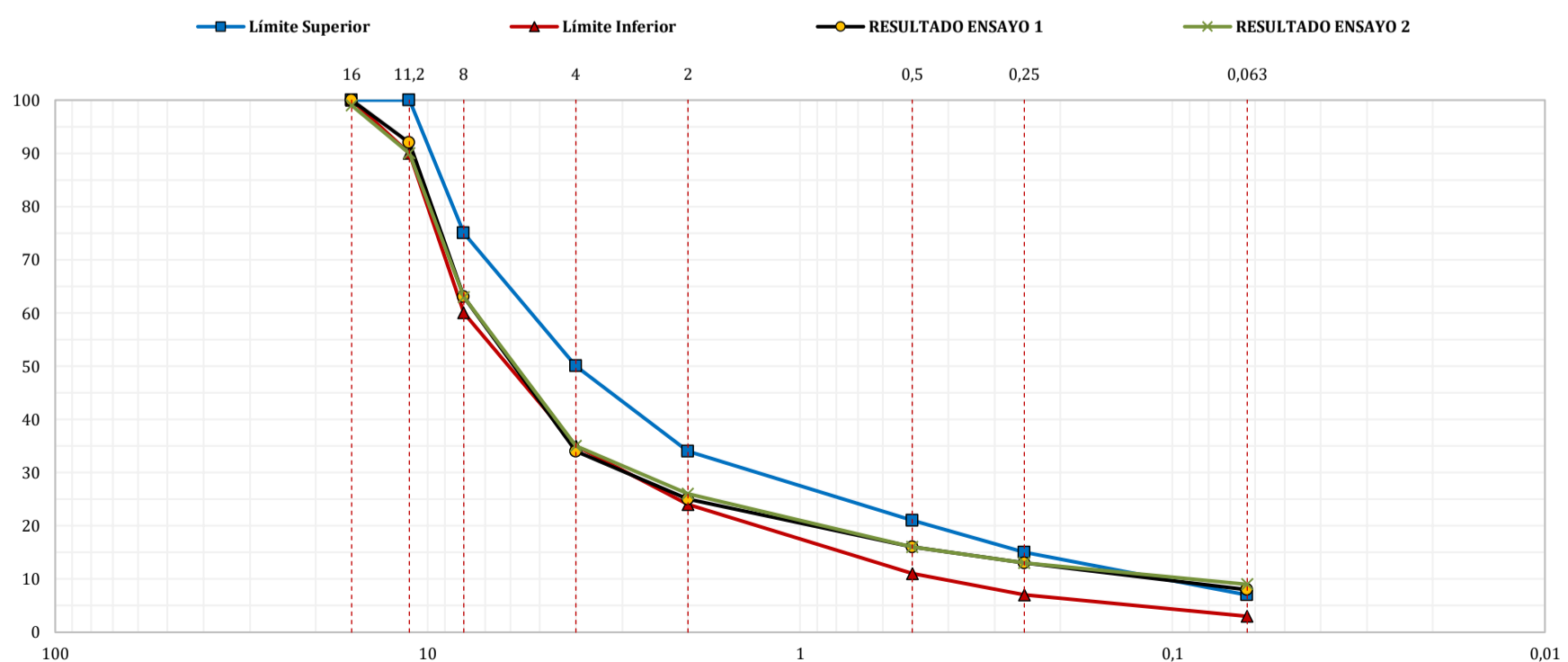
RESULTADOS ENSAYO 1

Abertura Tamiz (mm)	Masa Acumulada (g)	Masa Acumulada (%)	Masa Retenida (g)	Masa Que Pasa (%)	Límite Inferior (%)	Límite Superior (%)
16	0,00	0,0	0,00	100,0	100	100
11,2	92,00	8,0	92,00	92,0	90	100
8	416,00	37,0	324,00	63,0	60	75
4	744,00	66,0	328,00	34,0	35	50
2	844,00	75,0	100,00	25,0	24	34
0,5	954,00	84,0	110,00	16,0	11	21
0,25	986,00	87,0	32,00	13,0	7	15
0,063	1.036,00	92,0	50,00	8,0	3	7

RESULTADOS ENSAYO 2

Abertura Tamiz (mm)	Masa Acumulada (g)	Masa Acumulada (%)	Masa Retenida (g)	Masa Que Pasa (%)	Límite Inferior (%)	Límite Superior (%)
16	8,00	1,0	8,00	99,0	100	100
11,2	118,00	10,0	110,00	90,0	90	100
8	420,00	37,0	302,00	63,0	60	75
4	742,00	65,0	322,00	35,0	35	50
2	844,00	74,0	102,00	26,0	24	34
0,5	948,00	84,0	104,00	16,0	11	21
0,25	988,00	87,0	40,00	13,0	7	15
0,063	1.030,00	91,0	42,00	9,0	3	7

GRÁFICOS ENSAYOS 1 Y 2



Representación gráfica "Abertura del Tamiz (eje X ; representación semilogarítmica ; %) vs Masa Que Pasa (eje Y ; representación lineal ; %)".

ANÁLISIS DE RESULTADOS EILA 22

UNE-EN 12697-2:2015 y UNE-EN 12697-2:2015+A1:2022. Mezclas bituminosas. Métodos de ensayo. Parte 2: Determinación de la granulometría de las partículas.

GRÁFICOS GRANULOMÉTRICOS LABORATORIO 207

CONTENIDO LIGANTE POR IGNICION

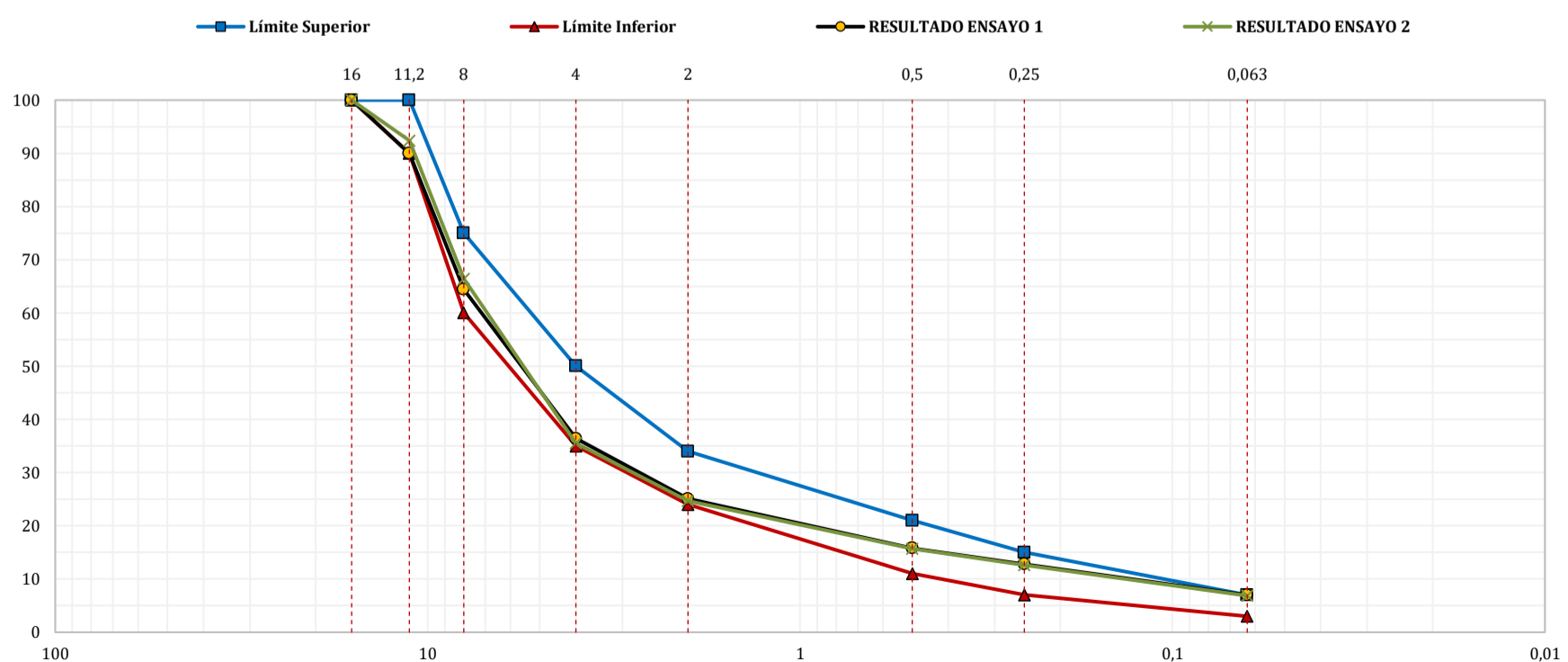
RESULTADOS ENSAYO 1

Abertura Tamiz (mm)	Masa Acumulada (g)	Masa Acumulada (%)	Masa Retenida (g)	Masa Que Pasa (%)	Límite Inferior (%)	Límite Superior (%)
16	0,00	0,0	0,00	100,0	100	100
11,2	123,30	10,0	123,30	90,0	90	100
8	440,80	35,6	317,50	64,4	60	75
4	787,26	63,6	346,46	36,4	35	50
2	927,39	75,0	140,13	25,1	24	34
0,5	1.041,33	84,2	113,94	15,8	11	21
0,25	1.079,18	87,2	37,85	12,8	7	15
0,063	1.150,25	93,0	71,07	7,0	3	7

RESULTADOS ENSAYO 2

Abertura Tamiz (mm)	Masa Acumulada (g)	Masa Acumulada (%)	Masa Retenida (g)	Masa Que Pasa (%)	Límite Inferior (%)	Límite Superior (%)
16	0,00	0,0	0,00	100,0	100	100
11,2	89,92	7,6	89,92	92,4	90	100
8	395,62	33,6	305,70	66,4	60	75
4	759,52	64,5	363,90	35,5	35	50
2	886,79	75,3	127,27	24,7	24	34
0,5	993,96	84,3	107,17	15,7	11	21
0,25	1.029,74	87,4	35,78	12,6	7	15
0,063	1.097,66	93,1	67,92	6,9	3	7

GRÁFICOS ENSAYOS 1 Y 2



Representación gráfica "Abertura del Tamiz (eje X ; representación semilogarítmica ; %) vs Masa Que Pasa (eje Y ; representación lineal ; %)".

ANÁLISIS DE RESULTADOS EILA 22

UNE-EN 12697-2:2015 y UNE-EN 12697-2:2015+A1:2022. Mezclas bituminosas. Métodos de ensayo. Parte 2: Determinación de la granulometría de las partículas.

GRÁFICOS GRANULOMÉTRICOS LABORATORIO 208

CONTENIDO LIGANTE POR IGNICION

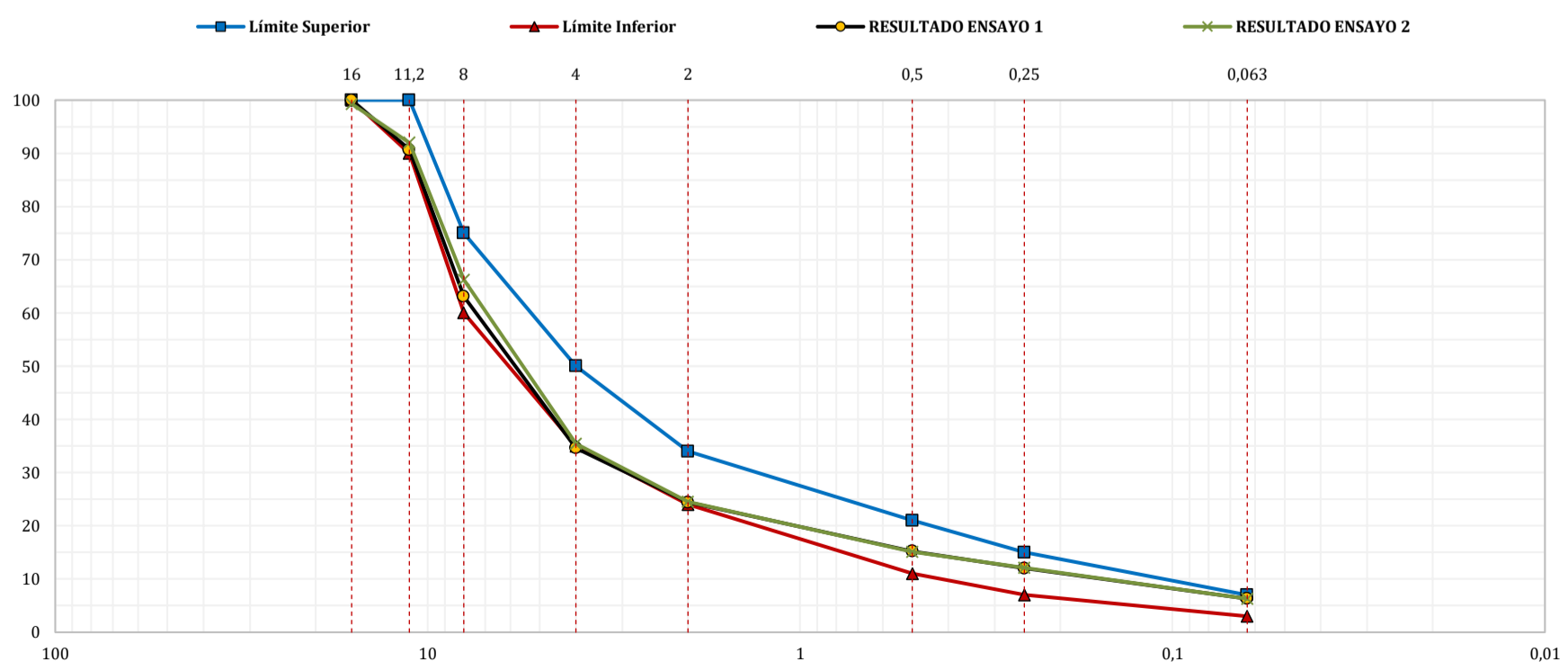
RESULTADOS ENSAYO 1

Abertura Tamiz (mm)	Masa Acumulada (g)	Masa Acumulada (%)	Masa Retenida (g)	Masa Que Pasa (%)	Límite Inferior (%)	Límite Superior (%)
16	0,00	0,0	0,00	100,0	100	100
11,2	105,90	9,3	105,90	90,7	90	100
8	420,20	36,9	314,30	63,1	60	75
4	744,40	65,4	324,20	34,6	35	50
2	861,60	75,6	117,20	24,4	24	34
0,5	966,40	84,8	104,80	15,2	11	21
0,25	1.001,90	88,0	35,50	12,0	7	15
0,063	1.067,10	93,7	65,20	6,3	3	7

RESULTADOS ENSAYO 2

Abertura Tamiz (mm)	Masa Acumulada (g)	Masa Acumulada (%)	Masa Retenida (g)	Masa Que Pasa (%)	Límite Inferior (%)	Límite Superior (%)
16	7,70	0,7	7,70	99,3	100	100
11,2	91,40	8,0	83,70	92,0	90	100
8	385,70	33,8	294,30	66,2	60	75
4	737,00	64,6	351,30	35,4	35	50
2	861,50	75,5	124,50	24,5	24	34
0,5	968,00	84,9	106,50	15,1	11	21
0,25	1.003,10	87,9	35,10	12,1	7	15
0,063	1.068,70	93,7	65,60	6,3	3	7

GRÁFICOS ENSAYOS 1 Y 2



Representación gráfica "Abertura del Tamiz (eje X ; representación semilogarítmica ; %) vs Masa Que Pasa (eje Y ; representación lineal ; %)".

ANÁLISIS DE RESULTADOS EILA 22

UNE-EN 12697-2:2015 y UNE-EN 12697-2:2015+A1:2022. Mezclas bituminosas. Métodos de ensayo. Parte 2: Determinación de la granulometría de las partículas.

GRÁFICOS GRANULOMÉTRICOS LABORATORIO 210

CONTENIDO LIGANTE POR IGNICION

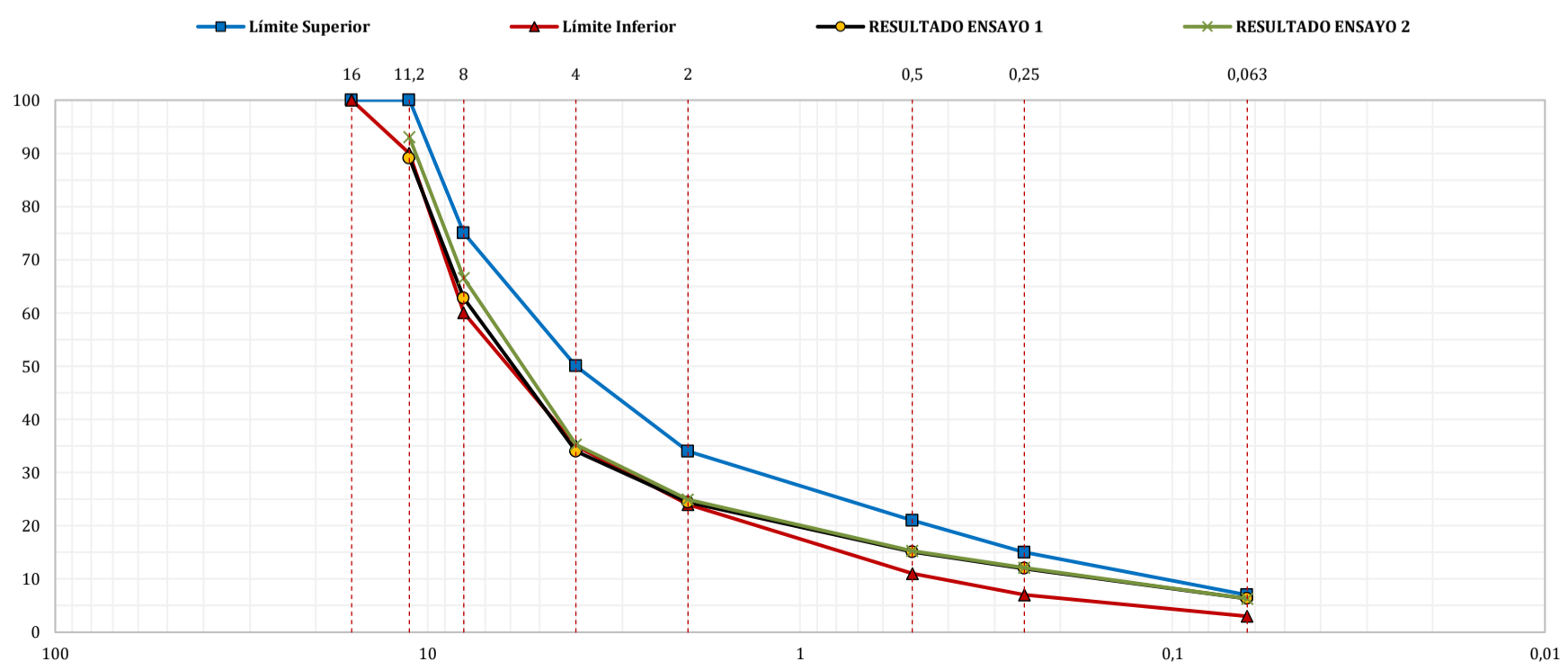
RESULTADOS ENSAYO 1

Abertura Tamiz (mm)	Masa Acumulada (g)	Masa Acumulada (%)	Masa Retenida (g)	Masa Que Pasa (%)	Límite Inferior (%)	Límite Superior (%)
16					100	100
11,2	123,45	10,9	123,45	89,1	90	100
8	422,00	37,2	298,55	62,8	60	75
4	747,74	66,0	325,74	34,0	35	50
2	856,36	75,6	108,62	24,4	24	34
0,5	961,81	84,9	105,45	15,1	11	21
0,25	997,13	88,0	35,32	12,0	7	15
0,063	1.061,56	93,7	64,43	6,3	3	7

RESULTADOS ENSAYO 2

Abertura Tamiz (mm)	Masa Acumulada (g)	Masa Acumulada (%)	Masa Retenida (g)	Masa Que Pasa (%)	Límite Inferior (%)	Límite Superior (%)
16					100	100
11,2	78,84	6,9	78,84	93,1	90	100
8	380,29	33,5	301,45	66,5	60	75
4	735,43	64,7	355,14	35,3	35	50
2	852,83	75,1	117,40	24,9	24	34
0,5	962,20	84,7	109,37	15,3	11	21
0,25	998,08	87,9	35,88	12,1	7	15
0,063	1.064,20	93,7	66,12	6,3	3	7

GRÁFICOS ENSAYOS 1 Y 2



Representación gráfica "Abertura del Tamiz (eje X ; representación semilogarítmica ; %) vs Masa Que Pasa (eje Y ; representación lineal ; %)".

ANÁLISIS DE RESULTADOS EILA 22

UNE-EN 12697-2:2015 y UNE-EN 12697-2:2015+A1:2022. Mezclas bituminosas. Métodos de ensayo. Parte 2: Determinación de la granulometría de las partículas.

GRÁFICOS GRANULOMÉTRICOS LABORATORIO 211

CONTENIDO LIGANTE POR IGNICION

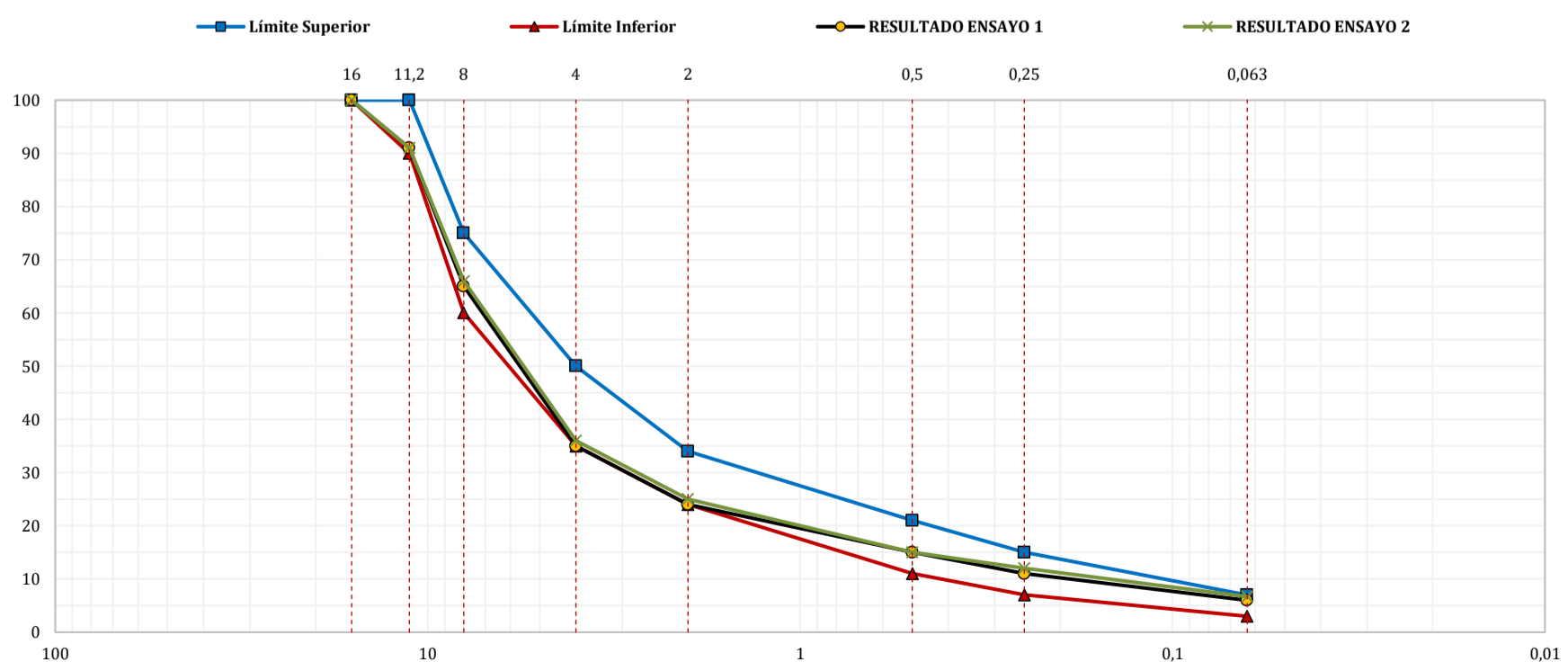
RESULTADOS ENSAYO 1

Abertura Tamiz (mm)	Masa Acumulada (g)	Masa Acumulada (%)	Masa Retenida (g)	Masa Que Pasa (%)	Límite Inferior (%)	Límite Superior (%)
16	0,00	0,0	0,00	100,0	100	100
11,2	207,80	9,2	207,80	91,0	90	100
8	785,90	34,9	578,10	65,0	60	75
4	1.457,00	64,7	671,00	35,0	35	50
2	1.707,00	75,8	250,00	24,0	24	34
0,5	1.929,40	85,6	222,00	15,0	11	21
0,25	2.000,70	88,8	71,00	11,0	7	15
0,063	2.122,50	94,2	122,00	6,0	3	7

RESULTADOS ENSAYO 2

Abertura Tamiz (mm)	Masa Acumulada (g)	Masa Acumulada (%)	Masa Retenida (g)	Masa Que Pasa (%)	Límite Inferior (%)	Límite Superior (%)
16	0,00	0,0	193,50	100,0	100	100
11,2	193,50	8,5	569,50	91,0	90	100
8	763,00	33,6	696,50	66,0	60	75
4	1.459,50	64,3	250,90	36,0	35	50
2	1.710,00	75,3	218,10	25,0	24	34
0,5	1.929,00	84,9	71,10	15,0	11	21
0,25	2.000,00	88,1	119,30	12,0	7	15
0,063	2.119,00	93,3	152,00	6,7	3	7

GRÁFICOS ENSAYOS 1 Y 2



Representación gráfica "Abertura del Tamiz (eje X ; representación semilogarítmica ; %) vs Masa Que Pasa (eje Y ; representación lineal ; %)".

ANÁLISIS DE RESULTADOS EILA 22

UNE-EN 12697-2:2015 y UNE-EN 12697-2:2015+A1:2022. Mezclas bituminosas. Métodos de ensayo. Parte 2: Determinación de la granulometría de las partículas.

GRÁFICOS GRANULOMÉTRICOS LABORATORIO 214

CONTENIDO LIGANTE POR IGNICION

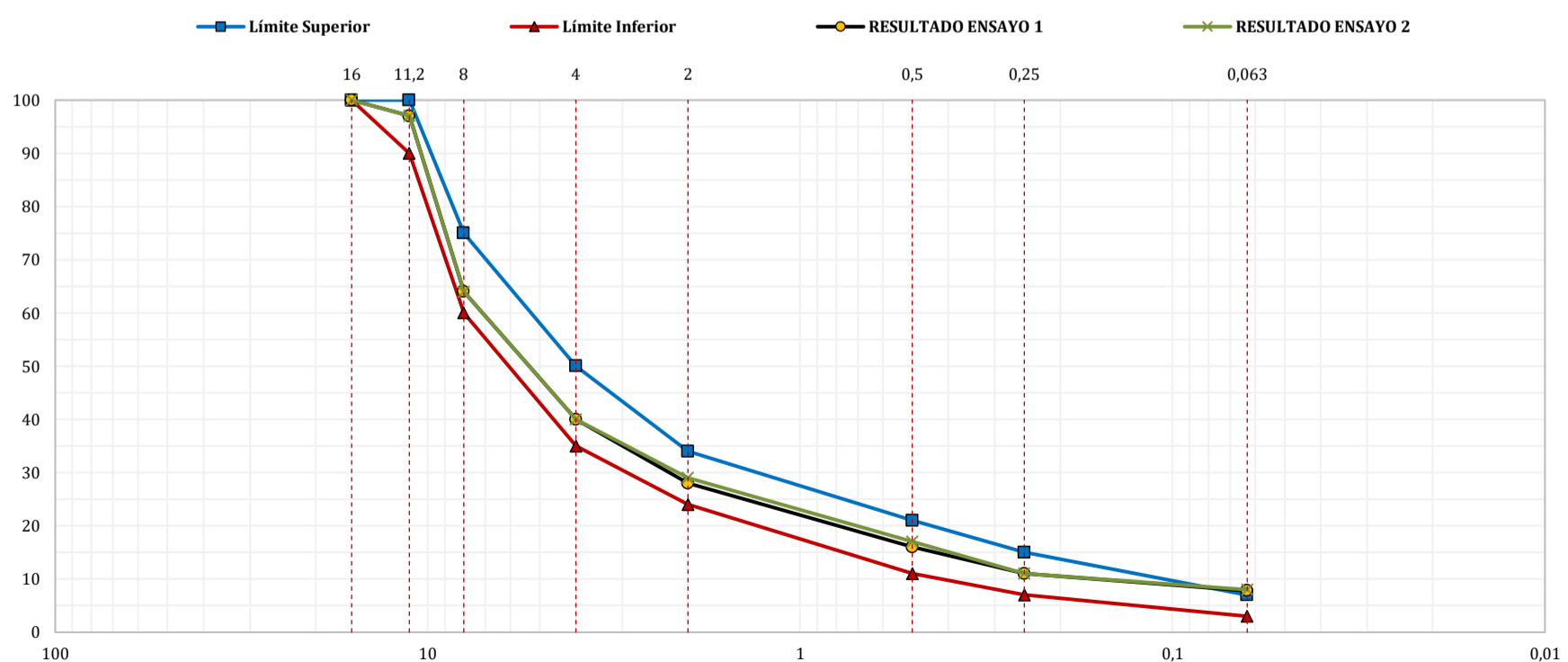
RESULTADOS ENSAYO 1

Abertura Tamiz (mm)	Masa Acumulada (g)	Masa Acumulada (%)	Masa Retenida (g)	Masa Que Pasa (%)	Límite Inferior (%)	Límite Superior (%)
16		0,0	0,00	100,0	100	100
11,2		3,0	31,80	97,0	90	100
8		36,0	404,40	64,0	60	75
4		60,0	287,90	40,0	35	50
2		72,0	143,20	28,0	24	34
0,5		84,0	145,50	16,0	11	21
0,25		89,0	69,90	11,0	7	15
0,063		92,2	33,50	7,8	3	7

RESULTADOS ENSAYO 2

Abertura Tamiz (mm)	Masa Acumulada (g)	Masa Acumulada (%)	Masa Retenida (g)	Masa Que Pasa (%)	Límite Inferior (%)	Límite Superior (%)
16		0,0	0,00	100,0	100	100
11,2		3,0	31,50	97,0	90	100
8		36,0	405,20	64,0	60	75
4		60,0	289,80	40,0	35	50
2		71,0	143,20	29,0	24	34
0,5		83,0	145,90	17,0	11	21
0,25		89,0	68,90	11,0	7	15
0,063		92,0	35,40	8,0	3	7

GRÁFICOS ENSAYOS 1 Y 2



Representación gráfica "Abertura del Tamiz (eje X ; representación semilogarítmica ; %) vs Masa Que Pasa (eje Y ; representación lineal ; %)".

ANÁLISIS DE RESULTADOS EILA 22

UNE-EN 12697-2:2015 y UNE-EN 12697-2:2015+A1:2022. Mezclas bituminosas. Métodos de ensayo. Parte 2: Determinación de la granulometría de las partículas.

GRÁFICOS GRANULOMÉTRICOS LABORATORIO 217

CONTENIDO LIGANTE POR IGNICION

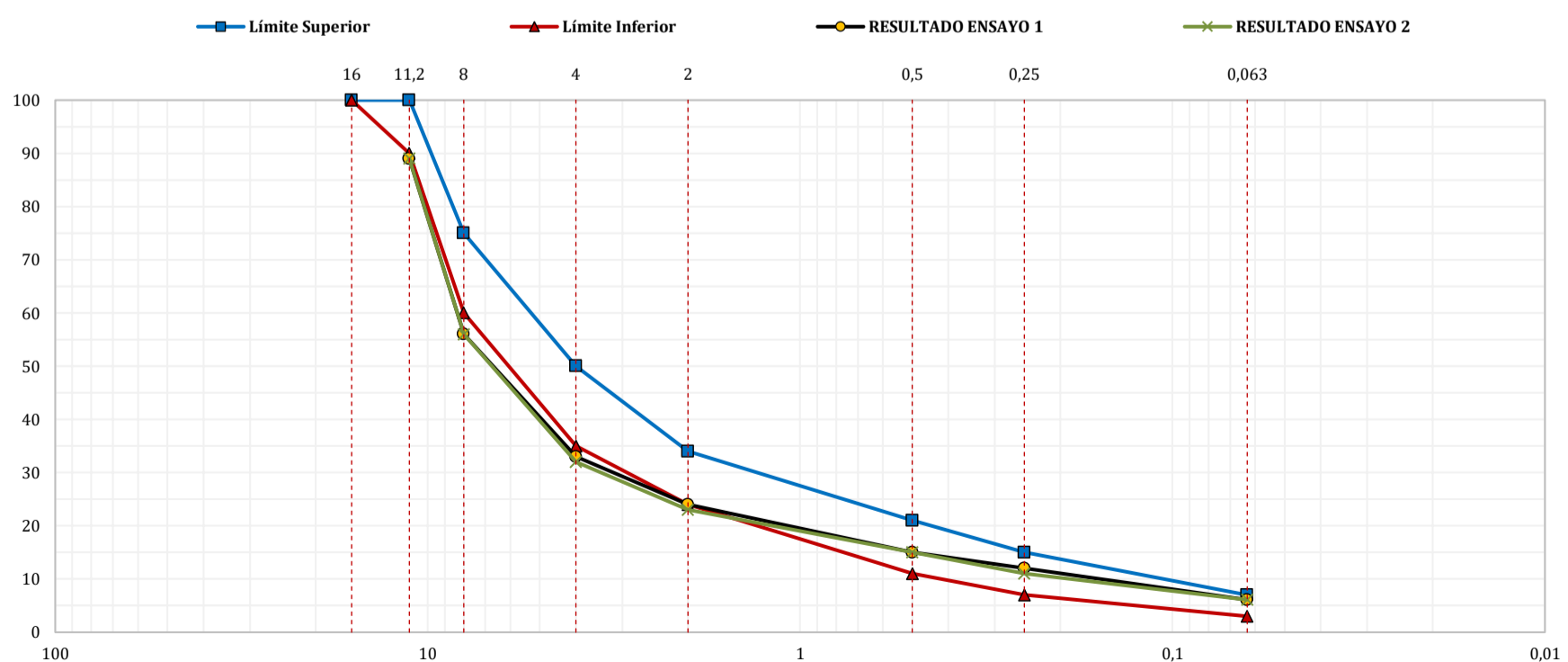
RESULTADOS ENSAYO 1

Abertura Tamiz (mm)	Masa Acumulada (g)	Masa Acumulada (%)	Masa Retenida (g)	Masa Que Pasa (%)	Límite Inferior (%)	Límite Superior (%)
16					100	100
11,2			170,60	89,0	90	100
8			533,70	56,0	60	75
4			363,60	33,0	35	50
2			142,90	24,0	24	34
0,5			139,90	15,0	11	21
0,25			49,50	12,0	7	15
0,063			86,60	6,1	3	7

RESULTADOS ENSAYO 2

Abertura Tamiz (mm)	Masa Acumulada (g)	Masa Acumulada (%)	Masa Retenida (g)	Masa Que Pasa (%)	Límite Inferior (%)	Límite Superior (%)
16					100	100
11,2			168,00	89,0	90	100
8			530,60	56,0	60	75
4			374,20	32,0	35	50
2			145,30	23,0	24	34
0,5			136,90	15,0	11	21
0,25			52,20	11,0	7	15
0,063			81,30	6,1	3	7

GRÁFICOS ENSAYOS 1 Y 2



Representación gráfica "Abertura del Tamiz (eje X ; representación semilogarítmica ; %) vs Masa Que Pasa (eje Y ; representación lineal ; %)".

ANÁLISIS DE RESULTADOS EILA 22

UNE-EN 12697-2:2015 y UNE-EN 12697-2:2015+A1:2022. Mezclas bituminosas. Métodos de ensayo. Parte 2: Determinación de la granulometría de las partículas.

GRÁFICOS GRANULOMÉTRICOS LABORATORIO 218

CONTENIDO LIGANTE POR IGNICION

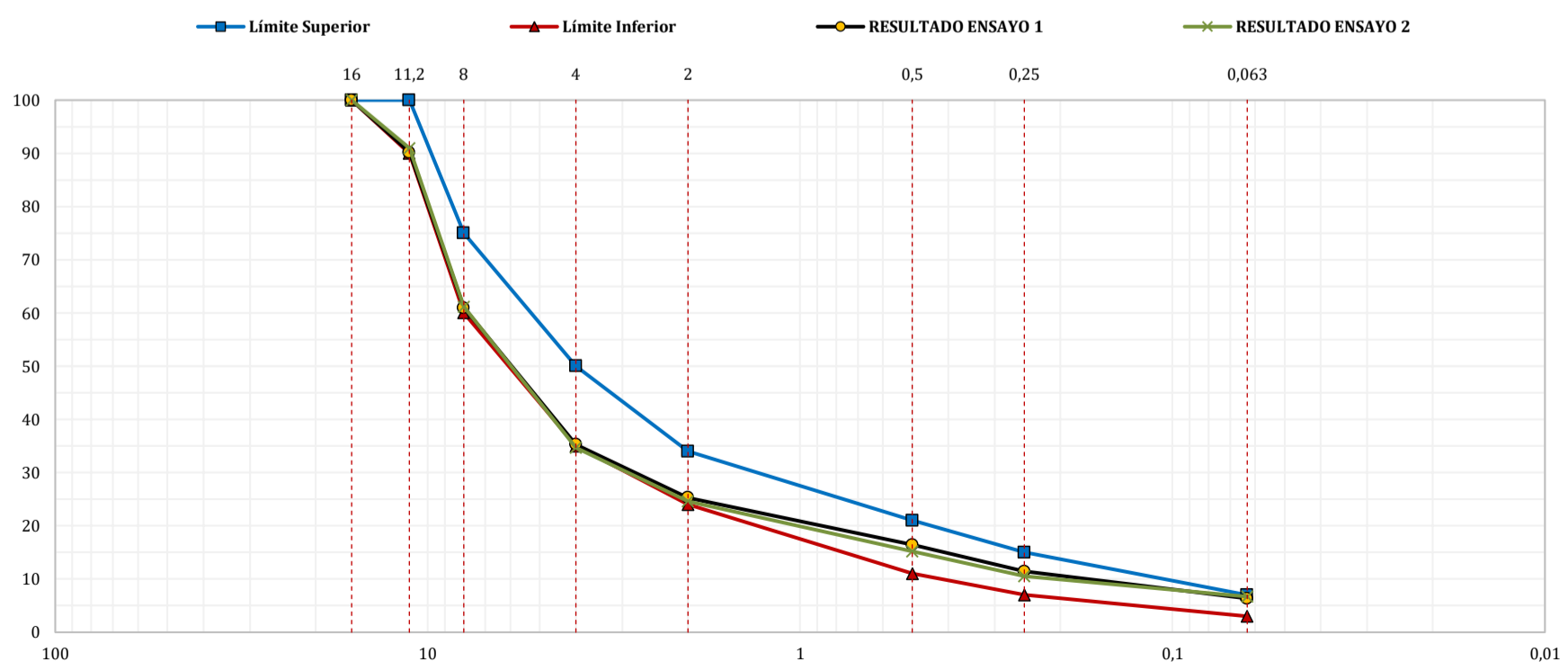
RESULTADOS ENSAYO 1

Abertura Tamiz (mm)	Masa Acumulada (g)	Masa Acumulada (%)	Masa Retenida (g)	Masa Que Pasa (%)	Límite Inferior (%)	Límite Superior (%)
16	0,00	0,0	0,00	100,0	100	100
11,2	112,09	9,8	112,09	90,2	90	100
8	445,67	39,0	333,58	61,0	60	75
4	739,18	64,7	293,51	35,3	35	50
2	853,17	74,7	113,99	25,3	24	34
0,5	954,69	83,6	101,52	16,4	11	21
0,25	1.011,75	88,6	57,06	11,4	7	15
0,063	1.069,79	93,7	58,04	6,4	3	7

RESULTADOS ENSAYO 2

Abertura Tamiz (mm)	Masa Acumulada (g)	Masa Acumulada (%)	Masa Retenida (g)	Masa Que Pasa (%)	Límite Inferior (%)	Límite Superior (%)
16	0,00	0,0	0,00	100,0	100	100
11,2	103,27	9,0	103,27	91,0	90	100
8	445,50	38,9	342,23	61,1	60	75
4	748,57	65,3	303,07	34,7	35	50
2	864,16	75,4	281,84	24,6	24	34
0,5	971,57	84,8	174,43	15,2	11	21
0,25	1.025,07	89,5	51,16	10,6	7	15
0,063	1.069,18	93,3	44,11	6,7	3	7

GRÁFICOS ENSAYOS 1 Y 2



Representación gráfica "Abertura del Tamiz (eje X ; representación semilogarítmica ; %) vs Masa Que Pasa (eje Y ; representación lineal ; %)".

ANÁLISIS DE RESULTADOS EILA 22

UNE-EN 12697-2:2015 y UNE-EN 12697-2:2015+A1:2022. Mezclas bituminosas. Métodos de ensayo. Parte 2: Determinación de la granulometría de las partículas.

GRÁFICOS GRANULOMÉTRICOS LABORATORIO 245

CONTENIDO LIGANTE POR IGNICION

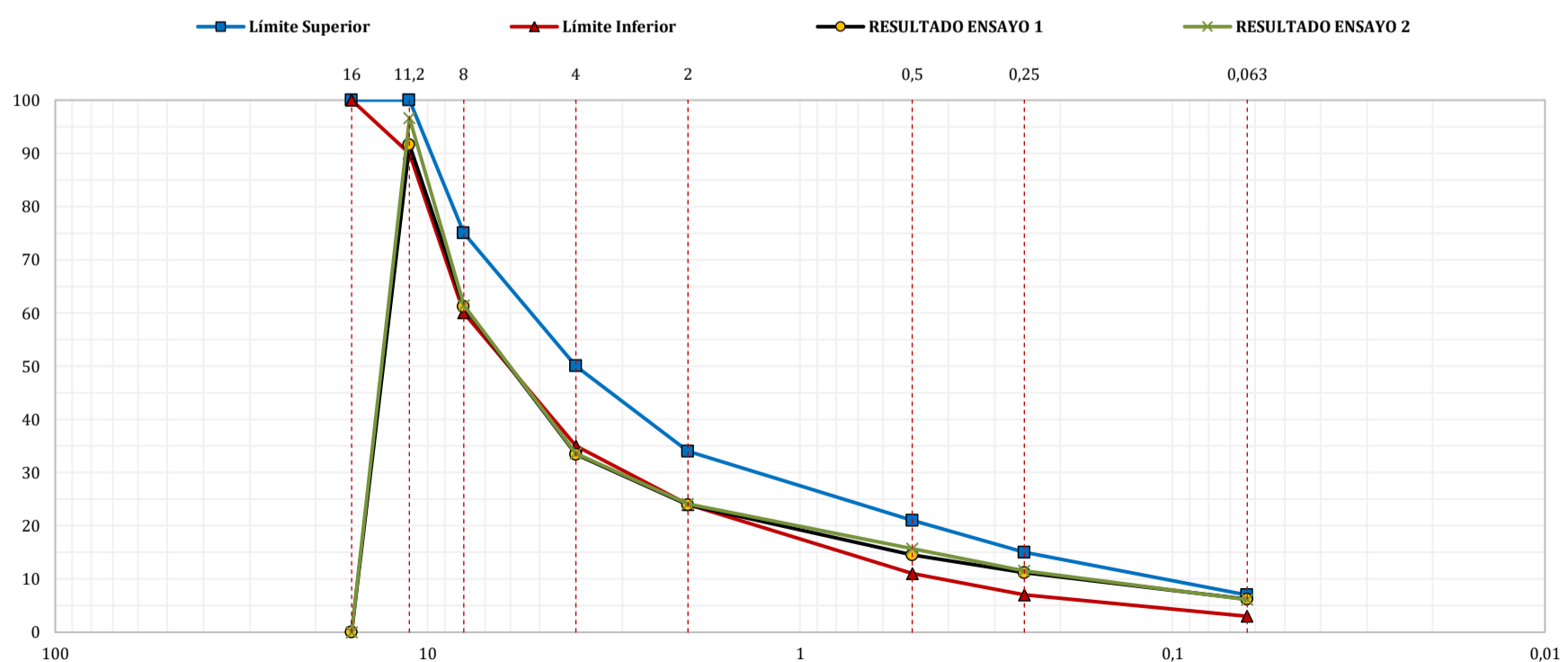
RESULTADOS ENSAYO 1

Abertura Tamiz (mm)	Masa Acumulada (g)	Masa Acumulada (%)	Masa Retenida (g)	Masa Que Pasa (%)	Límite Inferior (%)	Límite Superior (%)
16	0,00	0,0	0,00	0,0	100	100
11,2	138,50	8,4	138,50	91,6	90	100
8	639,00	30,4	500,50	61,2	60	75
4	1.099,00	27,9	460,00	33,4	35	50
2	1.255,50	9,5	156,50	23,9	24	34
0,5	1.409,50	9,3	154,00	14,5	11	21
0,25	1.463,50	3,3	54,00	11,2	7	15
0,063	1.547,00	5,1	83,50	6,2	3	7

RESULTADOS ENSAYO 2

Abertura Tamiz (mm)	Masa Acumulada (g)	Masa Acumulada (%)	Masa Retenida (g)	Masa Que Pasa (%)	Límite Inferior (%)	Límite Superior (%)
16	0,00	0,0	0,00	0,0	100	100
11,2	61,00	3,4	61,00	96,6	90	100
8	697,50	35,2	636,50	61,4	60	75
4	1.200,50	27,8	503,00	33,6	35	50
2	1.372,00	9,5	171,50	24,1	24	34
0,5	1.523,50	8,4	151,50	15,7	11	21
0,25	1.599,50	4,2	76,00	11,5	7	15
0,063	1.697,00	5,4	97,50	6,1	3	7

GRÁFICOS ENSAYOS 1 Y 2



Representación gráfica "Abertura del Tamiz (eje X ; representación semilogarítmica ; %) vs Masa Que Pasa (eje Y ; representación lineal ; %)".

ANÁLISIS DE RESULTADOS EILA 22

UNE-EN 12697-2:2015 y UNE-EN 12697-2:2015+A1:2022. Mezclas bituminosas. Métodos de ensayo. Parte 2: Determinación de la granulometría de las partículas.

GRÁFICOS GRANULOMÉTRICOS LABORATORIO 246

CONTENIDO LIGANTE POR IGNICION

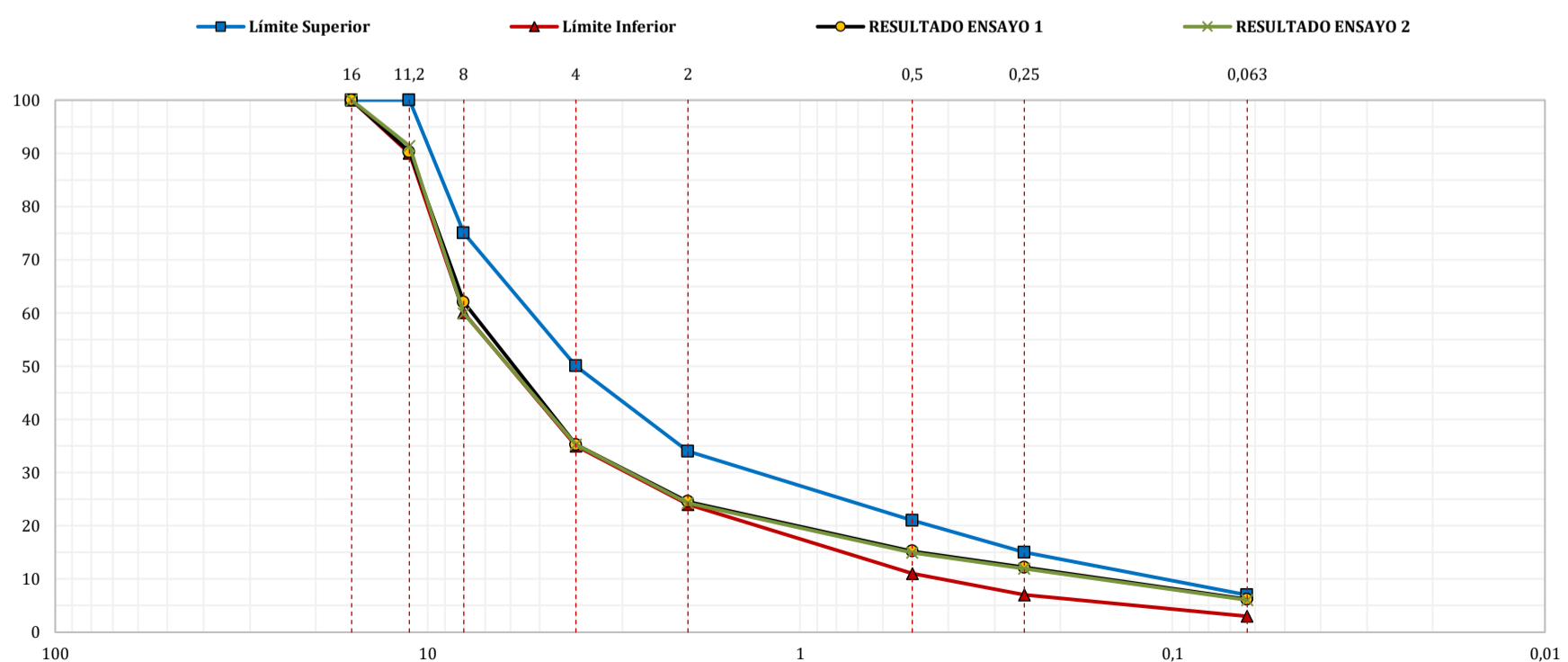
RESULTADOS ENSAYO 1

Abertura Tamiz (mm)	Masa Acumulada (g)	Masa Acumulada (%)	Masa Retenida (g)	Masa Que Pasa (%)	Límite Inferior (%)	Límite Superior (%)
16	0,00	0,0	0,00	100,0	100	100
11,2	110,00	9,7	110,00	90,3	90	100
8	430,30	38,0	320,30	62,0	60	75
4	733,20	64,8	302,90	35,2	35	50
2	854,40	75,4	121,20	24,6	24	34
0,5	959,50	84,8	105,10	15,2	11	21
0,25	993,90	87,8	34,40	12,2	7	15
0,063	1.062,00	93,8	68,10	6,2	3	7

RESULTADOS ENSAYO 2

Abertura Tamiz (mm)	Masa Acumulada (g)	Masa Acumulada (%)	Masa Retenida (g)	Masa Que Pasa (%)	Límite Inferior (%)	Límite Superior (%)
16	0,00	0,0	0,00	100,0	100	100
11,2	97,70	8,6	98,00	91,4	90	100
8	453,40	40,1	355,70	59,9	60	75
4	732,80	64,8	279,40	35,2	35	50
2	856,80	75,7	124,00	24,3	24	34
0,5	962,30	85,0	105,50	15,0	11	21
0,25	996,60	88,1	34,30	11,9	7	15
0,063	1.063,20	93,9	66,60	6,1	3	7

GRÁFICOS ENSAYOS 1 Y 2



Representación gráfica "Abertura del Tamiz (eje X ; representación semilogarítmica ; %) vs Masa Que Pasa (eje Y ; representación lineal ; %)".

ANÁLISIS DE RESULTADOS EILA 22

UNE-EN 12697-2:2015 y UNE-EN 12697-2:2015+A1:2022. Mezclas bituminosas. Métodos de ensayo. Parte 2: Determinación de la granulometría de las partículas.

GRÁFICOS GRANULOMÉTRICOS LABORATORIO 247

CONTENIDO LIGANTE POR IGNICION

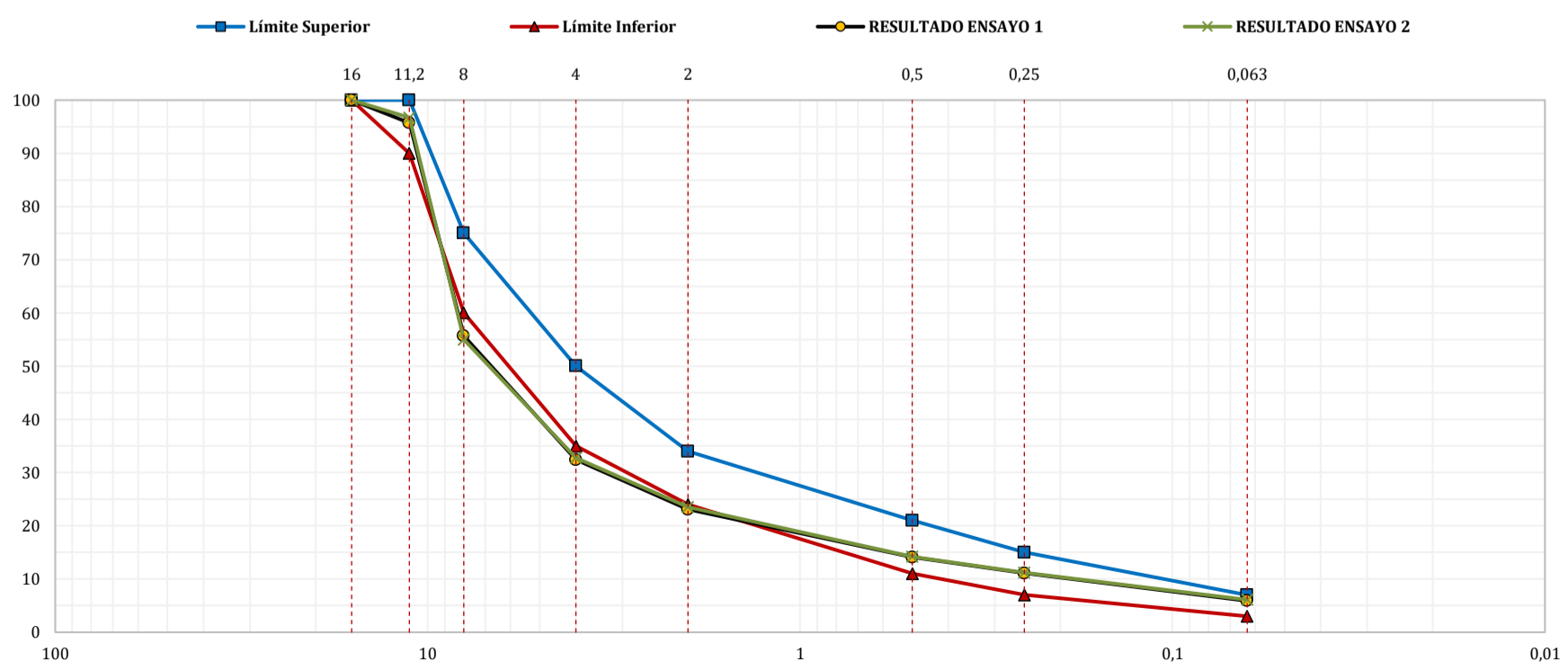
RESULTADOS ENSAYO 1

Abertura Tamiz (mm)	Masa Acumulada (g)	Masa Acumulada (%)	Masa Retenida (g)	Masa Que Pasa (%)	Límite Inferior (%)	Límite Superior (%)
16	-	-	-	100,0	100	100
11,2	49,90	4,3	1.162,20	95,7	90	100
8	516,00	44,3	650,10	55,7	60	75
4	788,20	67,6	377,90	32,4	35	50
2	896,40	76,9	269,70	23,1	24	34
0,5	1.002,00	85,9	164,10	14,1	11	21
0,25	1.036,20	88,9	129,60	11,1	7	15
0,063	1.094,50	93,8	68,30	5,9	3	7

RESULTADOS ENSAYO 2

Abertura Tamiz (mm)	Masa Acumulada (g)	Masa Acumulada (%)	Masa Retenida (g)	Masa Que Pasa (%)	Límite Inferior (%)	Límite Superior (%)
16	-	-	-	100,0	100	100
11,2	40,30	3,3	1.171,10	96,7	90	100
8	545,60	45,0	665,80	55,0	60	75
4	814,50	67,2	396,90	32,8	35	50
2	927,20	76,5	284,20	23,5	24	34
0,5	1.039,00	85,8	172,40	14,2	11	21
0,25	1.075,20	88,7	136,20	11,2	7	15
0,063	1.138,10	93,9	73,30	6,1	3	7

GRÁFICOS ENSAYOS 1 Y 2



Representación gráfica "Abertura del Tamiz (eje X ; representación semilogarítmica ; %) vs Masa Que Pasa (eje Y ; representación lineal ; %)".

ANÁLISIS DE RESULTADOS EILA 22

UNE-EN 12697-2:2015 y UNE-EN 12697-2:2015+A1:2022. Mezclas bituminosas. Métodos de ensayo. Parte 2: Determinación de la granulometría de las partículas.

GRÁFICOS GRANULOMÉTRICOS LABORATORIO 249

CONTENIDO LIGANTE POR IGNICION

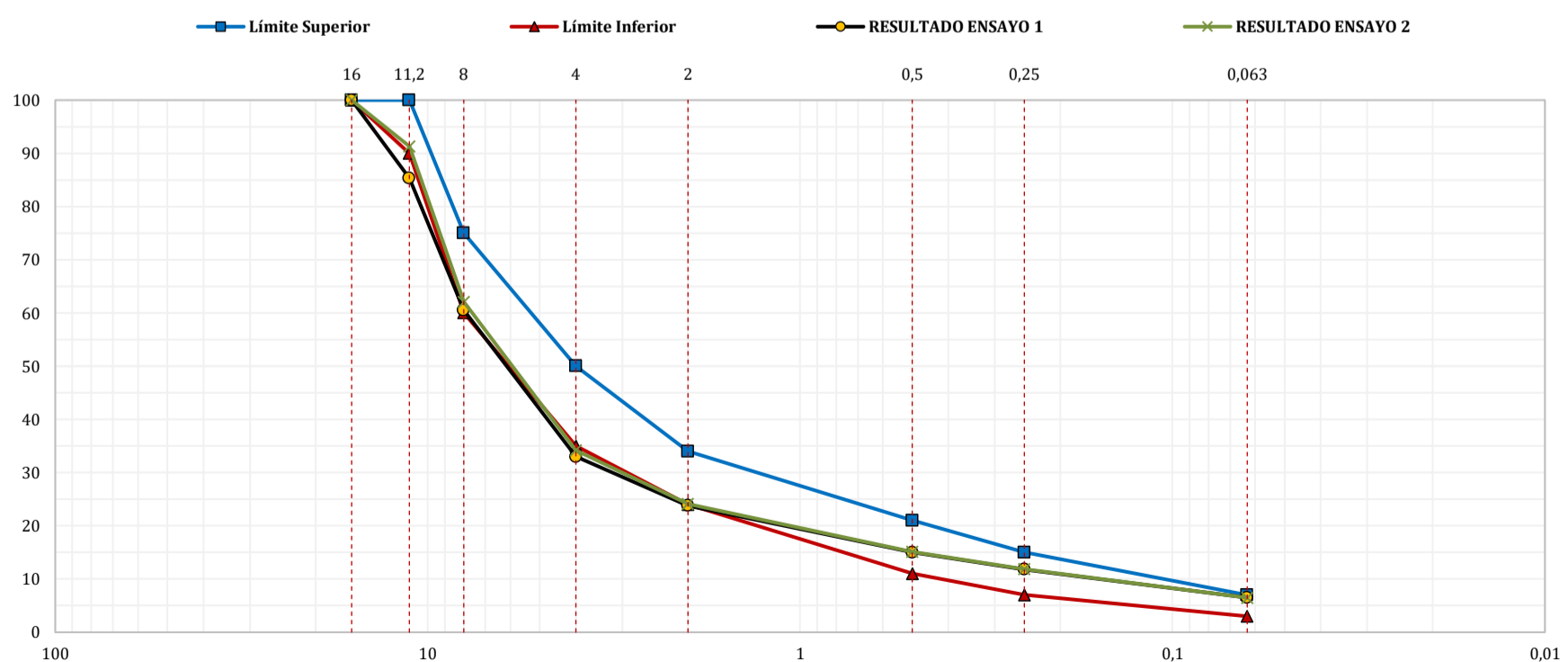
RESULTADOS ENSAYO 1

Abertura Tamiz (mm)	Masa Acumulada (g)	Masa Acumulada (%)	Masa Retenida (g)	Masa Que Pasa (%)	Límite Inferior (%)	Límite Superior (%)
16	0,00	0,0	0,00	100,0	100	100
11,2	178,00	14,7	178,00	85,3	90	100
8	477,65	39,5	299,65	60,5	60	75
4	810,38	67,0	332,73	33,0	35	50
2	922,73	76,2	112,35	23,8	24	34
0,5	1.029,08	85,0	106,35	15,0	11	21
0,25	1.067,16	88,2	38,08	11,8	7	15
0,063	1.131,78	93,5	64,62	6,5	3	7

RESULTADOS ENSAYO 2

Abertura Tamiz (mm)	Masa Acumulada (g)	Masa Acumulada (%)	Masa Retenida (g)	Masa Que Pasa (%)	Límite Inferior (%)	Límite Superior (%)
16	0,00	0,0	0,00	100,0	100	100
11,2	101,34	8,7	101,34	91,3	90	100
8	441,95	37,9	340,61	62,1	60	75
4	766,30	65,8	324,35	34,2	35	50
2	884,38	75,9	118,08	24,1	24	34
0,5	989,45	84,9	105,07	15,1	11	21
0,25	1.026,17	88,1	36,72	11,9	7	15
0,063	1.088,83	93,5	62,66	6,5	3	7

GRÁFICOS ENSAYOS 1 Y 2



Representación gráfica "Abertura del Tamiz (eje X ; representación semilogarítmica ; %) vs Masa Que Pasa (eje Y ; representación lineal ; %)".

ANÁLISIS DE RESULTADOS EILA 22

UNE-EN 12697-2:2015 y UNE-EN 12697-2:2015+A1:2022. Mezclas bituminosas. Métodos de ensayo. Parte 2: Determinación de la granulometría de las partículas.

GRÁFICOS GRANULOMÉTRICOS LABORATORIO 251

CONTENIDO LIGANTE POR IGNICION

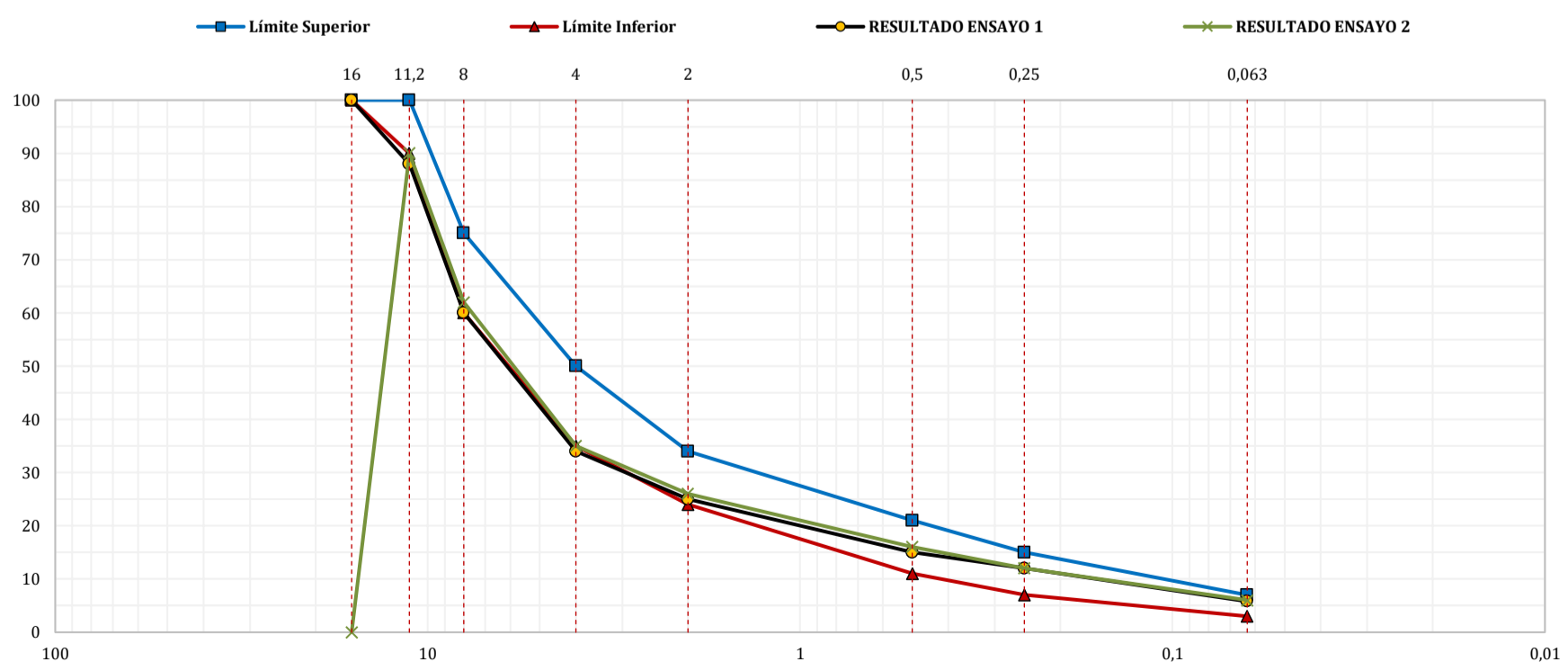
RESULTADOS ENSAYO 1

Abertura Tamiz (mm)	Masa Acumulada (g)	Masa Acumulada (%)	Masa Retenida (g)	Masa Que Pasa (%)	Límite Inferior (%)	Límite Superior (%)
16	0,00	0,0	0,00	100,0	100	100
11,2	144,80	12,0	144,80	88,0	90	100
8	495,80	40,0	351,00	60,0	60	75
4	815,50	66,0	319,70	34,0	35	50
2	916,40	75,0	100,90	25,0	24	34
0,5	1.039,40	85,0	123,00	15,0	11	21
0,25	1.083,40	88,0	44,00	12,0	7	15
0,063	1.155,90	94,2	72,50	5,8	3	7

RESULTADOS ENSAYO 2

Abertura Tamiz (mm)	Masa Acumulada (g)	Masa Acumulada (%)	Masa Retenida (g)	Masa Que Pasa (%)	Límite Inferior (%)	Límite Superior (%)
16	0,00	0,0	0,00	0,0	100	100
11,2	143,40	10,0	143,00	90,0	90	100
8	528,10	38,0	384,70	62,0	60	75
4	914,20	65,0	386,10	35,0	35	50
2	1.034,20	74,0	120,00	26,0	24	34
0,5	1.182,40	84,0	148,20	16,0	11	21
0,25	1.234,10	88,0	51,70	12,0	7	15
0,063	1.316,20	94,0	82,10	6,0	3	7

GRÁFICOS ENSAYOS 1 Y 2



Representación gráfica "Abertura del Tamiz (eje X ; representación semilogarítmica ; %) vs Masa Que Pasa (eje Y ; representación lineal ; %)".

ANÁLISIS DE RESULTADOS EILA 22

UNE-EN 12697-2:2015 y UNE-EN 12697-2:2015+A1:2022. Mezclas bituminosas. Métodos de ensayo. Parte 2: Determinación de la granulometría de las partículas.

GRÁFICOS GRANULOMÉTRICOS LABORATORIO 253

CONTENIDO LIGANTE POR IGNICION

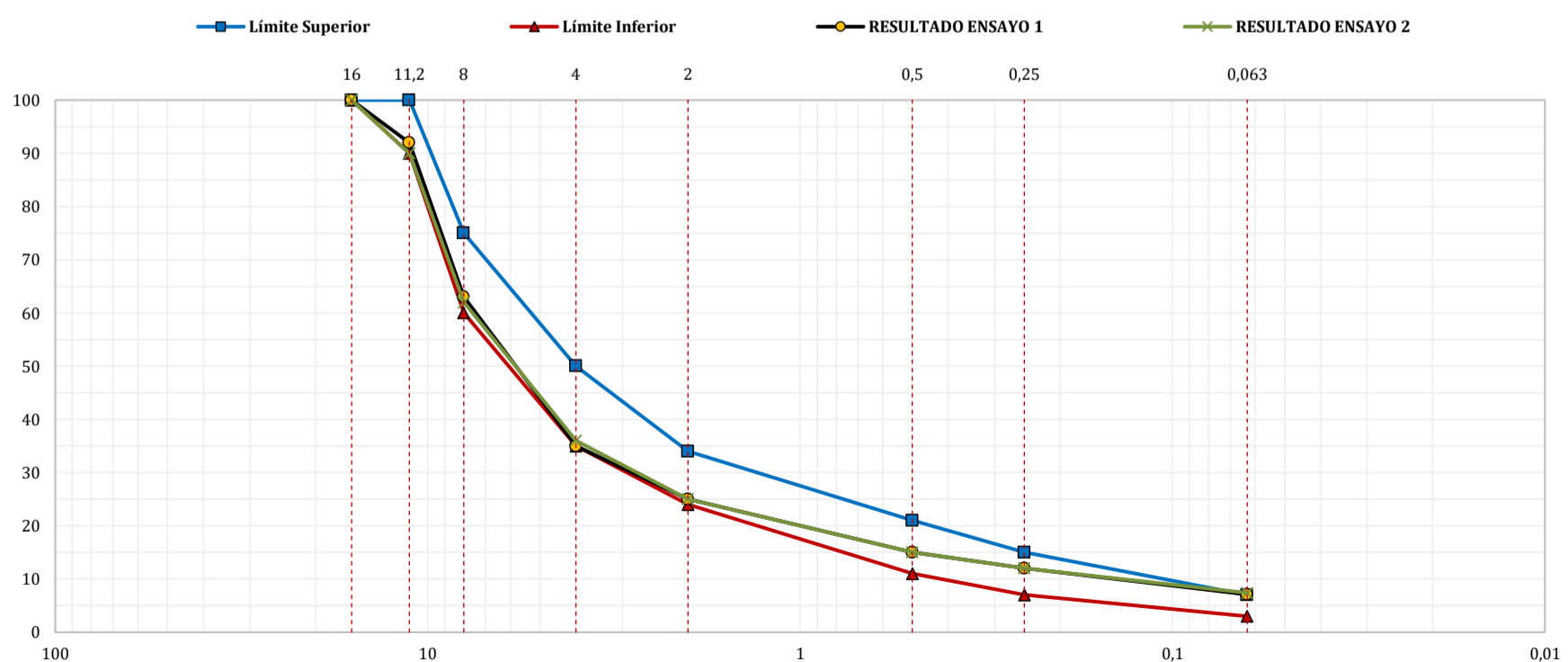
RESULTADOS ENSAYO 1

Abertura Tamiz (mm)	Masa Acumulada (g)	Masa Acumulada (%)	Masa Retenida (g)	Masa Que Pasa (%)	Límite Inferior (%)	Límite Superior (%)
16	0,00	0,0	0,00	100,0	100	100
11,2	89,30	8,0	89,30	92,0	90	100
8	413,60	37,0	324,30	63,0	60	75
4	731,20	65,0	317,60	35,0	35	50
2	851,50	75,0	120,30	25,0	24	34
0,5	957,60	85,0	106,10	15,0	11	21
0,25	992,80	88,0	35,20	12,0	7	15
0,063	1.050,90	92,9	58,10	7,1	3	7

RESULTADOS ENSAYO 2

Abertura Tamiz (mm)	Masa Acumulada (g)	Masa Acumulada (%)	Masa Retenida (g)	Masa Que Pasa (%)	Límite Inferior (%)	Límite Superior (%)
16	0,00	0,0	0,00	100,0	100	100
11,2	124,30	10,0	124,30	90,0	90	100
8	451,70	38,0	327,40	62,0	60	75
4	764,20	64,0	312,50	36,0	35	50
2	892,50	75,0	128,30	25,0	24	34
0,5	1.004,10	85,0	111,60	15,0	11	21
0,25	1.040,40	88,0	36,30	12,0	7	15
0,063	1.098,70	92,6	58,30	7,4	3	7

GRÁFICOS ENSAYOS 1 Y 2



Representación gráfica "Abertura del Tamiz (eje X ; representación semilogarítmica ; %) vs Masa Que Pasa (eje Y ; representación lineal ; %)".

ANÁLISIS DE RESULTADOS EILA 22

UNE-EN 12697-2:2015 y UNE-EN 12697-2:2015+A1:2022. Mezclas bituminosas. Métodos de ensayo. Parte 2: Determinación de la granulometría de las partículas.

GRÁFICOS GRANULOMÉTRICOS LABORATORIO 259

CONTENIDO LIGANTE POR IGNICION

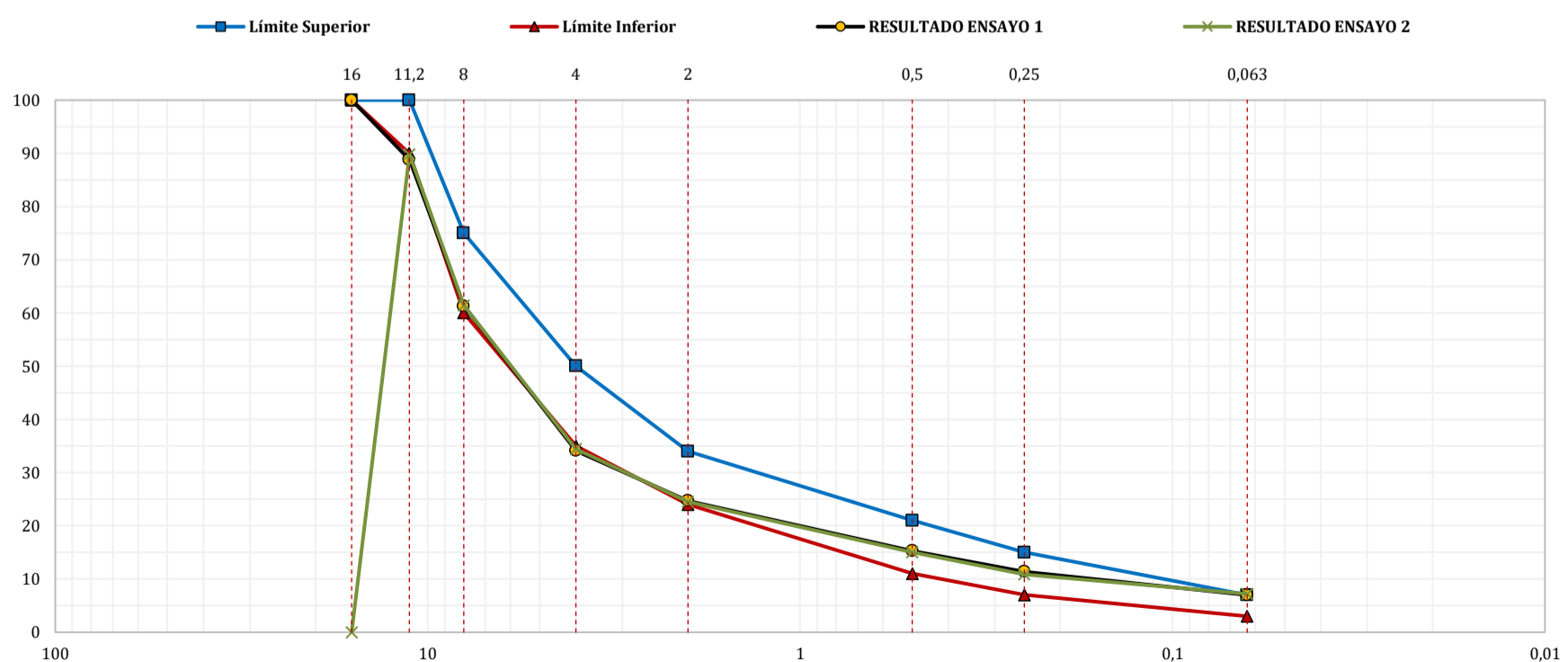
RESULTADOS ENSAYO 1

Abertura Tamiz (mm)	Masa Acumulada (g)	Masa Acumulada (%)	Masa Retenida (g)	Masa Que Pasa (%)	Límite Inferior (%)	Límite Superior (%)
16	0,00	0,0	0,00	100,0	100	100
11,2	104,20	11,2	104,20	88,8	90	100
8	361,20	38,7	257,00	61,3	60	75
4	615,20	65,9	254,00	34,1	35	50
2	702,70	75,3	87,50	24,7	24	34
0,5	790,10	84,7	87,40	15,3	11	21
0,25	826,40	88,6	36,30	11,4	7	15
0,063	867,60	93,0	41,20	7,0	3	7

RESULTADOS ENSAYO 2

Abertura Tamiz (mm)	Masa Acumulada (g)	Masa Acumulada (%)	Masa Retenida (g)	Masa Que Pasa (%)	Límite Inferior (%)	Límite Superior (%)
16	0,00	0,0	0,00	0,0	100	100
11,2	102,10	10,2	102,10	89,8	90	100
8	384,70	38,6	282,60	61,4	60	75
4	654,10	65,6	269,40	34,4	35	50
2	752,30	75,5	98,40	24,5	24	34
0,5	846,70	85,0	94,40	15,0	11	21
0,25	887,30	89,1	40,60	10,9	7	15
0,063	924,20	92,8	36,90	7,2	3	7

GRÁFICOS ENSAYOS 1 Y 2



Representación gráfica "Abertura del Tamiz (eje X ; representación semilogarítmica ; %) vs Masa Que Pasa (eje Y ; representación lineal ; %)".

ANÁLISIS DE RESULTADOS EILA 22

UNE-EN 12697-2:2015 y UNE-EN 12697-2:2015+A1:2022. Mezclas bituminosas. Métodos de ensayo. Parte 2: Determinación de la granulometría de las partículas.

GRÁFICOS GRANULOMÉTRICOS LABORATORIO 262

CONTENIDO LIGANTE POR IGNICION

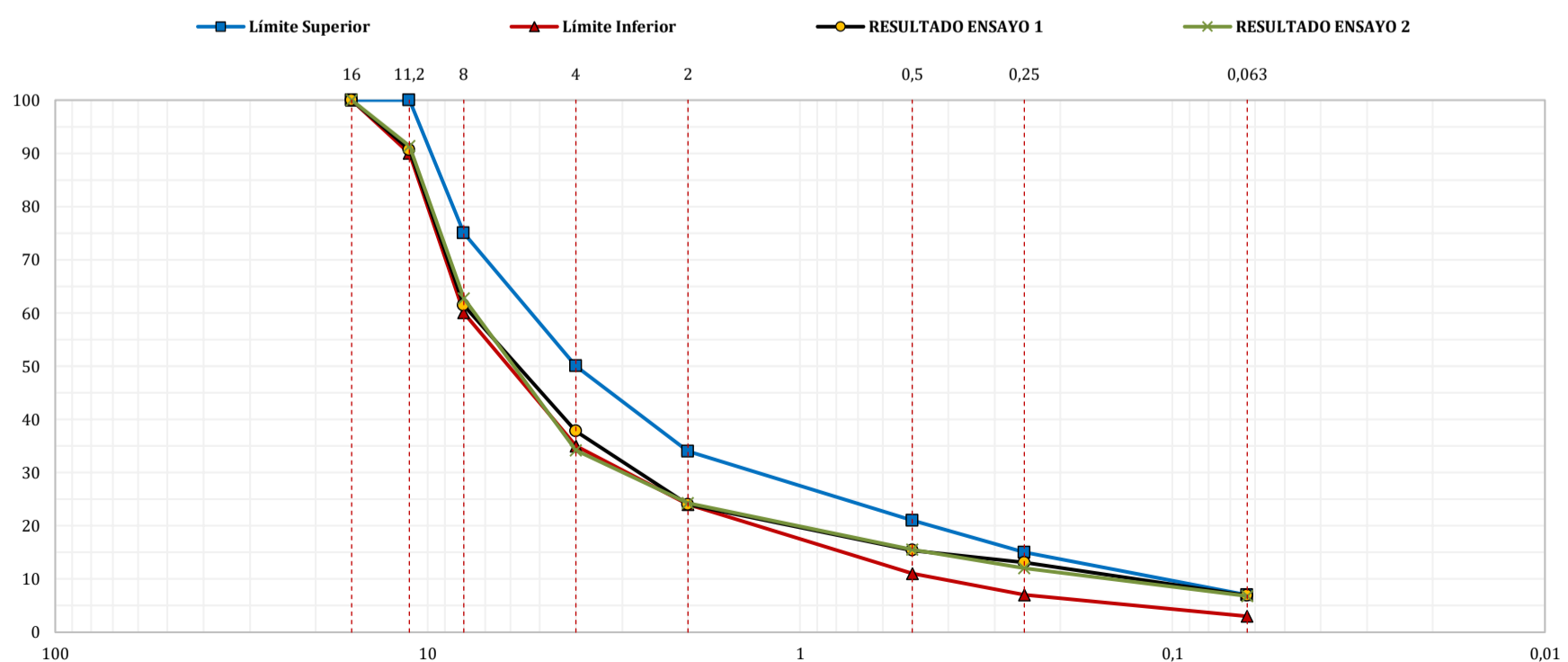
RESULTADOS ENSAYO 1

Abertura Tamiz (mm)	Masa Acumulada (g)	Masa Acumulada (%)	Masa Retenida (g)	Masa Que Pasa (%)	Límite Inferior (%)	Límite Superior (%)
16	0,00	0,0	0,00	100,0	100	100
11,2	105,80	9,3	106,00	90,7	90	100
8	437,00	38,6	331,00	61,4	60	75
4	749,90	66,2	313,00	37,8	35	50
2	861,20	76,0	111,00	24,0	24	34
0,5	958,70	84,6	98,00	15,4	11	21
0,25	985,40	86,9	26,00	13,1	7	15
0,063	1.054,90	93,1	70,00	6,9	3	7

RESULTADOS ENSAYO 2

Abertura Tamiz (mm)	Masa Acumulada (g)	Masa Acumulada (%)	Masa Retenida (g)	Masa Que Pasa (%)	Límite Inferior (%)	Límite Superior (%)
16	0,00	0,0	0,00	100,0	100	100
11,2	97,80	8,6	98,00	91,4	90	100
8	422,80	37,3	325,00	62,7	60	75
4	746,50	65,8	324,00	34,2	35	50
2	858,40	75,7	111,00	24,3	24	34
0,5	958,50	84,5	101,00	15,5	11	21
0,25	998,10	88,0	39,00	12,0	7	15
0,063	1.056,70	93,2	59,00	6,8	3	7

GRÁFICOS ENSAYOS 1 Y 2



Representación gráfica "Abertura del Tamiz (eje X ; representación semilogarítmica ; %) vs Masa Que Pasa (eje Y ; representación lineal ; %)".

ANÁLISIS DE RESULTADOS EILA 22

UNE-EN 12697-2:2015 y UNE-EN 12697-2:2015+A1:2022. Mezclas bituminosas. Métodos de ensayo. Parte 2: Determinación de la granulometría de las partículas.

GRÁFICOS GRANULOMÉTRICOS LABORATORIO 267

CONTENIDO LIGANTE POR IGNICION

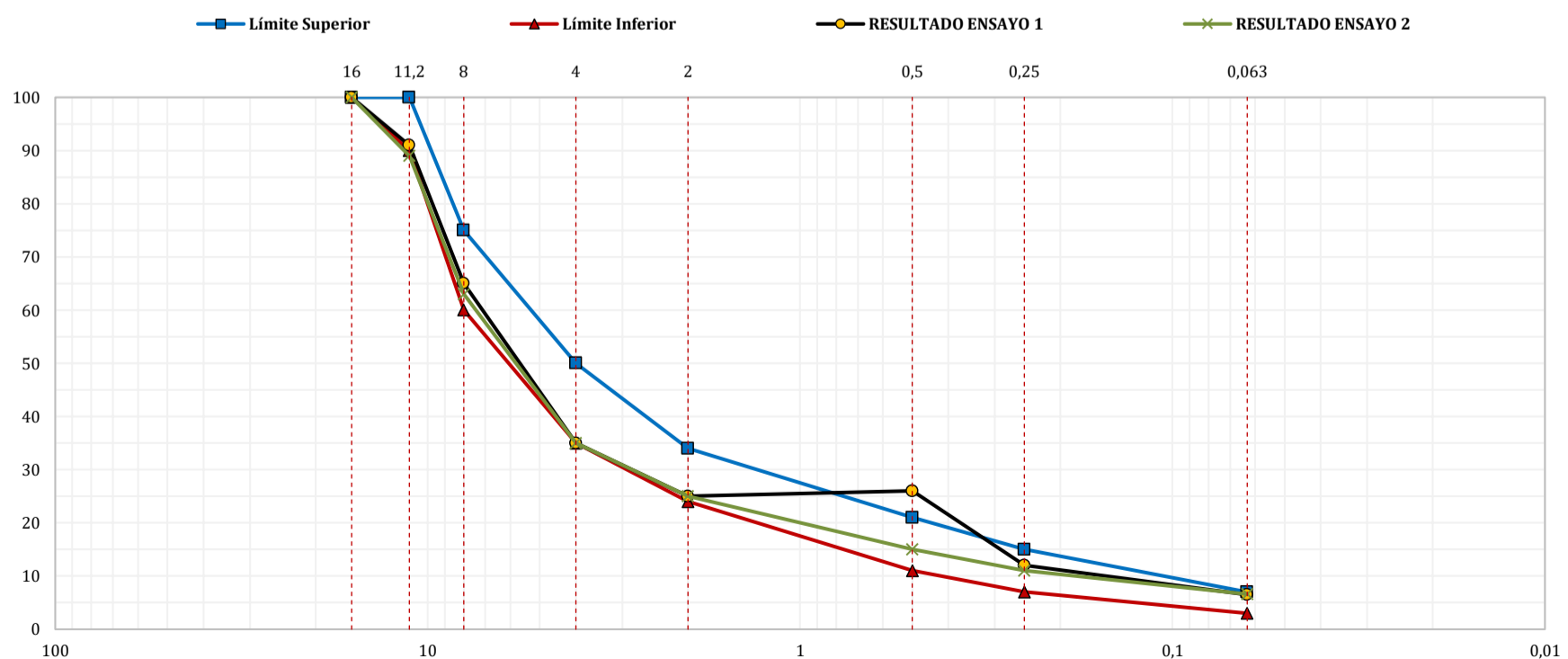
RESULTADOS ENSAYO 1

Abertura Tamiz (mm)	Masa Acumulada (g)	Masa Acumulada (%)	Masa Retenida (g)	Masa Que Pasa (%)	Límite Inferior (%)	Límite Superior (%)
16				100,0	100	100
11,2			103,00	91,0	90	100
8			306,00	65,0	60	75
4			358,00	35,0	35	50
2			116,00	25,0	24	34
0,5			111,00	26,0	11	21
0,25			37,00	12,0	7	15
0,063			70,00	6,5	3	7

RESULTADOS ENSAYO 2

Abertura Tamiz (mm)	Masa Acumulada (g)	Masa Acumulada (%)	Masa Retenida (g)	Masa Que Pasa (%)	Límite Inferior (%)	Límite Superior (%)
16				100,0	100	100
11,2			137,00	89,0	90	100
8			317,00	63,0	60	75
4			342,00	35,0	35	50
2			128,00	25,0	24	34
0,5			125,00	15,0	11	21
0,25			49,00	11,0	7	15
0,063			50,00	6,6	3	7

GRÁFICOS ENSAYOS 1 Y 2



Representación gráfica "Abertura del Tamiz (eje X ; representación semilogarítmica ; %) vs Masa Que Pasa (eje Y ; representación lineal ; %)".

ANÁLISIS DE RESULTADOS EILA 22

UNE-EN 12697-2:2015 y UNE-EN 12697-2:2015+A1:2022. Mezclas bituminosas. Métodos de ensayo. Parte 2: Determinación de la granulometría de las partículas.

GRÁFICOS GRANULOMÉTRICOS LABORATORIO 273

CONTENIDO LIGANTE POR IGNICION

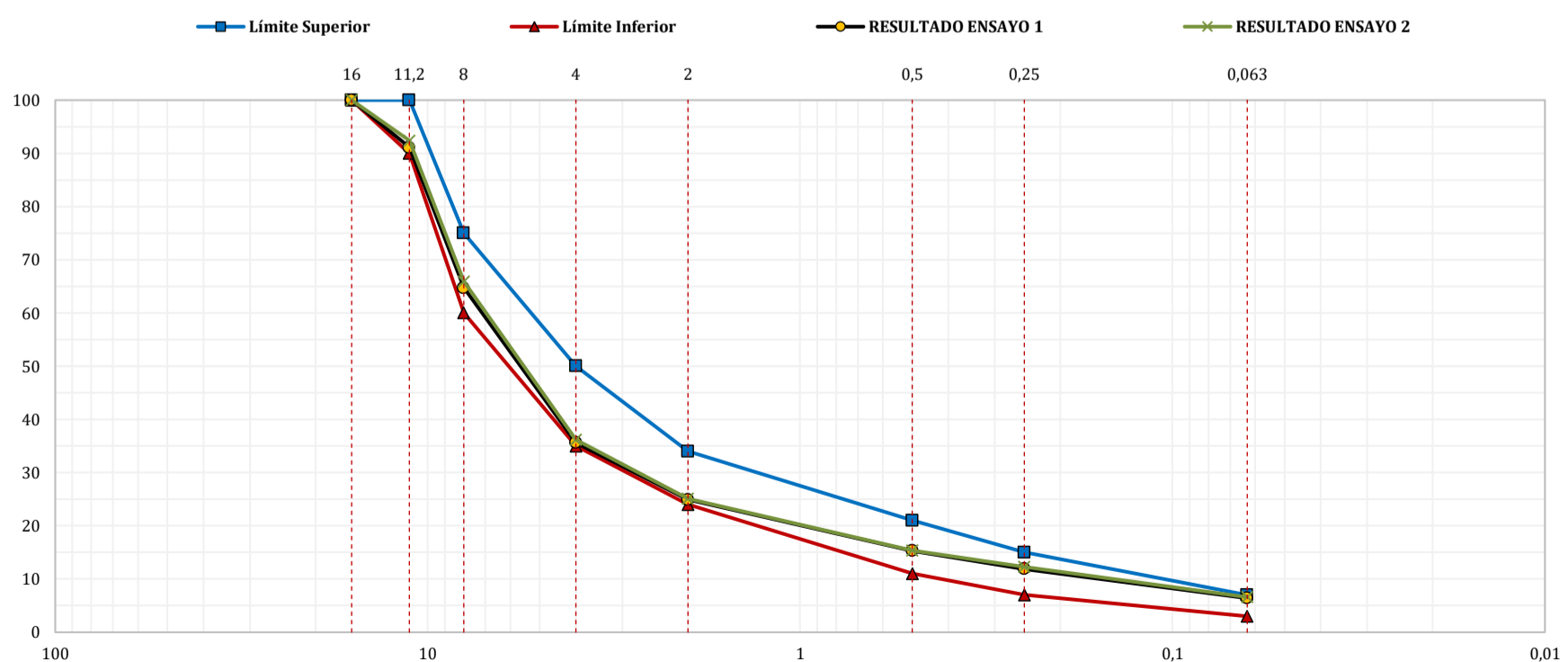
RESULTADOS ENSAYO 1

Abertura Tamiz (mm)	Masa Acumulada (g)	Masa Acumulada (%)	Masa Retenida (g)	Masa Que Pasa (%)	Límite Inferior (%)	Límite Superior (%)
16	0,00	0,0	0,00	100,0	100	100
11,2	144,40	8,9	144,40	91,1	90	100
8	571,50	35,3	427,10	64,7	60	75
4	1.041,70	64,4	470,20	35,6	35	50
2	1.213,80	75,1	172,10	24,9	24	34
0,5	1.370,10	84,7	156,20	15,3	11	21
0,25	1.423,60	88,1	53,50	11,9	7	15
0,063	1.513,10	93,6	89,50	6,4	3	7

RESULTADOS ENSAYO 2

Abertura Tamiz (mm)	Masa Acumulada (g)	Masa Acumulada (%)	Masa Retenida (g)	Masa Que Pasa (%)	Límite Inferior (%)	Límite Superior (%)
16	0,00	0,0	0,00	100,0	100	100
11,2	122,80	7,6	122,80	92,4	90	100
8	549,00	34,1	426,20	65,9	60	75
4	1.026,80	63,8	477,80	36,2	35	50
2	1.204,60	74,9	177,20	25,1	24	34
0,5	1.360,70	84,6	156,10	15,4	11	21
0,25	1.411,00	87,7	50,30	12,3	7	15
0,063	1.502,10	93,4	91,10	6,6	3	7

GRÁFICOS ENSAYOS 1 Y 2



Representación gráfica "Abertura del Tamiz (eje X ; representación semilogarítmica ; %) vs Masa Que Pasa (eje Y ; representación lineal ; %)".

ANÁLISIS DE RESULTADOS EILA 22

UNE-EN 12697-2:2015 y UNE-EN 12697-2:2015+A1:2022. Mezclas bituminosas. Métodos de ensayo. Parte 2: Determinación de la granulometría de las partículas.

GRÁFICOS GRANULOMÉTRICOS LABORATORIO 275

CONTENIDO LIGANTE POR IGNICION

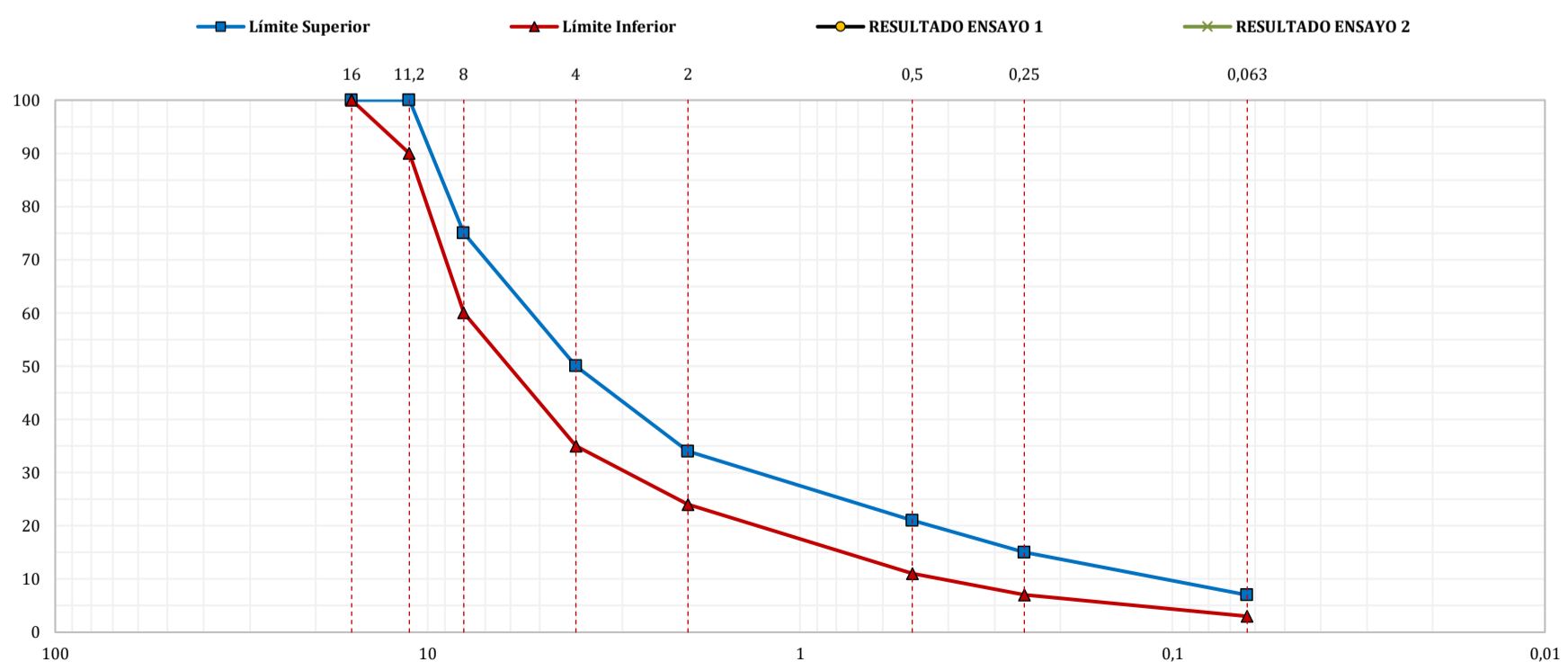
RESULTADOS ENSAYO 1

Abertura Tamiz (mm)	Masa Acumulada (g)	Masa Acumulada (%)	Masa Retenida (g)	Masa Que Pasa (%)	Límite Inferior (%)	Límite Superior (%)
16					100	100
11,2					90	100
8					60	75
4					35	50
2					24	34
0,5					11	21
0,25					7	15
0,063					3	7

RESULTADOS ENSAYO 2

Abertura Tamiz (mm)	Masa Acumulada (g)	Masa Acumulada (%)	Masa Retenida (g)	Masa Que Pasa (%)	Límite Inferior (%)	Límite Superior (%)
16					100	100
11,2					90	100
8					60	75
4					35	50
2					24	34
0,5					11	21
0,25					7	15
0,063					3	7

GRÁFICOS ENSAYOS 1 Y 2



Representación gráfica "Abertura del Tamiz (eje X ; representación semilogarítmica ; %) vs Masa Que Pasa (eje Y ; representación lineal ; %)".

ANÁLISIS DE RESULTADOS EILA 22

UNE-EN 12697-2:2015 y UNE-EN 12697-2:2015+A1:2022. Mezclas bituminosas. Métodos de ensayo. Parte 2: Determinación de la granulometría de las partículas.

GRÁFICOS GRANULOMÉTRICOS LABORATORIO 277

CONTENIDO LIGANTE POR IGNICION

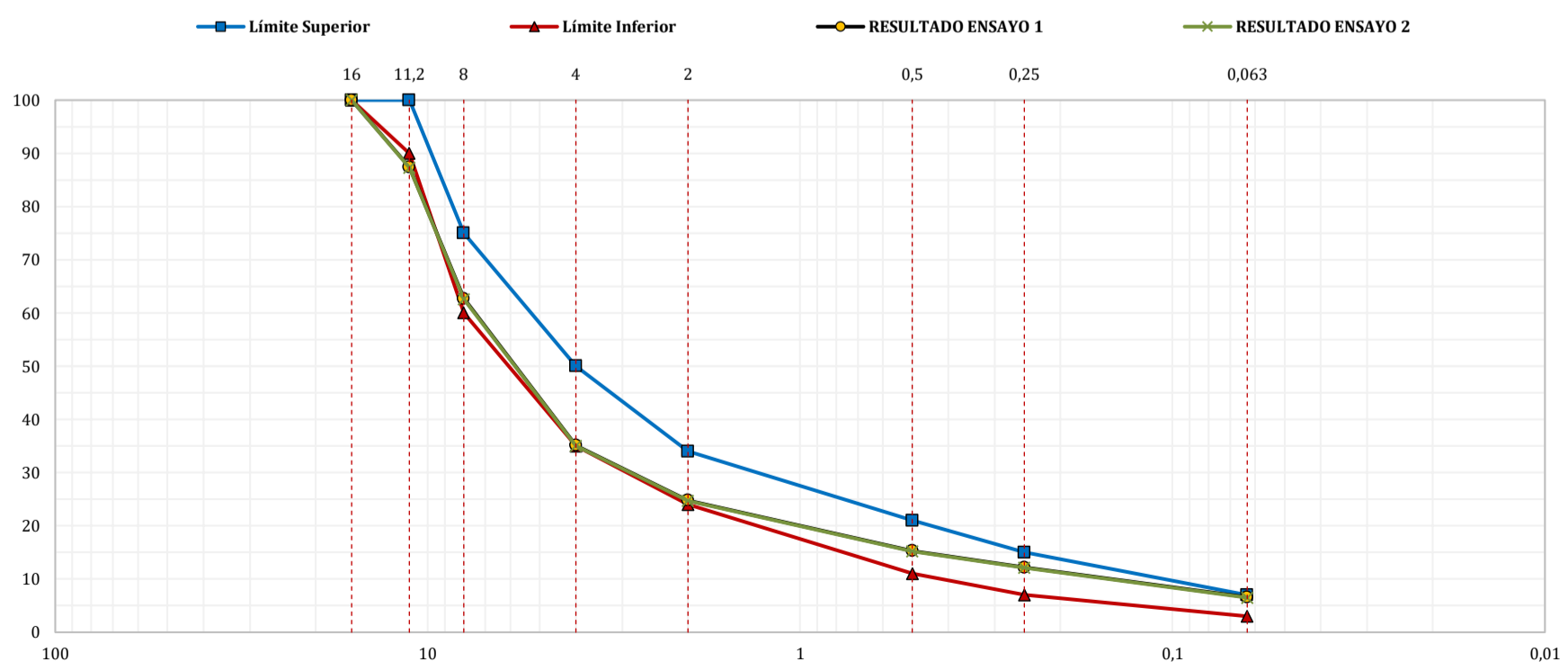
RESULTADOS ENSAYO 1

Abertura Tamiz (mm)	Masa Acumulada (g)	Masa Acumulada (%)	Masa Retenida (g)	Masa Que Pasa (%)	Límite Inferior (%)	Límite Superior (%)
16	0,00	0,0	0,00	100,0	100	100
11,2	142,60	12,6	142,60	87,4	90	100
8	422,20	37,3	279,60	62,7	60	75
4	734,10	64,9	311,90	35,1	35	50
2	851,40	75,2	117,30	24,8	24	34
0,5	957,90	84,7	106,50	15,3	11	21
0,25	993,40	87,8	35,50	12,2	7	15
0,063	1.057,00	93,4	63,60	6,6	3	7

RESULTADOS ENSAYO 2

Abertura Tamiz (mm)	Masa Acumulada (g)	Masa Acumulada (%)	Masa Retenida (g)	Masa Que Pasa (%)	Límite Inferior (%)	Límite Superior (%)
16	0,00	0,0	0,00	100,0	100	100
11,2	143,70	12,7	143,70	87,3	90	100
8	423,20	37,4	279,50	62,6	60	75
4	735,50	65,0	312,30	35,0	35	50
2	852,10	75,3	116,60	24,7	24	34
0,5	959,60	84,8	107,50	15,2	11	21
0,25	994,70	87,9	35,10	12,1	7	15
0,063	1.058,10	93,5	63,40	6,5	3	7

GRÁFICOS ENSAYOS 1 Y 2



Representación gráfica "Abertura del Tamiz (eje X ; representación semilogarítmica ; %) vs Masa Que Pasa (eje Y ; representación lineal ; %)".

ANÁLISIS DE RESULTADOS EILA 22

UNE-EN 12697-2:2015 y UNE-EN 12697-2:2015+A1:2022. Mezclas bituminosas. Métodos de ensayo. Parte 2: Determinación de la granulometría de las partículas.

GRÁFICOS GRANULOMÉTRICOS LABORATORIO 278

CONTENIDO LIGANTE POR IGNICION

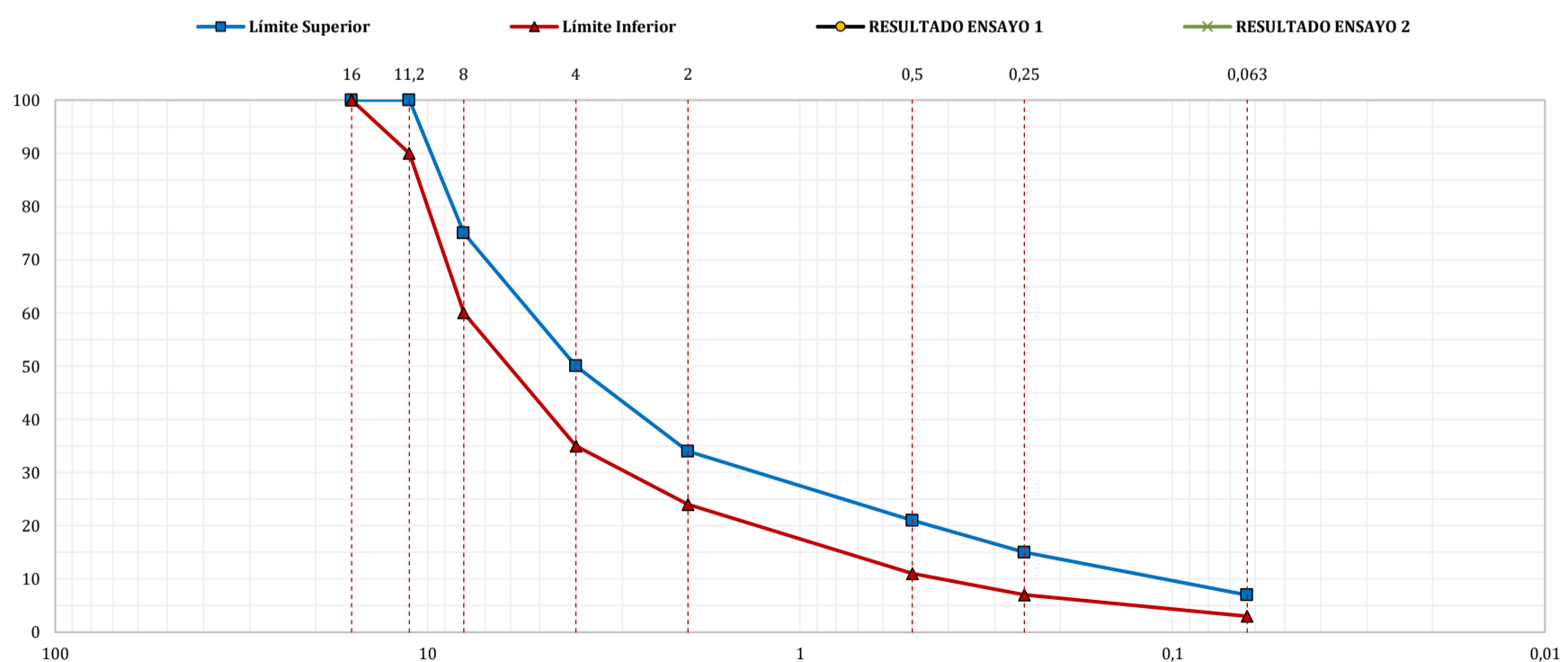
RESULTADOS ENSAYO 1

Abertura Tamiz (mm)	Masa Acumulada (g)	Masa Acumulada (%)	Masa Retenida (g)	Masa Que Pasa (%)	Límite Inferior (%)	Límite Superior (%)
16					100	100
11,2					90	100
8					60	75
4					35	50
2					24	34
0,5					11	21
0,25					7	15
0,063					3	7

RESULTADOS ENSAYO 2

Abertura Tamiz (mm)	Masa Acumulada (g)	Masa Acumulada (%)	Masa Retenida (g)	Masa Que Pasa (%)	Límite Inferior (%)	Límite Superior (%)
16					100	100
11,2					90	100
8					60	75
4					35	50
2					24	34
0,5					11	21
0,25					7	15
0,063					3	7

GRÁFICOS ENSAYOS 1 Y 2



Representación gráfica "Abertura del Tamiz (eje X ; representación semilogarítmica ; %) vs Masa Que Pasa (eje Y ; representación lineal ; %)".

ANÁLISIS DE RESULTADOS EILA 22

UNE-EN 12697-2:2015 y UNE-EN 12697-2:2015+A1:2022. Mezclas bituminosas. Métodos de ensayo. Parte 2: Determinación de la granulometría de las partículas.

GRÁFICOS GRANULOMÉTRICOS LABORATORIO 279

CONTENIDO LIGANTE POR IGNICION

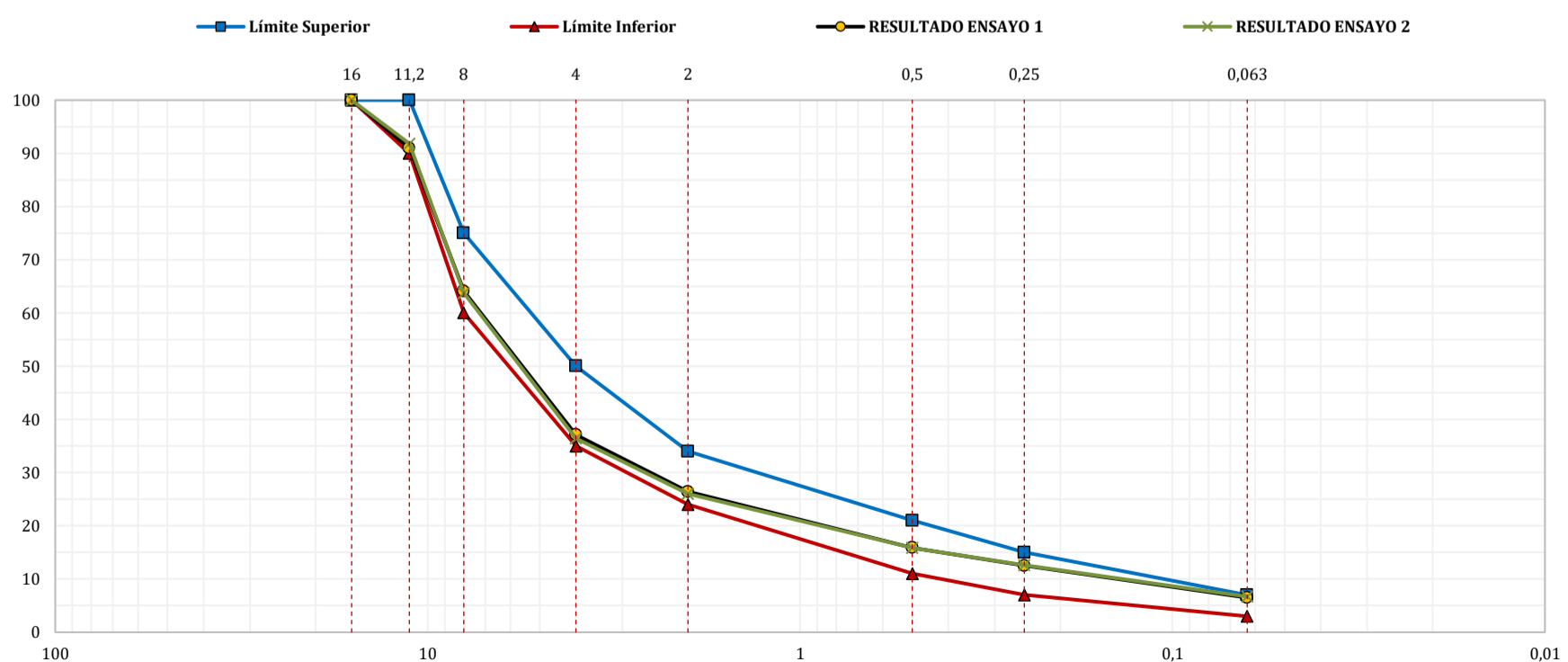
RESULTADOS ENSAYO 1

Abertura Tamiz (mm)	Masa Acumulada (g)	Masa Acumulada (%)	Masa Retenida (g)	Masa Que Pasa (%)	Límite Inferior (%)	Límite Superior (%)
16	0,00	0,0	0,00	100,0	100	100
11,2	187,70	9,0	187,70	91,0	90	100
8	749,60	35,9	561,90	64,1	60	75
4	1.311,80	62,9	562,20	37,1	35	50
2	1.535,40	73,6	223,60	26,4	24	34
0,5	1.754,60	84,1	219,20	15,9	11	21
0,25	1.825,10	87,5	70,50	12,5	7	15
0,063	1.949,00	93,5	123,90	6,5	3	7

RESULTADOS ENSAYO 2

Abertura Tamiz (mm)	Masa Acumulada (g)	Masa Acumulada (%)	Masa Retenida (g)	Masa Que Pasa (%)	Límite Inferior (%)	Límite Superior (%)
16	0,00	0,0	0,00	100,0	100	100
11,2	199,10	8,2	199,00	91,8	90	100
8	884,00	36,3	684,90	63,7	60	75
4	1.550,20	63,6	666,20	36,4	35	50
2	1.803,30	74,0	253,10	26,0	24	34
0,5	2.049,30	84,1	246,00	15,9	11	21
0,25	2.129,60	87,4	80,30	12,6	7	15
0,063	2.273,80	93,3	144,20	6,7	3	7

GRÁFICOS ENSAYOS 1 Y 2



Representación gráfica "Abertura del Tamiz (eje X ; representación semilogarítmica ; %) vs Masa Que Pasa (eje Y ; representación lineal ; %)".

ANÁLISIS DE RESULTADOS EILA 22

UNE-EN 12697-2:2015 y UNE-EN 12697-2:2015+A1:2022. Mezclas bituminosas. Métodos de ensayo. Parte 2: Determinación de la granulometría de las partículas.

GRÁFICOS GRANULOMÉTRICOS LABORATORIO 280

CONTENIDO LIGANTE POR IGNICION

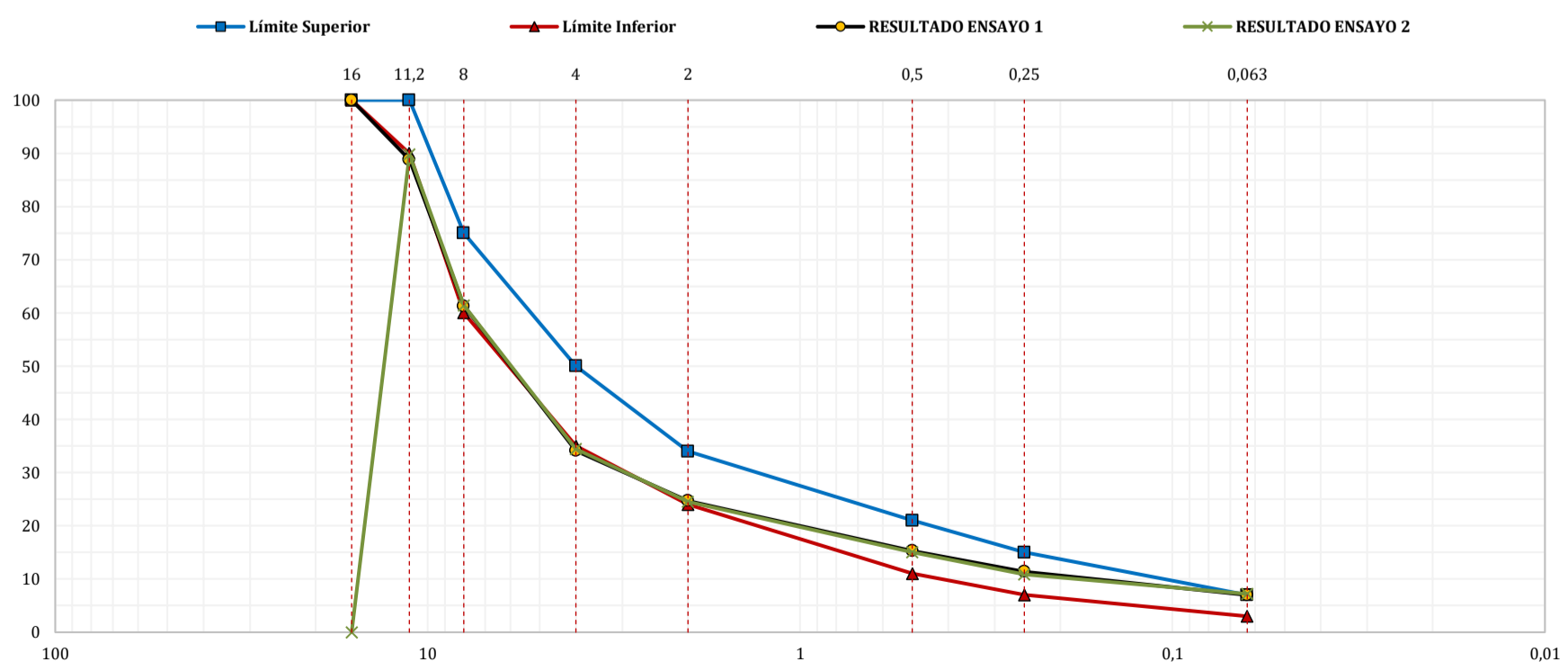
RESULTADOS ENSAYO 1

Abertura Tamiz (mm)	Masa Acumulada (g)	Masa Acumulada (%)	Masa Retenida (g)	Masa Que Pasa (%)	Límite Inferior (%)	Límite Superior (%)
16	0,00	0,0	0,00	100,0	100	100
11,2	104,20	11,2	104,20	88,8	90	100
8	361,20	38,7	257,00	61,3	60	75
4	615,20	65,9	254,00	34,1	35	50
2	702,70	75,3	87,50	24,7	24	34
0,5	790,10	84,7	87,40	15,3	11	21
0,25	826,40	88,6	36,30	11,4	7	15
0,063	867,60	93,0	41,20	7,0	3	7

RESULTADOS ENSAYO 2

Abertura Tamiz (mm)	Masa Acumulada (g)	Masa Acumulada (%)	Masa Retenida (g)	Masa Que Pasa (%)	Límite Inferior (%)	Límite Superior (%)
16	0,00	0,0	0,00	0,0	100	100
11,2	102,10	10,2	102,10	89,8	90	100
8	384,70	38,6	282,60	61,4	60	75
4	654,10	65,6	269,40	34,4	35	50
2	752,30	75,5	98,40	24,5	24	34
0,5	846,70	85,0	94,40	15,0	11	21
0,25	887,30	89,1	40,60	10,9	7	15
0,063	924,20	92,8	36,90	7,2	3	7

GRÁFICOS ENSAYOS 1 Y 2



Representación gráfica "Abertura del Tamiz (eje X ; representación semilogarítmica ; %) vs Masa Que Pasa (eje Y ; representación lineal ; %)".

ANÁLISIS DE RESULTADOS EILA 22

UNE-EN 12697-2:2015 y UNE-EN 12697-2:2015+A1:2022. Mezclas bituminosas. Métodos de ensayo. Parte 2: Determinación de la granulometría de las partículas.

GRÁFICOS GRANULOMÉTRICOS LABORATORIO 281

CONTENIDO LIGANTE POR IGNICION

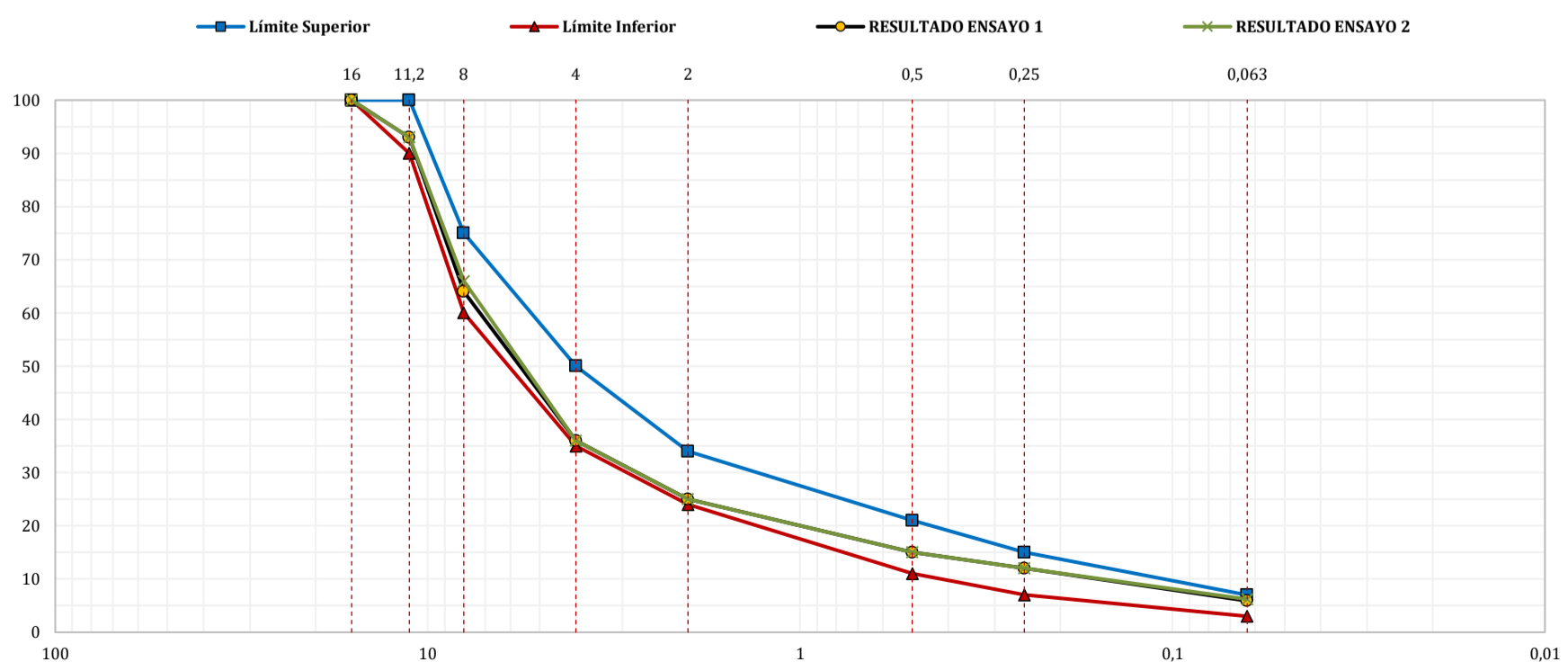
RESULTADOS ENSAYO 1

Abertura Tamiz (mm)	Masa Acumulada (g)	Masa Acumulada (%)	Masa Retenida (g)	Masa Que Pasa (%)	Límite Inferior (%)	Límite Superior (%)
16	0,00	0,0	0,00	100,0	100	100
11,2	79,70	7,0	79,70	93,0	90	100
8	412,20	36,0	333,50	64,0	60	75
4	730,80	64,0	317,60	36,0	35	50
2	855,10	75,0	124,30	25,0	24	34
0,5	960,60	85,0	105,50	15,0	11	21
0,25	997,50	88,0	36,90	12,0	7	15
0,063	1.067,00	94,0	69,50	5,9	3	7

RESULTADOS ENSAYO 2

Abertura Tamiz (mm)	Masa Acumulada (g)	Masa Acumulada (%)	Masa Retenida (g)	Masa Que Pasa (%)	Límite Inferior (%)	Límite Superior (%)
16	0,00	0,0	0,00	100,0	100	100
11,2	84,70	7,0	84,70	93,0	90	100
8	389,90	34,0	305,20	66,0	60	75
4	727,50	64,0	337,60	36,0	35	50
2	855,50	75,0	128,00	25,0	24	34
0,5	965,30	85,0	109,80	15,0	11	21
0,25	1.001,70	88,0	36,40	12,0	7	15
0,063	1.069,90	94,0	68,20	6,2	3	7

GRÁFICOS ENSAYOS 1 Y 2



Representación gráfica "Abertura del Tamiz (eje X ; representación semilogarítmica ; %) vs Masa Que Pasa (eje Y ; representación lineal ; %)".

ANÁLISIS DE RESULTADOS EILA 22

UNE-EN 12697-2:2015 y UNE-EN 12697-2:2015+A1:2022. Mezclas bituminosas. Métodos de ensayo. Parte 2: Determinación de la granulometría de las partículas.

GRÁFICOS GRANULOMÉTRICOS LABORATORIO 284

CONTENIDO LIGANTE POR IGNICION

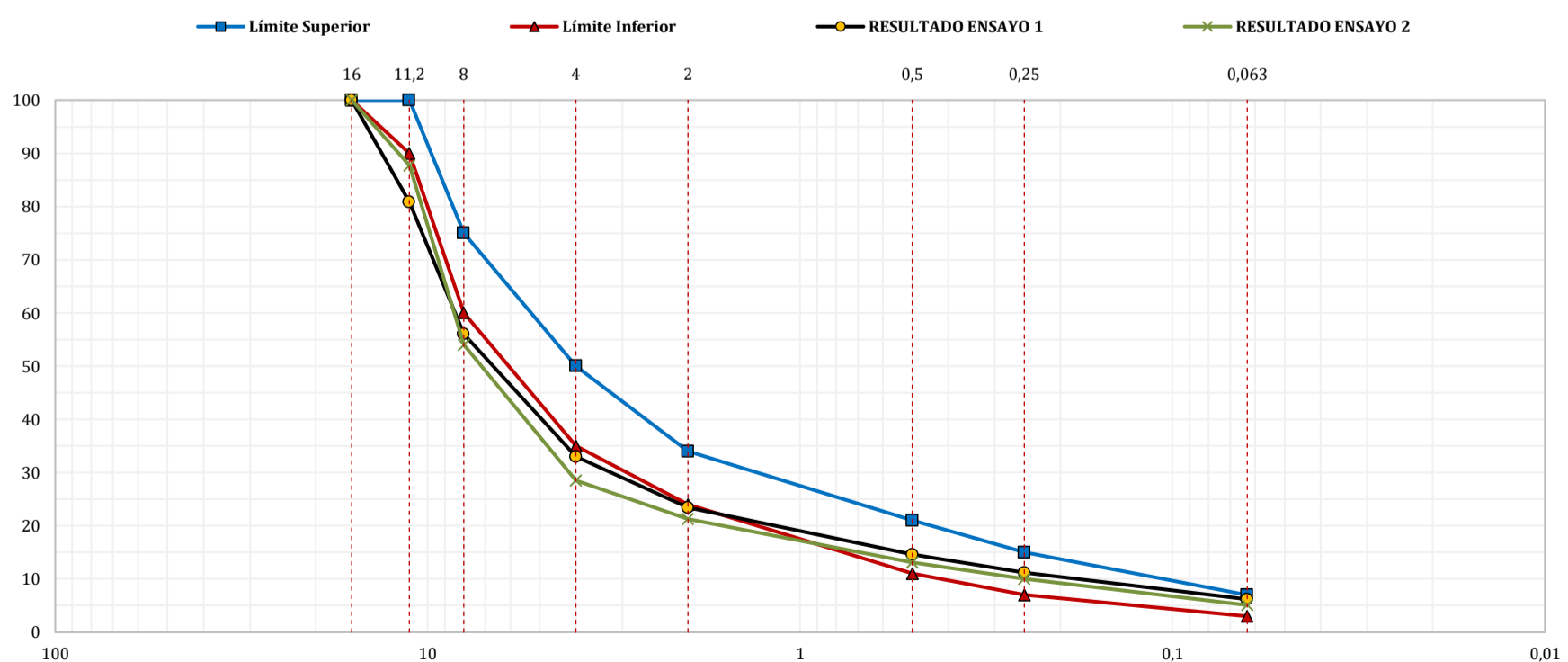
RESULTADOS ENSAYO 1

Abertura Tamiz (mm)	Masa Acumulada (g)	Masa Acumulada (%)	Masa Retenida (g)	Masa Que Pasa (%)	Límite Inferior (%)	Límite Superior (%)
16	0,00	0,0	0,00	100,0	100	100
11,2	217,80	19,2	217,80	80,8	90	100
8	499,80	44,0	282,00	56,0	60	75
4	760,60	67,0	260,80	33,0	35	50
2	870,00	76,6	109,40	23,4	24	34
0,5	969,20	85,4	99,20	14,6	11	21
0,25	1.008,80	88,8	39,60	11,2	7	15
0,063	1.064,60	93,8	55,80	6,2	3	7

RESULTADOS ENSAYO 2

Abertura Tamiz (mm)	Masa Acumulada (g)	Masa Acumulada (%)	Masa Retenida (g)	Masa Que Pasa (%)	Límite Inferior (%)	Límite Superior (%)
16	0,00	0,0	0,00	100,0	100	100
11,2	139,00	12,3	139,00	87,7	90	100
8	522,00	46,0	383,00	54,0	60	75
4	811,00	71,5	289,00	28,5	35	50
2	892,40	78,7	81,40	21,3	24	34
0,5	986,00	86,9	93,60	13,1	11	21
0,25	1.021,40	90,0	35,40	10,0	7	15
0,063	1.077,20	94,9	55,80	5,1	3	7

GRÁFICOS ENSAYOS 1 Y 2



Representación gráfica "Abertura del Tamiz (eje X ; representación semilogarítmica ; %) vs Masa Que Pasa (eje Y ; representación lineal ; %)".

ANÁLISIS DE RESULTADOS EILA 22

UNE-EN 12697-2:2015 y UNE-EN 12697-2:2015+A1:2022. Mezclas bituminosas. Métodos de ensayo. Parte 2: Determinación de la granulometría de las partículas.

GRÁFICOS GRANULOMÉTRICOS LABORATORIO 295

CONTENIDO LIGANTE POR IGNICION

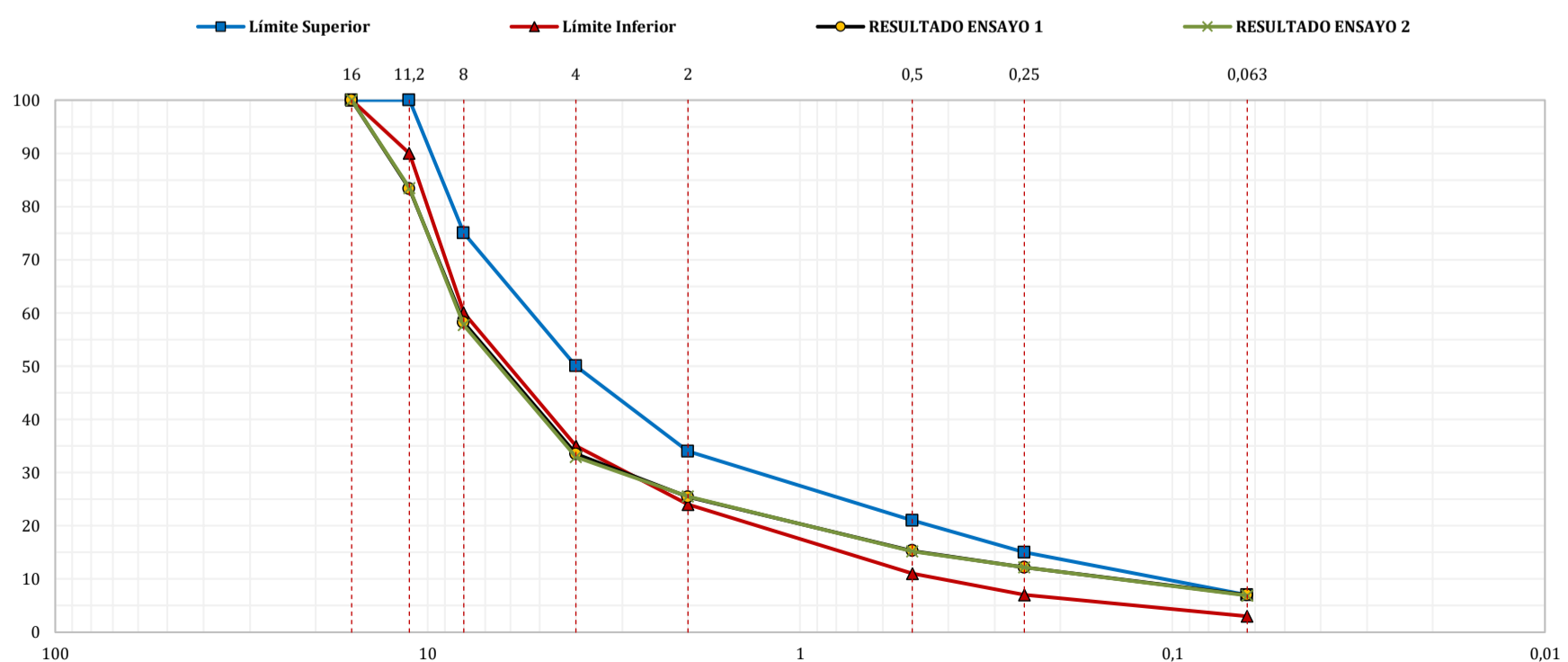
RESULTADOS ENSAYO 1

Abertura Tamiz (mm)	Masa Acumulada (g)	Masa Acumulada (%)	Masa Retenida (g)	Masa Que Pasa (%)	Límite Inferior (%)	Límite Superior (%)
16	0,00	0,0	0,00	100,0	100	100
11,2	193,30	16,8	193,30	83,3	90	100
8	482,30	41,9	289,00	58,2	60	75
4	768,20	66,7	285,90	33,5	35	50
2	861,20	74,8	93,00	25,4	24	34
0,5	978,00	84,9	116,80	15,3	11	21
0,25	1.013,40	88,0	35,40	12,2	7	15
0,063	1.074,10	93,3	60,70	7,0	3	7

RESULTADOS ENSAYO 2

Abertura Tamiz (mm)	Masa Acumulada (g)	Masa Acumulada (%)	Masa Retenida (g)	Masa Que Pasa (%)	Límite Inferior (%)	Límite Superior (%)
16	0,00	0,0	0,00	100,0	100	100
11,2	1.191,40	16,6	191,40	83,5	90	100
8	489,00	42,4	297,60	57,7	60	75
4	776,40	67,3	287,40	32,9	35	50
2	861,30	74,7	84,90	25,5	24	34
0,5	980,60	85,1	119,30	15,2	11	21
0,25	1.015,80	88,1	35,20	12,2	7	15
0,063	1.076,70	93,4	60,90	6,9	3	7

GRÁFICOS ENSAYOS 1 Y 2



Representación gráfica "Abertura del Tamiz (eje X ; representación semilogarítmica ; %) vs Masa Que Pasa (eje Y ; representación lineal ; %)".

ANÁLISIS DE RESULTADOS EILA 22

UNE-EN 12697-2:2015 y UNE-EN 12697-2:2015+A1:2022. Mezclas bituminosas. Métodos de ensayo. Parte 2: Determinación de la granulometría de las partículas.

GRÁFICOS GRANULOMÉTRICOS LABORATORIO 299

CONTENIDO LIGANTE POR IGNICION

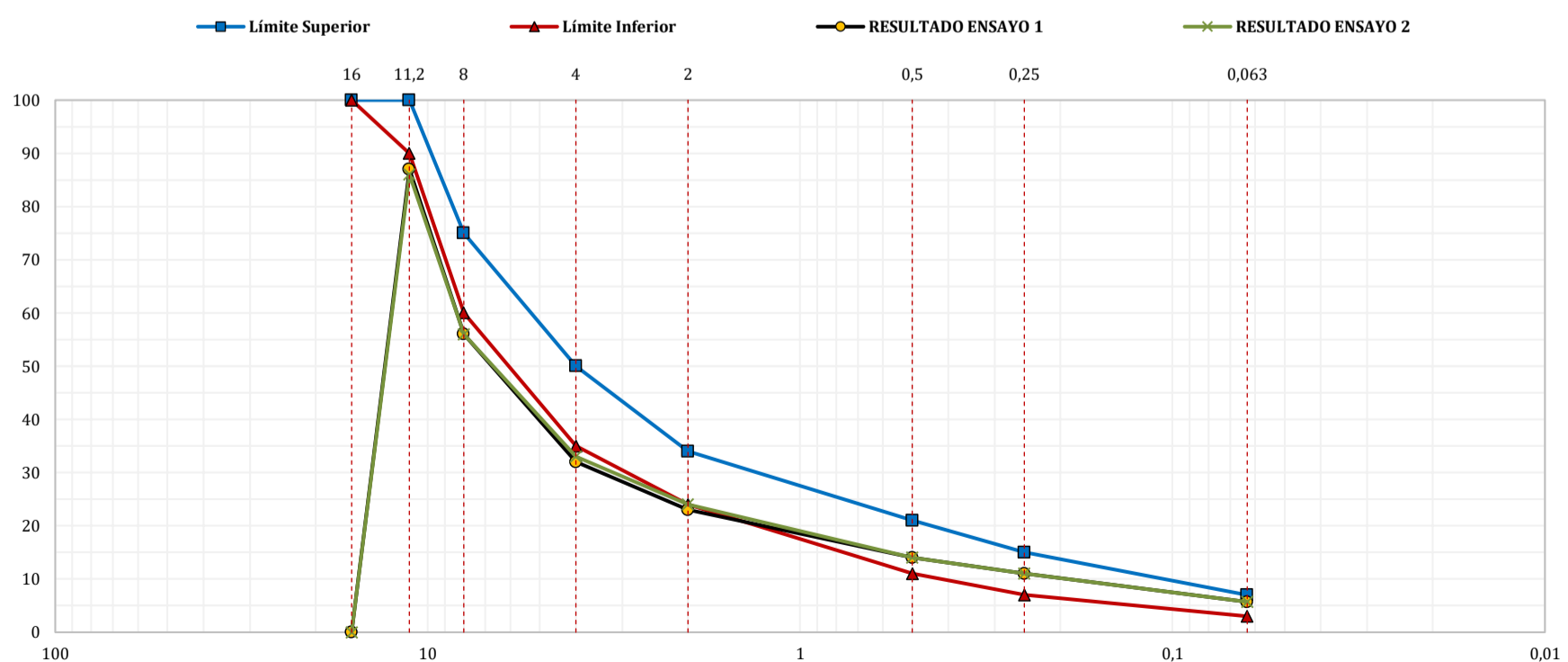
RESULTADOS ENSAYO 1

Abertura Tamiz (mm)	Masa Acumulada (g)	Masa Acumulada (%)	Masa Retenida (g)	Masa Que Pasa (%)	Límite Inferior (%)	Límite Superior (%)
16	1.132,00	100,0	0,00	0,0	100	100
11,2	985,00	13,0	147,00	87,0	90	100
8	630,00	44,0	356,00	56,0	60	75
4	367,00	68,0	263,00	32,0	35	50
2	266,00	77,0	101,00	23,0	24	34
0,5	159,00	86,0	107,00	14,0	11	21
0,25	123,00	89,0	36,00	11,0	7	15
0,063	64,00	94,3	59,00	5,7	3	7

RESULTADOS ENSAYO 2

Abertura Tamiz (mm)	Masa Acumulada (g)	Masa Acumulada (%)	Masa Retenida (g)	Masa Que Pasa (%)	Límite Inferior (%)	Límite Superior (%)
16	1.132,00	100,0	0,00	0,0	100	100
11,2	974,00	14,0	158,00	86,0	90	100
8	836,00	44,0	338,00	56,0	60	75
4	368,00	67,0	268,00	33,0	35	50
2	269,00	76,0	99,00	24,0	24	34
0,5	158,00	86,0	111,00	14,0	11	21
0,25	123,00	89,0	35,00	11,0	7	15
0,063	65,00	94,3	58,00	5,7	3	7

GRÁFICOS ENSAYOS 1 Y 2



Representación gráfica "Abertura del Tamiz (eje X ; representación semilogarítmica ; %) vs Masa Que Pasa (eje Y ; representación lineal ; %)".

ANÁLISIS DE RESULTADOS EILA 22

UNE-EN 12697-2:2015 y UNE-EN 12697-2:2015+A1:2022. Mezclas bituminosas. Métodos de ensayo. Parte 2: Determinación de la granulometría de las partículas.

GRÁFICOS GRANULOMÉTRICOS LABORATORIO 310

CONTENIDO LIGANTE POR IGNICION

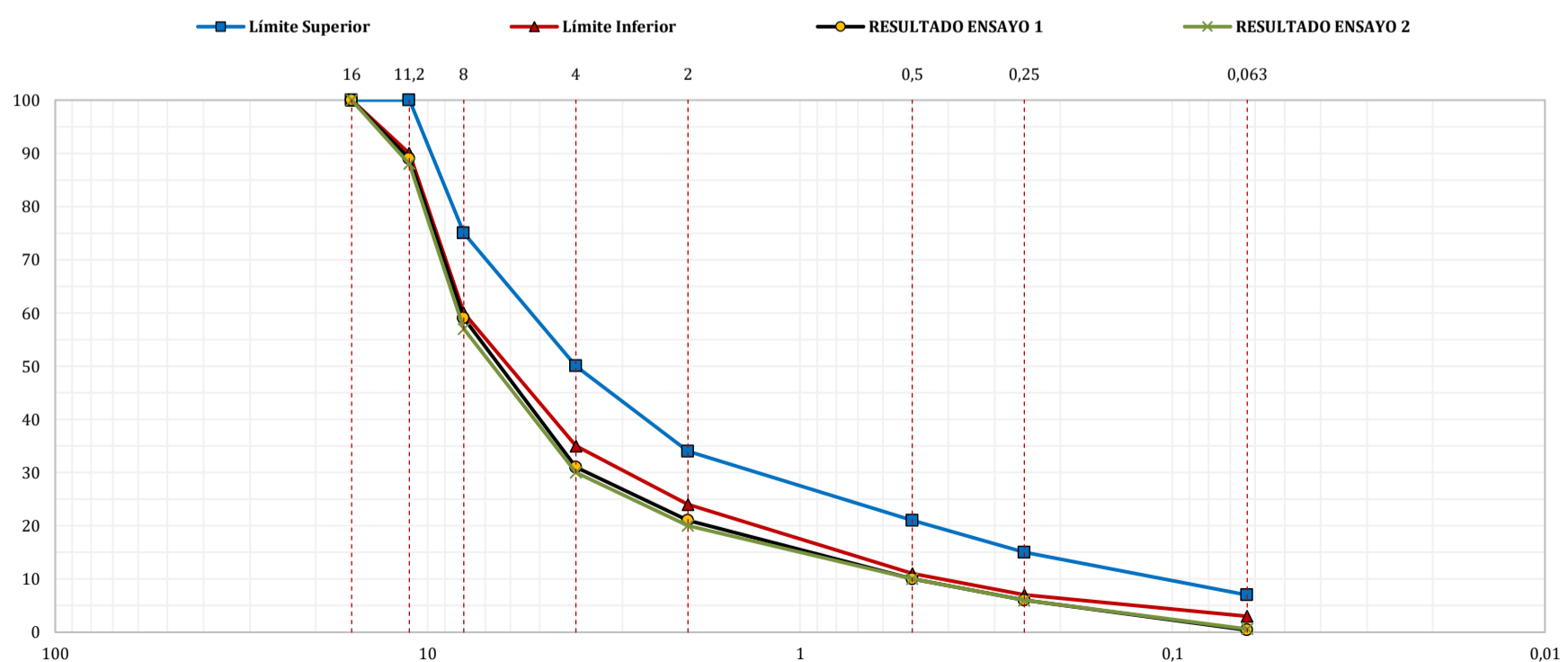
RESULTADOS ENSAYO 1

Abertura Tamiz (mm)	Masa Acumulada (g)	Masa Acumulada (%)	Masa Retenida (g)	Masa Que Pasa (%)	Límite Inferior (%)	Límite Superior (%)
16	0,00			100,0	100	100
11,2	120,60			89,0	90	100
8	441,60			59,0	60	75
4	735,70			31,0	35	50
2	847,30			21,0	24	34
0,5	962,90			10,0	11	21
0,25	1.000,50			6,0	7	15
0,063	1.062,20			0,4	3	7

RESULTADOS ENSAYO 2

Abertura Tamiz (mm)	Masa Acumulada (g)	Masa Acumulada (%)	Masa Retenida (g)	Masa Que Pasa (%)	Límite Inferior (%)	Límite Superior (%)
16	0,00			100,0	100	100
11,2	126,60			88,0	90	100
8	455,70			57,0	60	75
4	742,40			30,0	35	50
2	849,50			20,0	24	34
0,5	962,60			10,0	11	21
0,25	1.000,10			6,0	7	15
0,063	1.060,60			0,6	3	7

GRÁFICOS ENSAYOS 1 Y 2



Representación gráfica "Abertura del Tamiz (eje X ; representación semilogarítmica ; %) vs Masa Que Pasa (eje Y ; representación lineal ; %)".